

Variación de la constante de estructura fina y
de la masa del electrón en el Universo
primitivo

CLAUDIA GRACIELA SCÓCCOLA

Director: Dr. Héctor Vucetich

Co-directora: Dra. Susana J. Landau

Tesis presentada para optar por el grado de DOCTOR EN ASTRONOMÍA

Facultad de Ciencias Astronómicas y Geofísicas

Universidad Nacional de La Plata

15 de Mayo de 2009

Resumen

En esta tesis, presentamos un estudio de la variación de la masa del electrón m_e , y de la constante de estructura fina α , en distintas etapas de la evolución del Universo.

Estudiamos la época de formación del hidrógeno neutro. Analizamos el escenario de recombinación incluyendo los detalles en la recombinación del helio, para encontrar las dependencias de las cantidades físicas con las constantes fundamentales. Modificamos las ecuaciones para las fracciones de ionización, para poder considerar valores arbitrarios de las constantes.

Utilizando los datos actualizados del fondo cósmico de radiación, y el espectro de potencias de la distribución de galaxias del catálogo 2dFGRS, buscamos límites a la posible variación de las constantes en la época de recombinación. Estimamos el valor de un conjunto de parámetros cosmológicos, junto con la variación de las constantes. Analizamos la variación de α y m_e por separado, y el caso en que ambas varían simultáneamente. Presentamos resultados actualizados y comparamos con las cotas existentes. Estimamos también una relación fenomenológica entre la variación de α y la variación de m_e entre el desacople y la actualidad.

Analizamos el modelo fenomenológico de Barrow-Magueijo, que propone una variación de la masa del electrón inducida por cambios de un campo escalar en el espacio-tiempo. Mejoramos las soluciones originalmente presentadas por dichos autores. Estimamos los parámetros del modelo usando los límites para la variación de la masa del electrón que se obtienen en esta tesis a partir de los datos del fondo cósmico de radiación, y otros datos astronómicos y de laboratorio. Por otra parte, utilizando resultados de experimentos que testean la validez del Principio de Equivalencia Débil, encontramos una cota para el parámetro del modelo, que viene de la variación en la masa del electrón inducida por cambios espaciales del campo escalar. Comparando ambos límites, se llega a la conclusión de que el modelo debe ser descartado.

Por último, reanalizamos los efectos de la variación de α o m_e en los radios planetarios. Explicamos por qué la variación de la masa del electrón no induce cambios en el radio factibles de ser observados. Presentamos una cota local e independiente para la variación de α , obtenida a partir de principios muy generales.

Agradecimientos

Quiero agradecer a mis directores, Héctor Vucetich, y Susana Landau, por el apoyo, la confianza y la libertad con la que me permitieron trabajar durante el desarrollo de esta tesis.

Agradezco también al Grupo de Evolución Estelar de la FCAG, en especial a Leandro Althaus y Alejandro Córscico, por haberme dado la posibilidad de iniciar mi doctorado en su grupo, y la comprensión y apoyo cuando decidí empezar de nuevo, para trabajar en Cosmología.

Agradezco a Nelson Padilla, profesor en la PUC de Chile, y a Juan Veliz, por facilitarme recursos computacionales con los que se hicieron gran parte de los cálculos de esta tesis, y a los responsables del cluster Kanbalam, en la UNAM de México, con la que se hicieron el resto de los cálculos. Mi agradecimiento es también para Ariel Sánchez, por ayudarme a dar mis primeros pasos en el estudio del código COSMOMC. Las discusiones con Licia Verde durante la escuela "The Large Scale Structure-CMB Connection.^{en} Santiago de Chile, en Marzo de 2007, fueron fundamentales para mi entendimiento de las cadenas de Markov y su utilización en CMB.

Un agradecimiento especial a los geofísicos Claudia Ravazzoli y Germán Rubino, por ayudarme a buscar un modelo actualizado de la estructura interna de la Tierra.

Gracias a mis amigos del Observatorio de La Plata, por la compañía, la paciencia para escuchar, las discusiones y el apoyo: Anabella Araudo, Cecilia Fariña, Anahi Granada, Andrea Fortier, Verónica Firpo, Ileana Andruchow, Gonzalo De Elía, Marcelo Miller Bertolami, Jorge Panei...

Quiero agradecer a mi familia, por el apoyo incondicional. Y agradezco principalmente a Mauricio Sturla, a quien le dedico esta tesis.

Finalmente, agradezco al CONICET por la beca doctoral otorgada durante el período Abril 2004 - Marzo 2009.

Índice general

1. Introducción	1
2. Física de Recombinación	7
2.1. Ecuaciones de recombinación	9
2.2. Dependencia con las constantes fundamentales	13
3. Fondo cósmico de radiación	21
3.1. Consideraciones generales	21
3.2. Estadísticas	26
3.2.1. El enfoque bayesiano	29
3.2.2. Cadenas de Markov Monte Carlo	29
3.2.3. Función Likelihood para CMB	33
3.3. Ajustes	33
3.3.1. Variación de α	36
3.3.2. Variación de m_e	42
3.3.3. Variación conjunta de α y m_e	46
3.4. Comparación entre escenarios de recombinación	54
3.5. Relación fenomenológica	56
4. Modelo de Barrow & Magueijo	61
4.1. El formalismo	62
4.1.1. Contribución de ϕ a la Ecuación de Friedmann	64
4.2. Soluciones	67
4.2.1. Solución de la Ecuación de Friedmann	67
4.2.2. Soluciones para el campo ϕ	70
4.3. Datos	72
4.3.1. Nucleosíntesis primordial	72
4.3.2. Fondo cósmico de radiación	73

4.3.3.	Sistemas de absorción en cuasares	74
4.3.4.	Cotas a partir de datos geofísicos	76
4.3.5.	Cotas de laboratorio	77
4.4.	Ajuste de los parámetros del modelo	77
4.5.	Principio de Equivalencia Débil	84
4.5.1.	Experimentos de Eötvös	87
4.6.	Validez del modelo	91
5.	Radios Planetarios	93
5.1.	Deducción teórica	94
5.1.1.	Hamiltoniano y cambios de escala	95
5.1.2.	Ecuación de equilibrio hidrostático	98
5.1.3.	Cambios en el radio	101
5.2.	Modelado de los planetas	105
5.2.1.	Estructura de la Tierra	105
5.2.2.	Estructura de Mercurio	106
5.2.3.	Estructura de la Luna	110
5.3.	Ajuste y resultados	113
6.	Resumen y Conclusiones	117
A.	Modelo <i>PREM</i>	121
B.	Integrales I	124
C.	Integrales II	127

Índice de figuras

2.1.	Historia de ionización, para distintos valores de α y m_e	18
2.2.	Función visibilidad, para distintos valores de α y m_e	19
3.1.	Espectro de anisotropías de la temperatura de CMB para distintos valores de α y m_e	25
3.2.	Espectro de correlación cruzada entre T y polarización modo E de CMB para distintos valores de α y m_e	27
3.3.	Espectro de potencias de la polarización modo E de CMB, para distintos valores de α y m_e	28
3.4.	Contornos de confianza de $\Delta\alpha/\alpha_0$ y $\Omega_b h^2$ para distintos conjuntos de datos.	38
3.5.	Contornos de confianza para $\Delta\alpha/\alpha_0$ y H_0 para distintos conjuntos de datos.	39
3.6.	Distribuciones de probabilidad y contornos de confianza. Variación de α	41
3.7.	Distribución de probabilidad para $\Delta\alpha/\alpha_0$, comparando los ajustes con WMAP3 y WMAP5.	42
3.8.	Cotas existentes para la variación de α	43
3.9.	Contornos de confianza para $\Delta m_e/(m_e)_0$ y $\Omega_b h^2$ para distintos conjuntos de datos.	45
3.10.	Contornos de confianza para $\Delta m_e/(m_e)_0$ y H_0 para distintos conjuntos de datos.	46
3.11.	Distribuciones de probabilidad y contornos de confianza. Variación de m_e	47
3.12.	Distribución de probabilidad para $\Delta m_e/(m_e)_0$, comparando los ajustes con WMAP3 y WMAP5.	48
3.13.	Comparación de los contornos cuando se varían ambas constantes, o sólo α	51

3.14. Comparación de los contornos cuando se varían ambas constantes, o sólo m_e	51
3.15. Distribuciones de probabilidad y contornos de confianza. Variación de α y m_e	53
3.16. Contornos de confianza de $\Delta\alpha/\alpha_0$ y $\Delta m_e/(m_e)_0$, con WMAP3 o WMAP5.	54
3.17. Distribución de probabilidad para α en dos escenarios de recombinación diferentes.	56
3.18. Distribución de probabilidad para m_e en dos escenarios de recombinación diferentes.	57
3.19. Historia de ionización para α variable, en dos escenarios de recombinación diferentes.	58
4.1. Contorno de confiabilidad para los parámetros del modelo de Barrow & Magueijo.	83
4.2. Contorno de confiabilidad para los parámetros del modelo de Barrow & Magueijo, según los datos actualizados.	84
4.3. Solución del modelo de Barrow & Magueijo para el mejor ajuste de los parámetros.	85

Capítulo 1

Introducción

La descripción actual del Universo tiene su fundamento en dos teorías bien establecidas: la relatividad general, y el modelo estándar de física de partículas. En ambas existen parámetros, llamados “constantes fundamentales”, cuyos valores no quedan determinados a partir de las teorías mismas, sino que deben ser hallados experimentalmente. Tal vez, uno de los objetivos más ambiciosos de la física moderna sea formular una teoría del “todo”, una teoría que unifique todas las interacciones de la naturaleza, donde los valores de dichos parámetros puedan ser deducidos a partir de primeros principios. Hasta hoy, se han podido unificar las interacciones electromagnéticas con la fuerza débil en las interacciones electro-débiles, y éstas con las interacciones fuertes, en lo que se conoce como Teorías de Gran Unificación. Sin embargo, aún no se ha logrado encontrar una teoría cuántica de la gravedad.

Las teorías que intentan unificar la gravedad con las demás interacciones son de variada naturaleza. Entre ellas se encuentran las teorías de supercuerdas (Wu & Wang 1986; Maeda 1988; Barr & Mohapatra 1988; Damour & Polyakov 1994; Damour et al. 2002a,b), teorías de mundos brana (Youm 2001a,b; Palma et al. 2003; Brax et al. 2003) y teorías de Kaluza-Klein (Kaluza 1921; Klein 1926; Weinberg 1983; Gleiser & Taylor 1985; Overduin & Wesson 1997). Las energías involucradas en los fenómenos que permiten corroborar la unificación son tan altas, que las posibles predicciones de las teorías serían muy difíciles de verificar. Sin embargo, algunas consecuencias a bajas energías son factibles de ser comprobadas a través de experimentos u observaciones. Una de las predicciones más importantes de estas teorías es que el valor de las constantes fundamentales puede variar en distintos puntos del espacio-tiempo. La dependencia de las constantes con el tiempo es diferente para distintas teorías.

Es por ello que a través de la comparación con resultados de experimentos y observaciones es posible poner cotas a las mismas.

Por otra parte, existen teorías efectivas a bajas energías, formuladas para describir la variación de determinadas constantes fundamentales. En este caso, se asocia el valor de las constantes a un campo en el espacio-tiempo, cuyo Lagrangiano se propone de manera tal de cumplir principios muy generales y las ecuaciones de movimiento tienen soluciones que pueden ser comparadas con datos observacionales. A modo de ejemplo, mencionamos la teoría de Bekenstein para la variación temporal de la constante de estructura fina (Bekenstein 1982) y el modelo de Barrow & Magueijo para la variación de la masa del electrón (Barrow & Magueijo 2005).

Se ha estudiado también la variación de otras constantes fundamentales. Albrecht & Magueijo (1999) introdujeron un modelo cosmológico en el cual la velocidad de la luz es variable, con el fin de resolver los problemas básicos de la cosmología (horizonte, planaridad, constante cosmológica, entropía y homogeneidad) sin acudir al paradigma inflacionario. Este modelo fue extendido por varios autores (Clayton & Moffat 2001, 2000, 1999; Kehagias & Kiritsis 1999). Asimismo, existen teorías que predicen la variación de la constante de gravitación universal G (Brax & Davis 2001).

Una de las constantes fundamentales cuya variación ha despertado mayor interés es la constante de estructura fina α , que está relacionada con la constante de acoplamiento de las interacciones electromagnéticas. Ésta es una de las constantes estudiadas en esta tesis. También ha suscitado interés la posible variación de la constante de las interacciones débiles, parametrizada por la constante de acoplamiento de Fermi G_F . Sin embargo, como se enfatiza en Dixit & Sher (1988), la constante de Fermi no es una constante fundamental en el mismo sentido que lo es la constante de estructura fina. Dado que $G_F \propto \langle \phi \rangle^{-2}$, es más apropiado examinar la variación del valor de expectación de vacío del campo Higgs $\langle \phi \rangle$. En particular, nos hemos concentrado en la variación de la masa en reposo del electrón m_e , ya que es la única consecuencia que tiene la variación del Higgs en las etapas del Universo en las que esta tesis se focaliza.

Desde el punto de vista observacional, el tema de la variación de las constantes es de gran interés. Son muchos los esfuerzos para poner cotas a la variación de constantes como α y m_e , o el cociente $\mu = m_e/m_p$, entre la masa del electrón y la masa del protón. Existen métodos locales, astronómicos y cosmológicos. Cada método considera el comportamiento temporal de las constantes a distintas escalas de energía y de distancia, y con distinta

precisión, resultando todos de gran utilidad. Localmente, se ponen cotas a la tasa de variación de las constantes usando relojes atómicos (Bize et al. 2003; Fischer et al. 2004; Peik et al. 2004; Prestage et al. 1995; Sortais et al. 2000; Marion et al. 2003). La variación temporal de constantes a corrimientos al rojo (en adelante, redshifts z) del orden de $z \simeq 0,14$ se puede acotar con datos del reactor nuclear natural que operó en Oklo (Fujii et al. 2000; Damour & Dyson 1996). Otras cotas se obtienen a partir de la vida media de emisores de partículas β (Olive et al. 2004). Por otra parte, datos astronómicos recientes, basados en el análisis de espectros de absorción de cuasares a alto redshift, sugirieron una posible variación de α y μ (Webb et al. 1999, 2001; Murphy et al. 2001a,b, 2003; Ivanchik et al. 2005; Tzanavaris et al. 2007). Sin embargo, otros estudios de datos similares, arrojan resultados nulos (Martínez Fiorenzano et al. 2003; Quast et al. 2004; Bahcall et al. 2004; Srianand et al. 2004).

Para estudiar el Universo temprano, y contrastar modelos alternativos a la cosmología estándar, se pueden utilizar los datos de las abundancias primitivas de elementos químicos livianos, producidos durante la nucleosíntesis primordial (BBN), cuando el Universo tenía ~ 3 minutos de edad; y los datos del fondo cósmico de radiación (CMB), que proveen información de la época de formación del hidrógeno neutro, 400.000 años después del Big Bang. Dado que los procesos físicos relevantes en ambas épocas son sensibles al valor de las constantes fundamentales, estos observables sirven como herramientas para poner límites a su variación temporal. A pesar de que las cotas obtenidas a partir de BBN y de CMB son más débiles que las mencionadas anteriormente, resultan sumamente importantes debido a que se refieren a las primeras etapas del Universo.

En esta tesis se realizó un estudio a nivel cosmológico y local de la variación temporal de dos constantes: la constante de estructura fina y la masa del electrón. Uno de los objetivos más importantes fue el estudio de la variación de estas constantes durante la época en la cual el plasma de electrones e iones del Universo se recombinó. Esta época se conoce con el nombre de *recombinación del Universo*.

El estudio de las dependencias con las constantes fundamentales de las cantidades físicas relevantes durante la formación del hidrógeno neutro se detalla en el capítulo 2. Allí, además, se analiza por primera vez la influencia las constantes fundamentales en el escenario de recombinación actualizado, que tiene en cuenta la recombinación detallada del helio, el efecto del hidrógeno neutro en la recombinación de éste y la contribución de las transiciones desde

estados tripletes del hidrógeno para la recombinación.

Utilizando el conjunto más completo y actualizado de datos del fondo cósmico de radiación, junto con datos del catálogo de galaxias 2dFGRS para el espectro de potencias de la distribución de la materia, se han obtenido cotas para la variación de α y m_e en la época de formación del hidrógeno neutro. Se consideró la variación de dichas constantes de manera separada, y también se realizó un análisis de la variación conjunta de ambas, de manera totalmente fenomenológica, sin suponer ninguna relación entre las variaciones, de manera tal que las conclusiones obtenidas en esta tesis resultan independientes de cualquier modelo. El único trabajo anterior donde se consideró la variación conjunta de dichas constantes es el de Ichikawa et al. (2006), en el cual las variaciones están relacionadas en el contexto de modelos dilatónicos de teorías de cuerdas. En cambio, el resultado mostrado en esta tesis se obtiene suponiendo que las constantes varían en forma independiente una de la otra. A partir del ajuste, obtenemos una relación fenomenológica entre las variaciones de α y m_e en la época de recombinación. Comparamos con el resultado de Ichikawa et al. (2006), y concluimos que la propuesta de estos autores debería ser descartada.

Los datos más recientes del fondo cósmico de radiación que habían sido utilizados en esta tesis fueron los recolectados en los tres primeros años de funcionamiento del satélite WMAP (WMAP3). En marzo de 2008, el satélite liberó datos recolectados durante los primeros 5 años (WMAP5). De manera simultánea, el escenario de recombinación fue actualizado, considerando procesos físicos que habían sido despreciados en el cálculo estándar, y que afectan de manera sutil, aunque no despreciable, la historia de recombinación del Universo. Por esta razón, se repitió el análisis estadístico para la variación de α y m_e , incluyendo los datos de WMAP5, y el nuevo escenario de recombinación, y se comparó con los resultados obtenidos con los datos de WMAP3, y el escenario de recombinación estándar.

En el Capítulo 3 se muestran los distintos ajustes realizados. Dado que se han llevado a cabo análisis estadísticos variando no sólo las constantes fundamentales, sino también el conjunto básico de parámetros cosmológicos, en esta tesis se ha abarcado el estudio y adaptación de un programa numérico que utiliza cadenas de Markov Monte Carlo para muestrear el espacio de parámetros, y hacer un análisis estadístico desde un enfoque bayesiano. Este método permite la exploración del espacio de parámetros en un tiempo computacionalmente más accesible que el método frecuentista del cálculo de la Likelihood en cada punto de una grilla en el espacio de parámetros. En

dicho capítulo también se muestran y comparan los resultados obtenidos.

Las cotas observacionales para la variación de las constantes fundamentales son una herramienta importante para evaluar teorías, por ejemplo, aquellas que intentan unificar las cuatro interacciones de la naturaleza. En el Capítulo 4 se analiza el modelo de Barrow & Magueijo, que predice la variación de la masa del electrón como función del tiempo, a partir de la existencia de un campo escalar. Se obtuvieron mejores soluciones aproximadas del modelo, lo cual se logró teniendo en cuenta de manera más rigurosa la evolución de la expansión del Universo, y sin desprestigiar términos en las ecuaciones diferenciales que describen la evolución del campo escalar. Luego, se utilizaron las cotas para la variación de m_e obtenidas en esta tesis a partir de los datos del fondo cósmico de radiación, junto con otras cotas dadas a diferentes tiempos cosmológicos, para poner límites a los parámetros del modelo. Adicionalmente, se derivaron cotas a partir de resultados de experimentos que testean la validez del Principio de Equivalencia Débil, y se compararon con las anteriores. A la luz de los resultados, se llegó a la conclusión de que el modelo de Barrow & Magueijo debe ser descartado.

Con el objetivo de estudiar la variación de las constantes fundamentales a nivel local, tanto en el espacio como en el tiempo, se realizó un estudio en escalas correspondientes al sistema solar. Se analizó las consecuencias que un valor diferente de α y/o m_e acarrearán para el radio de la Tierra, la Luna y el planeta Mercurio. A partir de consideraciones generales, se deduce una expresión para la variación de este parámetro planetario. Utilizando los modelos más actuales de la estructura interna de dichos cuerpos celestes y límites existentes para la variación del radio de estos planetas, se dan cotas a la variación de las constantes fundamentales entre la actualidad y la época de formación del sistema solar. Asimismo, se analiza cuáles de las constantes fundamentales estudiadas en esta tesis resultan relevantes en este problema. Los resultados se presentan en el Capítulo 5.

Finalmente, en el Capítulo 6, se resumen los resultados de esta tesis, y se destacan las conclusiones más relevantes.

Parte de los resultados de esta tesis fueron incluidos en las siguientes publicaciones en revistas internacionales con referato:

- “Time variation of the fine structure constant and the Bekenstein model”. Mosquera, M. E., Scóccola, C. G., Landau, S. J., and Vucetich,

H. *Astronomy and Astrophysics* **478**, 675 (2008).

- “Time variation of the electron mass and the Barrow-Magueijo model”. Scóccola, C. G., Mosquera, M. E., Landau, S. J., and Vucetich, H. *Astrophysical Journal* **681**, 737 (2008).
- “Early Universe constraints on time variation of fundamental constants”. Landau, S. J., Mosquera, M. E., Scóccola, C. G., and Vucetich, H. *Physical Review D* **78** (8), 083527 (2008).
- “WMAP 5-year constraints on time variation of α and m_e in a detailed recombination scenario”. Scóccola, C. G., Landau, S. J., and Vucetich, H. *Physics Letters B* **669**, 212 (2008).

Capítulo 2

Física de Recombinación

En el modelo cosmológico estándar, la época de recombinación es aquella cuando el Universo se vuelve lo suficientemente frío como para que los protones, y núcleos de elementos químicos livianos, sean capaces de retener electrones y se formen los átomos neutros. Los electrones, capturados en distintos niveles de energía, decaen al nivel fundamental. Sin embargo, este proceso se ve impedido por las ionizaciones y excitaciones que se producen rápidamente gracias al enorme reservorio de fotones de bajas energías que hay en el Universo. Además, los decaimientos del nivel $n = 2$ al nivel $n = 1$ y las recombinaciones directas desde el continuo al nivel fundamental se ven fuertemente disminuídos debido a que en ambos casos el fotón emitido tiene una energía en el rango donde existen muy pocos fotones de fondo, y por lo tanto será inmediatamente absorbido por un átomo cercano que esté en el nivel fundamental. Estos fenómenos traen como consecuencia que la recombinación no sea instantánea. Eventualmente, los átomos alcanzan el estado fundamental por el corrimiento al rojo de los fotones Ly α ($2p \rightarrow 1s$) causado por la expansión, o por la transición $2s \rightarrow 1s$ via dos fotones. Sin embargo, el Universo se expande y enfría antes de que la recombinación termine, y queda una pequeña fracción de electrones y núcleos libres remanente.

El elemento más abundante en el Universo es el hidrógeno, y en menor proporción el helio, siendo las abundancias de los demás elementos químicos formados en la nucleosíntesis primordial despreciables para el proceso de la recombinación. Los primeros estudios en este campo fueron realizados por Peebles (1968) y Zeldovich et al. (1968). La metodología estándar era considerar un átomo de tres niveles (fundamental, $n = 2$ y continuo) con los niveles con $n > 2$ representados por un coeficiente de recombinación. Se de-

rivaba una ecuación diferencial ordinaria para la fracción de ionización, pero debían hacerse muchas suposiciones para llegar a ésta: i) el único elemento en el Universo es el hidrógeno, ii) sus estados excitados están en equilibrio con la radiación, iii) se puede despreciar la emisión estimulada para la transición $2p \rightarrow 1s$ (línea $\text{Ly}\alpha$), iv) se puede usar un coeficiente de recombinación simple, v) cada recombinación neta resulta en un átomo en el nivel fundamental, vi) el corrimiento al rojo de los fotones $\text{Ly}\alpha$ se puede tener en cuenta usando una probabilidad de escape simple, y vii) los procesos colisionales son despreciables. Este tratamiento de la recombinación fue usado durante treinta años con pocas modificaciones. Motivados por la expectativa de medir con gran precisión las anisotropías de la radiación cósmica de fondo con satélites y otros experimentos diseñados a tal fin, y gracias al poder de cómputo moderno, Seager et al. (2000) presentaron un cálculo detallado de la recombinación del hidrógeno y del helio. El tratamiento consiste en considerar átomos con múltiples niveles, y tener en cuenta todas las transiciones entre ellos, y también con el continuo, y tratar la recombinación del hidrógeno y del helio en forma simultánea, teniendo en cuenta la evolución de la población de electrones libres y de la temperatura de la materia. Además, en Seager et al. (1999a), estos autores presentaron un conjunto de ecuaciones que permiten reproducir los resultados de los cálculos detallados via parametrizaciones en los coeficientes de recombinación. En esta tesis llamaremos escenario de recombinación estándar a este tratamiento de la misma.

Más recientemente, la recombinación del helio fue tratada con más precisión. Switzer y Hirata en una serie de tres trabajos (Switzer & Hirata 2008a; Hirata & Switzer 2008; Switzer & Hirata 2008b), discutieron varios aspectos de la recombinación y estudiaron los efectos de la retro-alimentación producida por las distorsiones espectrales, las líneas semi-prohibidas y prohibidas, el transporte radiativo en las líneas del He I con redistribución parcial, y la opacidad del continuo producida por la fotoionización del hidrógeno. El efecto del hidrógeno neutro sobre la recombinación del helio es acelerar la recombinación de éste respecto de los resultados obtenidos en Seager et al, debido a que fotones resonantes del He I ionizan átomos neutros de hidrógeno antes de ionizar otro átomo de helio, resultando en una recombinación neta de helio. Este último efecto fue tratado también por Kholupenko et al. (2007), quienes propusieron además una fórmula aproximada útil para ser incluida en códigos como RECFAST, que resuelve numéricamente las ecuaciones de recombinación. Nos referiremos a este tratamiento como escenario detallado.

2.1. Ecuaciones de recombinación

El conjunto de ecuaciones de recombinación, conformado por dos ecuaciones diferenciales ordinarias para la fracción de ionización de H y de He I y una ecuación para la temperatura de la materia T_M , se resuelven simultáneamente en el código numérico RECFAST. Los coeficientes de recombinación en cada caso se parametrizan para reproducir los resultados de los análisis de múltiples niveles realizados por Seager et al (para el hidrógeno) y Switzer & Hirata (para el helio), este último teniendo en cuenta la aproximación de Kholupenko et al para la opacidad del continuo del H sobre el He I. La ecuación de equilibrio de Saha es una buena aproximación para la recombinación del He II. El conjunto de ecuaciones es el siguiente:

$$H(z)(1+z)\frac{dx_p}{dz} = (x_e x_p n_H \alpha_H - \beta_H (1-x_p) e^{-h\nu_{H2s}/kT_M}) C_H, \quad (2.1)$$

$$H(z)(1+z)\frac{dx_{\text{HeII}}}{dz} = \left(x_{\text{HeII}} x_e n_H \alpha_{\text{HeI}} - \beta_{\text{HeI}} (f_{\text{He}} - x_{\text{HeII}}) e^{-h\nu_{\text{HeI},2^1s}/kT_M} \right) C_{\text{HeI}} \\ + \left(x_{\text{HeII}} x_e n_H \alpha_{\text{HeI}}^t - \frac{g_{\text{HeI},2^3s}}{g_{\text{HeI},1^1s}} \beta_{\text{HeI}}^t (f_{\text{He}} - x_{\text{HeII}}) e^{-h\nu_{\text{HeI},2^3s}/kT_M} \right) C_{\text{HeI}}^t, \quad (2.2)$$

donde

$$C_H = \frac{1 + K_H \Lambda_H n_H (1-x_p)}{1 + K_H (\Lambda_H + \beta_H) n_H (1-x_p)}, \quad (2.3)$$

$$C_{\text{HeI}} = \frac{1 + K_{\text{HeI}} \Lambda_{\text{He}} n_H (f_{\text{He}} - x_{\text{HeII}}) e^{h\nu_{ps}/kT_M}}{1 + K_{\text{HeI}} (\Lambda_{\text{He}} + \beta_{\text{HeI}}) n_H (f_{\text{He}} - x_{\text{HeII}}) e^{h\nu_{ps}/kT_M}}, \quad (2.4)$$

$$C_{\text{HeI}}^t = \frac{1}{1 + K_{\text{HeI}}^t \beta_{\text{HeI}}^t n_H (f_{\text{He}} - x_{\text{HeII}}) e^{h\nu_{ps}^t/kT_M}}. \quad (2.5)$$

Las tres variables independientes son la fracción de protones $x_p = n_p/n_H$, la fracción de helio simplemente ionizado $x_{\text{HeII}} = n_{\text{HeII}}/n_H$, y la temperatura de la materia T_M . La variable dependiente es la fracción de electrones libres $x_e = n_e/n_H = x_p + x_{\text{HeII}}$. Aquí, n se refiere a la densidad numérica, y n_H es la densidad numérica total de hidrógeno. Los factores C tienen en cuenta el efecto *cuello de botella* de la transición $2p \rightarrow 1s$, que hace más lenta la recombinación. El segundo término de la ecuación (2.2) se debe a la consideración de las transiciones semi-prohibidas $2^3p \rightarrow 1^1s$ del HeI como canal

adicional para la recombinación al nivel fundamental. El supraíndice t indica que se trata de los estados tripletes. Esta es una de las actualizaciones en el escenario de recombinación. La ecuación para la temperatura de la materia es

$$H(z)(1+z)\frac{dT_M}{dz} = \frac{8\sigma_T a_R T_R^4}{3m_e c} \frac{x_e}{1+f_{\text{He}}+x_e} (T_M - T_R) + 2T_M H(z). \quad (2.6)$$

Se utiliza esta ecuación durante todo el cálculo, debido al efecto que resulta de la diferencia entre T_M y T_R a bajo redshift.

A continuación se listan todos los parámetros que entran en las ecuaciones de más arriba. Éstos son la constante de Boltzmann k , la constante de Planck h , la velocidad de la luz c , la sección eficaz de Thomson σ_T , la masa del electrón m_e , y la constante de radiación a_R . Con respecto a los datos atómicos, la longitud de onda en reposo de la línea H Ly α es $\lambda_{\text{H}2p} = 121,5682$ nm. La frecuencia de la línea H $2s-1s$, $\nu_{\text{H}2s} = c/\lambda_{\text{H}2p}$, está lo suficientemente cerca de Ly α como para tomar el mismo valor de longitud de onda. La longitud de onda de HeI 2^1p-1^1s es $\lambda_{\text{HeI}2^1p} = 58,4334$ nm. Notar que la frecuencia de HeI 2^1s-1^1s es $\nu_{\text{HeI}2s} = c/60,1404$ nm. A diferencia de lo que pasa con el hidrógeno, la separación de los niveles HeI 2^1p y 2^1s es suficientemente grande como para distinguir entre $\lambda_{\text{HeI}2^1p}$ y $\lambda_{\text{HeI}2^1s}$, por lo tanto aparece un factor exponencial extra en las ecuaciones (2.4) y (2.5), que no aparecía en la ecuación (2.3), con $\nu_{\text{HeI}2^1p2^1s} = \nu_{\text{HeI}2^1p} - \nu_{\text{HeI}2^1s} \equiv \nu_{ps}$, y equivalentemente para el término que considera la transición via tripletes. La tasa de la transición $2s-1s$ via dos fotones para el H es $\Lambda_{\text{H}} = 8,22458 \text{ s}^{-1}$ (Goldman 1989), mientras que la tasa para el HeI es $\Lambda_{\text{He}} = 51,3 \text{ s}^{-1}$ (Drake et al. 1969).

En las ecuaciones (2.1) y (2.2) aparece el coeficiente de recombinación Caso B, que es la suma de los coeficientes de recombinación a todos los niveles excepto el nivel fundamental. Para el H, el coeficiente α_{H} fue calculado por Hummer (1994). Efectivamente, los términos de dicha suma están constituidos por las tasas de recombinación al nivel n :

$$\alpha_n(T_e, Z) = \frac{c\alpha^3}{\sqrt{\pi}} Z^3 \lambda^{3/2} n^{-2} \int_0^\infty d\epsilon (1+n^2\epsilon)^2 e^{-\lambda\epsilon} \tilde{a}_n(Z, \epsilon) \quad (2.7)$$

donde α es la constante de estructura fina, $\tilde{a}_n(Z, \epsilon)$ es la sección eficaz de fotoionización para el nivel n , ϵ es la energía del electrón eyectado en unidades de $Z^2 \text{ Ryd}$ y $\lambda = Z^2 \text{ Ryd}/T_e$. El ajuste de esta cantidad, realizado por

Pequignot et al. (1991), es

$$\alpha_{\text{H}} = F10^{-19} \frac{at^b}{1 + ct^d} \text{m}^3 \text{s}^{-1}, \quad (2.8)$$

con $a = 4,309$, $b = -0,6166$, $c = 0,6703$, $d = 0,5300$ y $t = T_{\text{M}}/10^4$ K. El factor F vale 1.14, y permite que la ecuación (2.1) coincida con el cálculo obtenido con el código de niveles múltiples, acelerando la recombinación.

Para el helio, el coeficiente de recombinación Caso B, α_{He} , fue obtenido por Hummer & Storey (1998), siendo la expresión de los términos individuales de la suma:

$$\alpha(T; nlS) = \frac{c\alpha^3}{\sqrt{\pi}} (2l + 1) \frac{S}{4} \lambda^{3/2} \nu^{-4} \int_0^\infty dE (1 + \nu^2 E)^2 e^{-\lambda E} \sigma(nlS; E) \quad (2.9)$$

donde α es la constante de estructura fina, $\sigma(nlS; E)$ es la sección eficaz de fotoionización para el estado nlS a una energía del electrón eyectado de E (en Ryd), ν es el número cuántico efectivo del estado, T es la temperatura electrónica, y

$$\lambda = \frac{1,5789 \times 10^5}{T}. \quad (2.10)$$

El ajuste de este coeficiente se debe a Verner & Ferland (1996) y tiene la siguiente expresión:

$$\alpha_{\text{HeI}} = q \left[\sqrt{\frac{T_{\text{M}}}{T_2}} \left(1 + \sqrt{\frac{T_{\text{M}}}{T_2}} \right)^{1-p} \left(1 + \sqrt{\frac{T_{\text{M}}}{T_2}} \right)^{1+p} \right]^{-1} \text{m}^3 \text{s}^{-1} \quad (2.11)$$

Los parámetros son $q = 10^{-16,744}$, $p = 0,711$, $T_1 = 10^{5,114}$ K, y T_2 fijado arbitrariamente a 3 K. Este ajuste es bueno hasta $< 0,1\%$ sobre el rango de temperaturas relevante (4,000–10,000 K), y sigue siendo bastante preciso sobre un rango de temperatura aún mayor. Para los tripletes, el ajuste se realiza con la misma forma funcional, pero con distintos valores para los parámetros: $p = 0,761$; $q = 10^{-16,306}$; $T_1 = 10^{5,114}$ K; and $T_2 = 3$ K. Este ajuste es mejor que el 1% para temperaturas de entre $10^{2,8}$ y 10^4 K.

Los coeficientes de fotoionización β_{X} , donde X representa a H o HeI, se calculan a partir de los coeficientes de recombinación haciendo: $\beta_{\text{X}} = \alpha_{\text{X}} (2\pi m_e k T_{\text{M}}/h^2)^{3/2} \exp(-h\nu_{2s}/kT_{\text{M}})$. Aquí ν_{2s} y α son diferentes para H y HeI. Notar además que se utilizan T_{M} y ν_{2s} , y que el uso incorrecto de T_{R}

o ν_{2p} causará una diferencia pequeña pero importante en modelos con gran cantidad de bariones. Por último, β_{HeI}^t es el coeficiente de fotoionización para los tripletes, y se calcula a partir de α_{HeI}^t de esta manera

$$\beta_{\text{HeI}}^t = \alpha_{\text{HeI}}^t \left(\frac{2\pi m_e k_B T_M}{h^2} \right)^{3/2} \frac{2g_{\text{He}^+}}{g_{\text{HeI},2^3s}} e^{-h\nu_{2^3s,c}/kT_M}, \quad (2.12)$$

donde g_{He^+} y $g_{\text{HeI},2^3s}$ son las degeneraciones de los átomos de He^+ y de HeI con electrones en el nivel 2^3s , y $h\nu_{2^3s,c}$ es la energía de ionización del estado 2^3s (Wong et al. 2008).

Los parámetros cosmológicos son el redshift z , el factor de Hubble $H(z)$, y la temperatura de la radiación $T_R = T_0(1+z)$. La abundancia primordial de He se toma como $Y_P = 0,24$ por unidad de masa (Schramm & Turner 1998), y el valor actual de la temperatura del fondo cósmico de radiación T_0 se toma como 2,728 K (el valor central determinado por el experimento FIRAS (Fixsen et al. 1996)).

El corrimiento al rojo cosmológico de los fotones H Ly α es

$$K_H \equiv \lambda_{\text{H}2p}^3 / (8\pi H(z)). \quad (2.13)$$

Para el helio, relacionamos los factores K de corrimiento al rojo de las líneas HeI 2^1p-1^1s y HeI 2^3p-1^1s con la probabilidad de escape de Sobolev p_S de la siguiente manera:

$$K_{\text{HeI}} = \frac{g_{\text{HeI},1^1s}}{g_{\text{HeI},2^1p}} \frac{1}{n_{\text{HeI},1^1s} A_{2^1p-1^1s}^{\text{HeI}} p_S} \quad \text{y} \quad (2.14)$$

$$K_{\text{HeI}}^t = \frac{g_{\text{HeI},1^1s}}{g_{\text{HeI},2^3p}} \frac{1}{n_{\text{HeI},1^1s} A_{2^3p-1^1s}^{\text{HeI}} p_S}, \quad (2.15)$$

donde $A_{\text{HeI},2^1p-1^1s}$ y $A_{\text{HeI},2^3p-1^1s}$ son los coeficientes A de Einstein de las transiciones HeI 2^1p-1^1s y HeI 2^3p-1^1s , respectivamente. Para incluir el efecto de la opacidad en el continuo debido al H, basados en la fórmula aproximada de Kholupenko et al. (2007), se reemplaza p_S por la nueva probabilidad de escape $p_{\text{esc}} = p_S + p_{\text{con,H}}$ con

$$p_{\text{con,H}} = \frac{1}{1 + a_{\text{He}} \gamma^{b_{\text{He}}}}, \quad (2.16)$$

donde a_{He} y b_{He} son parámetros de ajuste. El factor γ tiene la siguiente expresión

$$\gamma = \frac{\frac{g_{\text{HeI},1^1s}}{g_{\text{HeI},2^1p}} A_{2^1p-1^1s}^{\text{HeI}} (f_{\text{He}} - x_{\text{HeII}}) c^2}{8\pi^{3/2} \sigma_{\text{H},1s}(\nu_{\text{HeI},2^1p}) \nu_{\text{HeI},2^1p}^2 \Delta\nu_{\text{D},2^1p} (1 - x_p)} \quad (2.17)$$

donde $\sigma_{\text{H},1s}(\nu_{\text{HeI},2^1p})$ es la sección eficaz de ionización del H a la frecuencia $\nu_{\text{HeI},2^1p}$ y $\Delta\nu_{\text{D},2^1p} = \nu_{\text{HeI},2^1p} \sqrt{2k_{\text{B}}T_{\text{M}}/m_{\text{He}}c^2}$ es el ancho térmico de la línea HeI 2^1p-1^1s . La sección eficaz de fotoionización desde el nivel n es (Seaton 1959)

$$\sigma_n(Z, h\nu) = \frac{2^6 \alpha \pi a_0^2}{3\sqrt{3}} \frac{n}{Z^2} (1 + n^2\epsilon)^{-3} g_{II}(n, \epsilon) \quad (2.18)$$

donde $g_{II}(n, \epsilon) \simeq 1$ es el factor de Gaunt-Kramers, α es la constante de estructura fina y $a_0 = \hbar/(m_e c \alpha)$ es el radio de Bohr.

2.2. Dependencia con las constantes fundamentales

Las constantes fundamentales α y m_e están involucradas en cantidades físicas relevantes durante la recombinación. En esta sección estudiamos los detalles de las dependencias con las constantes en cada una de las cantidades físicas de interés. Luego analizaremos cómo cambia la historia de recombinación por variaciones temporales en los valores de las constantes fundamentales que estamos estudiando. Los primeros trabajos donde se analizó la dependencia de las constantes fundamentales en el escenario de recombinación estándar son los de Kaplinghat et al. (1999), Hannestad (1999), y Kujat & Scherrer (2000).

La dependencia de los coeficientes de recombinación Caso B puede verse de las ecuaciones (2.7) y (2.9). La dependencia del factor λ aparece a través del Ryd, una unidad de energía cuya dependencia con las constantes fundamentales coincide con la de la energía de ligadura del hidrógeno $B_1 = \frac{1}{2}\alpha^2 m_e c^2$, es decir $\alpha^2 m_e$. De la sección eficaz de fotoionización viene una dependencia de $\alpha a_0^2 \sim \alpha^{-1} m_e^{-2}$, que se deduce de la expresión de la ecuación (2.18). Por lo tanto, la dependencia total de los coeficientes de recombinación Caso B con las constantes fundamentales es $\alpha^3 m_e^{-3/2}$. Por su parte, los coeficientes de fotoionización β tienen una dependencia con las

constantes que se deduce de la dependencia de los coeficientes de recombinación más el factor extra $m_e^{3/2}$, y la dependencia en el exponencial que va como $\alpha^2 m_e$, como todos los términos proporcionales a la energía que aparecen en las ecuaciones.

La dependencia con las constantes fundamentales que viene del redshift de los fotones Ly α se deduce de la expresión $K_H = \lambda_\alpha^3 / 8\pi H(z)$, con $\lambda_\alpha = 8\pi\hbar c / 3B_1$, es decir, $\alpha^{-6} m_e^{-3}$.

En esta tesis se estudió la influencia de las constantes en el escenario actualizado de la recombinación. Para ello, buscamos la dependencia que viene de los factores de corrimiento al rojo de las líneas del helio, analizando los factores de las ecuaciones (2.14) y (2.15). En primera instancia, buscamos cómo dependen los coeficientes A de Einstein de las constantes fundamentales. Las tasas de probabilidad de transición $A_{\text{HeI},2^1\text{p}-1^1\text{s}}$ y $A_{\text{HeI},2^3\text{p}-1^1\text{s}}$ se pueden expresar como (Drake & Morton 2007):

$$A_{i-j}^{\text{HeI}} = \frac{4\alpha}{3c^2} \omega_{ij}^3 |\langle \psi_i | r_1 + r_2 | \psi_j \rangle|^2 \quad (2.19)$$

donde ω_{ij} es la frecuencia de la transición, y $i(j)$ hace referencia a los estados inicial (final) del átomo. Primero analizamos el braket. A primer orden en teoría de perturbaciones, todas las funciones de onda se pueden aproximar a la correspondiente función de onda del hidrógeno. Estas últimas se pueden analizar como $P(r/a_0) * \exp(-qr/a_0)$ en donde P es un polinomio, a_0 es el radio de Bohr y q es un número. Se puede mostrar que cualquier integral del tipo de la ecuación (2.19) puede ser resuelta con un cambio de variables $x = r/a_0$. Si las funciones de onda están apropiadamente normalizadas, la dependencia con las constantes fundamentales viene del operador, en este caso $r_1 + r_2$. Por ende, la dependencia del braket va como a_0 . Por otra parte, ω_{ij} es proporcional a la diferencia de los niveles de energía y por lo tanto, dependen de las constantes fundamentales como $\omega_{ij} \simeq m_e \alpha^2$. En consecuencia, la dependencia de las probabilidades de transición de HeI con α y m_e se puede expresar como:

$$A_{i-j}^{\text{HeI}} \simeq \alpha^5 m_e \quad (2.20)$$

En segunda instancia, buscamos la dependencia que viene de la modificación de la probabilidad de escape. En la expresión de γ (ver ecuación (2.17)) además de los coeficientes A de Einstein, aparece la sección eficaz de fotoionización del hidrógeno, cuya dependencia con las constantes es $\alpha^{-1} m_e^{-2}$ como vimos anteriormente. Sólo queda analizar la dependencia de los factores a_{He}

y b_{He} que aparecen en $p_{\text{con,H}}$. El cálculo detallado de estos parámetros de ajuste no está disponible aún, por lo que no es posible determinar cómo se ven afectados por variaciones de α y/o m_e . Wong et al. (2008) han mostrado que estos parámetros deben conocerse con un 1% de precisión para los datos que se obtendrán con el satélite Planck. Sin embargo, en esta tesis se ha trabajado con los datos del satélite WMAP, para el cual esta precisión no es necesaria. Para llegar a esta conclusión hemos calculado los espectros de potencia de la temperatura, la polarización y la correlación cruzada del fondo cósmico de radiación, permitiendo que los parámetros a_{He} y b_{He} varíen un 50%. Hemos encontrado que para los espectros de temperatura y polarización la variación es siempre menor que el error observacional (1% para la temperatura y casi 40% para la polarización). Las mayores variaciones aparecen en el espectro de correlación cruzada. Para éste, hemos calculado los errores observacionales para todos los ℓ 's medidos y los hemos comparado con la variación inducida cuando cambiamos a_{He} y b_{He} en un 50%. En todos los casos, el error observacional es varios órdenes de magnitud mayor que la variación de los C_ℓ 's por el cambio en los parámetros. Por lo tanto, para analizar los datos de WMAP no es necesario la modificación de los mismos. Todo este análisis y conclusiones son contribuciones originales de esta tesis y fueron publicadas en Scóccola et al. (2008a).

Para encontrar la dependencia de las tasas de recombinación via dos fotones, Λ_{H} y Λ_{He} , con las constantes fundamentales, consideremos una transición donde uno de los fotones tiene una frecuencia $y\nu_{12}$ y el otro tiene frecuencia $(1-y)\nu_{12}$, siendo ν_{12} la frecuencia correspondiente a la diferencia de energía entre el nivel $2s$ y el nivel $1s$ (Breit & Teller 1940; Spitzer & Greenstein 1951). La probabilidad de emisión de un fotón de frecuencia ν_{12} es

$$A(y) = \frac{9\alpha^6 c R}{2^{10}} \psi(y) \quad (2.21)$$

donde α es la constante de estructura fina, R es el Rydberg ($1\text{Ryd} = \frac{1}{2}m_e c^2 \alpha^2$), y $\psi(y)$ es una combinación lineal de funciones de onda normalizadas. De aquí se ve que dichas tasas de recombinación dependen de las constantes fundamentales como $\alpha^8 m_e$.

En la Tabla (2.1), se presenta un resumen de las dependencias con las constantes α y m_e , para las cantidades físicas relevantes en los procesos que ocurren durante la recombinación.

La variación temporal de las constantes fundamentales afecta la física durante la recombinación. El principal efecto es el corrimiento de la época de

Descripción	Magnitud física	Dependencia
Energía de ligadura del hidrógeno	B_1	$\alpha^2 m_e$
Sección eficaz de fotoionización	$\sigma_n(Z, h\nu)$	$\alpha^{-1} m_e^{-2}$
Sección eficaz de Thomson	σ_T	$\alpha^2 m_e^{-2}$
Coefficientes de recombinación Caso B	$\alpha_H, \alpha_{\text{HeI}}, \alpha_{\text{HeI}}^t$	$\alpha^3 m_e^{-3/2}$
Coefficientes de fotoionización	$\beta_H, \beta_{\text{HeI}}$	α^3
Redshift de los fotones Ly α	$K_H, K_{\text{HeI}}, K_{\text{HeI}}^t$	$\alpha^{-6} m_e^{-3}$
Coefficiente A de Einstein	A_{i-j}^{HeI}	$\alpha^5 m_e$
Tasa de recombinación via 2 fotones	$\Lambda_H, \Lambda_{\text{HeI}}$	$\alpha^8 m_e$

Tabla 2.1: Dependencias con α y m_e de las magnitudes físicas relevantes en los procesos que tienen lugar durante la recombinación.

recombinación a redshifts mayores cuando aumenta α o m_e . Esto se entiende fácilmente dado que la energía de ligadura B_n escala como $\alpha^2 m_e$, de manera tal que los fotones deberían tener mayor energía para poder ionizar átomos de hidrógeno. En las Figs. (2.1) se muestra cómo se ve afectada la historia de ionización por cambios en α y en m_e , en un Universo plano con parámetros cosmológicos $(\Omega_b h^2; \Omega_{CDM} h^2; h; \tau) = (0,0223; 0,1047; 0,73; 0,09)$. Cuando α y/o m_e tienen valores mayores que los actuales, la recombinación ocurre más temprano (a redshifts más grandes). La historia de ionización es más sensible a variaciones en α que a variaciones en m_e por las dependencias en B_n .

El mecanismo más eficiente para alcanzar el equilibrio térmico en el gas de fotones del Universo temprano es el scattering de Thomson por electrones libres, por lo tanto, otro efecto importante es el corrimiento en la sección eficaz de Thomson σ_T , definida según:

$$\sigma_T = \frac{8\pi \hbar^2}{3 m_e^2 c^2} \alpha^2 \quad (2.22)$$

de donde se ve su dependencia con las constantes fundamentales.

La función visibilidad, la cual mide la probabilidad diferencial de que un fotón se disperse por última vez al tiempo conforme η , depende de α y de

m_e . Esta función se define como

$$g(\eta) = e^{-\kappa} \frac{d\kappa}{d\eta}, \quad \text{donde} \quad \frac{d\kappa}{d\eta} = x_e n_p a \sigma_T \quad (2.23)$$

es la profundidad óptica diferencial de los fotones debido a la dispersión de Thomson. La densidad numérica total de protones es n_p (tanto libres como ligados), x_e es la fracción de electrones libres, y a es el factor de escala. El efecto más fuerte de variar α y m_e sobre la función visibilidad ocurre debido a la alteración de la historia de ionización $x_e(\eta)$. En la Fig. (2.2) se muestra que si el valor de α o m_e fuera más pequeño (grande) en la época de recombinación que su valor actual, el máximo en la función visibilidad se correría a valores de redshift más pequeños (grandes), y su ancho crecería (decrecería) levemente.

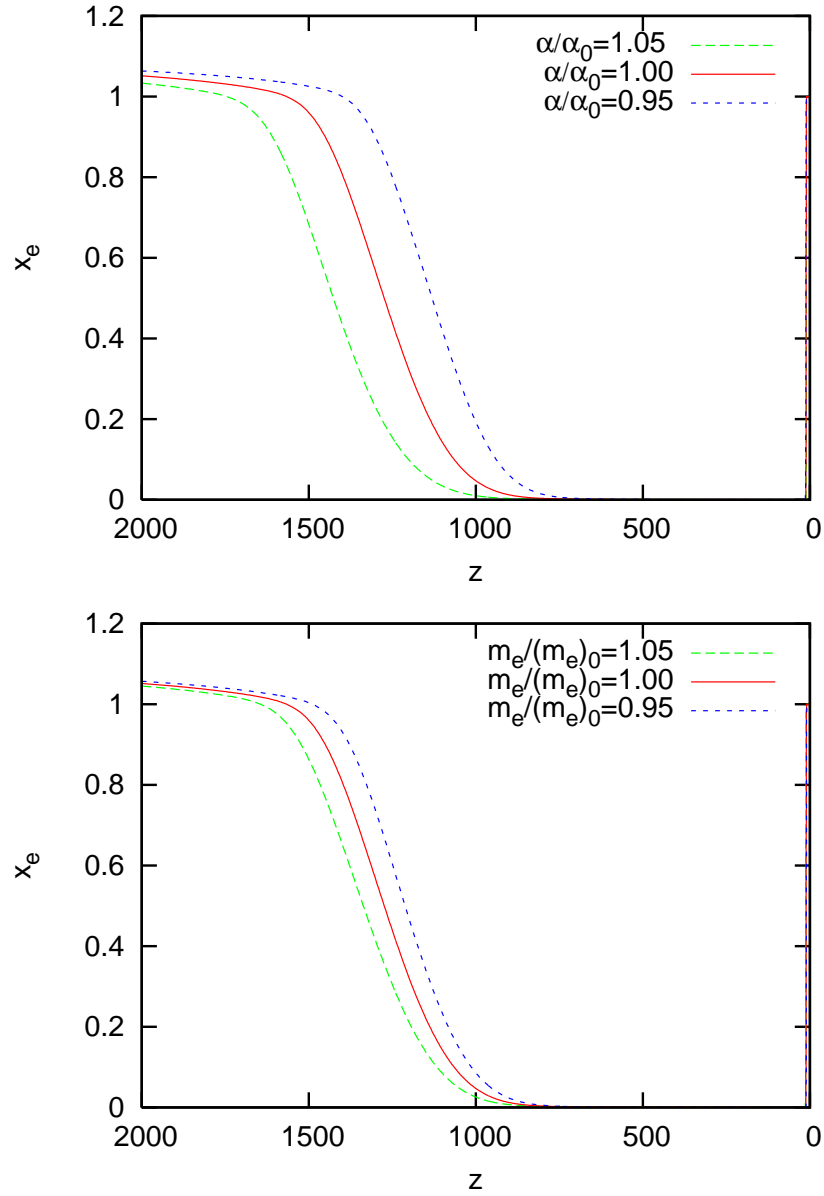


Figura 2.1: Fracción de ionización como función del redshift, para distintos valores de α (panel superior) y m_e (panel inferior) en la época de recombinación. α_0 y $(m_e)_0$ son los valores actuales de las constantes. Si α o m_e tenían en la época de recombinación un valor mayor que el actual, la recombinación ocurre más temprano.

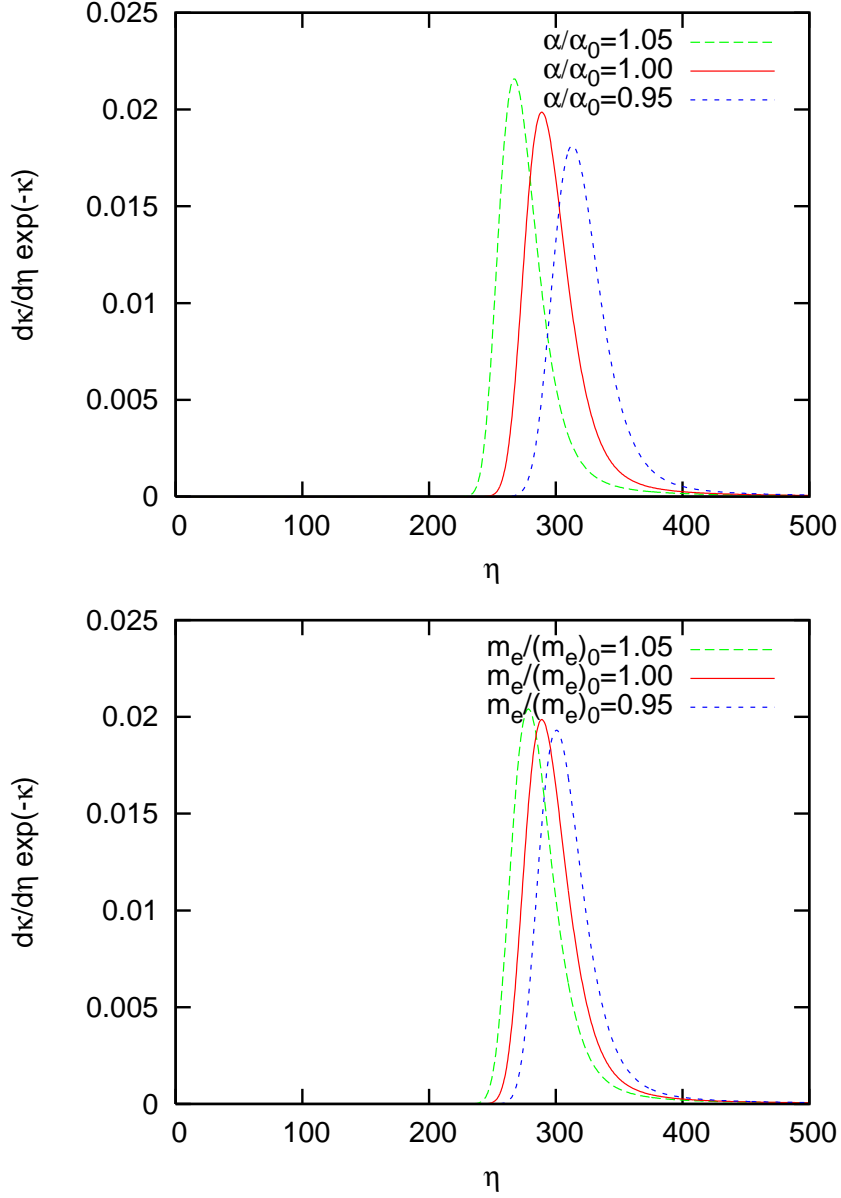


Figura 2.2: Función visibilidad como función del tiempo conforme, para diferentes valores de α (panel superior) y m_e (panel inferior). Si α o m_e tenían en la época de recombinación un valor mayor que el actual, la recombinación ocurre más temprano, es decir, a η menor.

Capítulo 3

Fondo cósmico de radiación

3.1. Consideraciones generales

El Universo primordial está compuesto por un plasma de fotones, electrones y núcleos de elementos químicos livianos. A medida que el Universo se expande, la temperatura baja, y es posible la formación de átomos neutros. La fracción de electrones libres se hace prácticamente despreciable, por lo que la dispersión de Thomson entre fotones y electrones deja de tener lugar. La opacidad del medio cae bruscamente, y los fotones comienzan a viajar libremente. Estos fotones constituyen el fondo cósmico de radiación (CMB por *cosmic microwave background*), y traen información directa de cómo era el Universo en el momento del desacople de la materia y la radiación, aproximadamente 400.000 años después del Big Bang.

Los fotones del fondo cósmico de radiación fueron detectados por primera vez de manera accidental por Wilson & Penzias (1967). Más adelante, el instrumento FIRAS a bordo del satélite COBE (1992) confirmó que dicha radiación tiene un espectro de cuerpo negro, con una temperatura de 2.728 K (Mather et al. 1994). Además, con el instrumento DMR (differential microwave radiometer) se obtuvo el primer mapa de las anisotropías en CMB en todo el cielo (Smoot 1993). Luego de COBE, distintos experimentos en tierra y en globos fueron lanzados para medir con mayor precisión la distribución de dichas anisotropías: ARCHEOPS (Benoît 2004), BOOMERANG (Netterfield et al. 2002), DASI (Halverson et al. 2002), MAXIMA (Lee et al. 1999), VSA (Grainge et al. 2003), y con mejor resolución angular: CBI (Mason et al. 2001), y ACBAR (Kuo et al. 2002). En Junio de 2001, NA-

SA lanzó el satélite WMAP, que en el año 2003 liberó un primer conjunto de datos que constituyeron un mapa completo del cielo con una precisión mucho mayor a la de COBE (Hinshaw et al. 2003). En el 2005, WMAP liberó un conjunto de datos mayor, que llamamos WMAP3 (Spergel et al. 2007), y en marzo de 2008 publicó los datos recolectados durante 5 años, conjunto que llamaremos WMAP5 (Dunkley et al. 2009). La Agencia espacial europea (ESA) planea lanzar el satélite Planck durante el año 2009, para realizar el mapa definitivo de las anisotropías en la temperatura y polarización de CMB en todo el cielo, con una resolución angular de un décimo de grado (Burigana et al. 2004).

La distribución de la temperatura de CMB en el cielo es una función definida sobre una esfera, por lo tanto, es natural analizarla con un desarrollo en armónicos esféricos

$$T(\theta, \phi) = \sum_{\ell, m} a_{\ell m} Y_{\ell m}(\theta, \phi). \quad (3.1)$$

En esta combinación lineal, el término del monopolo da la temperatura media de CMB, $T = 2,728\text{K}$. El término dipolar, con $\ell = 1$, se interpreta como el resultado del corrimiento Doppler causado por el movimiento del sistema solar relativo a CMB. Una vez que se remueven estos dos términos, lo que queda son las anisotropías intrínsecas de CMB, que son del orden de 10^{-5} en todas las escalas angulares, y contienen la información de la física del Universo en la época del desacople de la materia y la radiación. La mayor parte de la información cosmológica está contenida en la función de correlación de dos puntos de la temperatura. Esta función se define como el promedio en el cielo del producto de la desviación fraccional de la temperatura en las direcciones \mathbf{n} y \mathbf{n}' , desarrollando el resultado en polinomios de Legendre

$$C(\theta) = \left\langle \frac{\Delta T(\mathbf{n})}{T} \frac{\Delta T(\mathbf{n}')}{T} \right\rangle = \sum_{\ell=2}^{\infty} \frac{2\ell+1}{4\pi} C_{\ell} P_{\ell}(\cos \theta). \quad (3.2)$$

Los coeficientes del desarrollo, C_{ℓ} , son las varianzas de los coeficientes $a_{\ell m}$, de manera tal que

$$\langle a_{\ell m} a_{\ell' m'}^* \rangle = \delta_{\ell \ell'} \delta_{m m'} C_{\ell}. \quad (3.3)$$

Esta función, llamada *espectro angular de potencias de las anisotropías en el fondo cósmico de radiación*, es la herramienta más importante al comparar teoría con observaciones.

Las anisotropías en la temperatura están íntimamente relacionadas con las fluctuaciones de la densidad en la época de recombinación. Los modelos inflacionarios predicen que el campo de inhomogeneidades en la densidad, $\delta(x)$, es un campo aleatorio gaussiano. Estas inhomogeneidades son la semilla para la formación de estructura a gran escala, y se supone que fueron generadas a partir de fluctuaciones cuánticas en el campo del inflatón, que crecieron con un factor de expansión exponencial. Definiendo la desviación media cuadrática de las inhomogeneidades como $\sigma^2 = \langle \delta(x)^2 \rangle$, la función de autocorrelación se define como

$$\xi(|\mathbf{x}_2 - \mathbf{x}_1|) \equiv \xi(x) = \frac{1}{\sigma^2} \langle \delta(\mathbf{x}_2) \delta(\mathbf{x}_1) \rangle. \quad (3.4)$$

En la aproximación donde las fases son aleatorias, todos los modos de Fourier $\delta(k)$ están no correlacionados, lo que significa que

$$\langle \delta^*(\mathbf{k}) \delta(\mathbf{k}') \rangle = (2\pi)^3 \delta^3(\mathbf{k} - \mathbf{k}') P(\mathbf{k}). \quad (3.5)$$

La función $P(\mathbf{k})$ es el espectro de potencias de las fluctuaciones. En la mayoría de los modelos, el espectro inicial toma la forma

$$P(k) = A_s \left(\frac{k}{k_0} \right)^{n_s} \quad (3.6)$$

donde A_s es la amplitud y n_s es el índice espectral. El valor $n_s = 1$ corresponde a las llamadas fluctuaciones invariantes de escala, dado que para tal espectro, las fluctuaciones δ tienen la misma amplitud para todas las escalas de longitud. La teoría inflacionaria predice perturbaciones que sean casi invariantes de escala.

Los fotones que fueron dispersados por última vez en el desacople, nos llegan de la época cuando se formaron los átomos neutros en el Universo. A esa superficie en el cielo, que se encuentra a una distancia correspondiente al redshift del desacople, se la conoce como superficie de último scattering. Sin embargo, la recombinación no fue instantánea, por lo que la superficie de último scattering tiene cierto espesor en redshift. La dispersión de Thomson entre fotones y electrones en la superficie de último scattering genera polarización en los fotones de CMB. Por lo tanto, se pueden definir nuevas funciones de correlación angular a partir de la polarización, y así tener más herramientas con las cuales extraer información acerca de las condiciones físicas del Universo. La manera más conveniente de describir la polarización

es a través de sus modos E (escalar) y B (pseudo-escalar). La función de correlación cruzada entre temperatura y polarización se define como

$$\langle a_{\ell m}^T a_{\ell' m'}^{E*} \rangle = \delta_{\ell\ell'} \delta_{mm'} C_\ell^{TE} \quad (3.7)$$

y la función de autocorrelación de los modos E de polarización se define como

$$\langle a_{\ell m}^E a_{\ell' m'}^{E*} \rangle = \delta_{\ell\ell'} \delta_{mm'} C_\ell^{EE} \quad (3.8)$$

donde $a_{\ell m}^E$ son los coeficientes del desarrollo en armónicos esféricos de la polarización modo E . Dado que las perturbaciones iniciales escalares no generan modos B de polarización, no estudiamos las correlaciones que involucren estos modos.

Tanto los parámetros cosmológicos como el valor de las constantes fundamentales α y m_e afectan la forma de las funciones de correlación, y de esta manera sus valores pueden estimarse a partir de observaciones de CMB. Los efectos en el espectro angular de potencias de CMB debido a variar las constantes fundamentales son similares a los producidos por cambios en los parámetros cosmológicos, es decir, cambios en las amplitudes relativas de los picos, y un corrimiento en sus posiciones. Efectivamente, el aumento de α o m_e aumenta el redshift de la superficie de último scattering, lo que corresponde a un horizonte de sonido más pequeño. La posición del primer pico (ℓ_1) es inversamente proporcional a éste último, por lo que resulta un ℓ_1 mayor. También se produce un efecto ISW (integrated Sachs-Wolfe) mayor, haciendo que el primer pico Doppler sea más alto. Más aún, un aumento en α o m_e decrece el damping de difusión para ℓ 's grandes, el que se produce por el ancho finito de la superficie de último scattering, y por lo tanto, aumenta la potencia en pequeñas escalas. Todos estos efectos se ilustran en la Fig. (3.1), donde α_0 y $(m_e)_0$ son los valores actuales de las constantes fundamentales α y m_e . En este ejemplo, los parámetros cosmológicos fueron fijados a:

$$\begin{array}{lll} \Omega_b h^2 = 0.0223 & \Omega_{CDM} h^2 = 0.1047 & H_0 = 73 \text{ km/s/Mpc} \\ \tau_{re} = 0.09 & n_s = 0.951 & A_s = 2.3 \times 10^{-9} \end{array}$$

donde $\Omega_b h^2$ es la densidad de materia bariónica, en unidades de la densidad crítica, $\Omega_{CDM} h^2$ es la densidad de materia oscura, en las mismas unidades, H_0 es la tasa actual de expansión de Hubble, τ_{re} es la profundidad óptica de reionización, n_s es el índice espectral de perturbaciones escalares, y A_s es la amplitud de las fluctuaciones escalares.

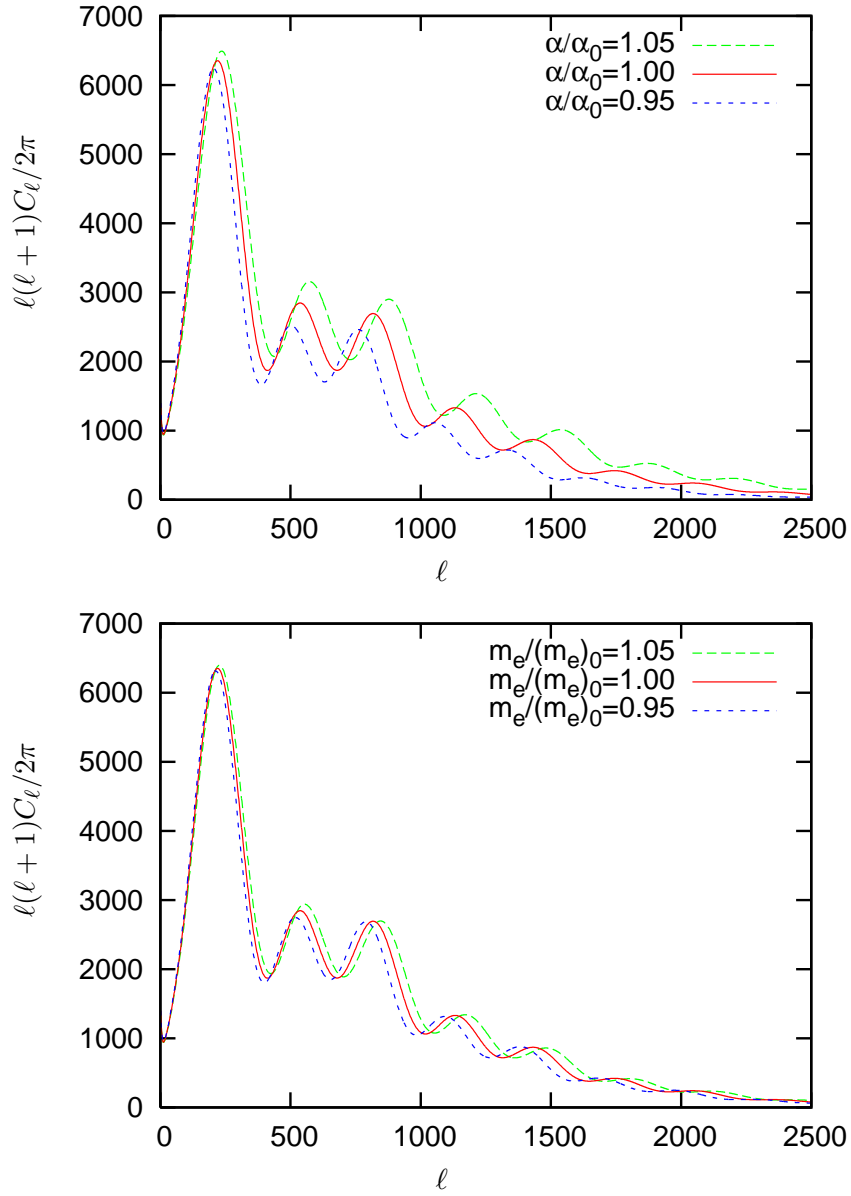


Figura 3.1: Espectro de anisotropías de la temperatura de CMB para diferentes valores de α (panel superior) y m_e (panel inferior).

La manera en la que cambia el espectro de correlación cruzada entre temperatura y polarización para distintos valores de las constantes fundamentales, se ve en la Fig. (3.2). El mismo efecto, para el espectro de potencias de la polarización, está ilustrado en la Fig. (3.3).

3.2. Estadísticas

En general, es de interés en estadística usar una muestra de datos para hacer inferencias sobre un modelo probabilístico, por ejemplo para evaluar si el modelo es válido o bien para estimar los valores de sus parámetros.

Hay dos enfoques principales para la inferencia estadística, que llamaremos *frecuentista* y *bayesiano*. En la estadística frecuentista, la probabilidad se interpreta como la frecuencia de aparición de un resultado en un experimento que se repite. Las herramientas más importantes en este enfoque son la estimación de parámetros, y los tests estadísticos. La estadística frecuentista provee las herramientas usuales para informar objetivamente acerca del resultado de un experimento sin necesidad de incorporar creencias previas concernientes al parámetro a ser medido o a la teoría a ser testeada.

En la estadística bayesiana, la interpretación de probabilidad es más general, e incluye el grado de creencia. Se puede entonces hablar de la función densidad de probabilidad para un parámetro, lo cual expresa el grado de conocimiento que tenemos acerca de dónde se encuentra su valor verdadero. Los métodos bayesianos permiten agregar de manera natural información extra tal como limitaciones físicas o información subjetiva. De hecho, requieren la imposición de un *prior* para los parámetros, es decir, el grado de creencia sobre los valores de los parámetros antes de realizar la medida. Usando el Teorema de Bayes, el grado de creencia *a priori* se actualiza con los datos obtenidos en el experimento.

Para muchos problemas de inferencia, los enfoques frecuentista y bayesiano dan los mismos resultados numéricos, a pesar de estar basados en interpretaciones diferentes de la probabilidad. Sin embargo, para muestras de datos pequeñas, o para medidas de un parámetro cerca de un límite físico, los distintos enfoques pueden dar resultados diferentes, y es necesario hacer una elección. Elegimos el enfoque bayesiano porque es el adoptado en la literatura y, por lo tanto, podremos comparar nuestros resultados con los obtenidos por otros autores.

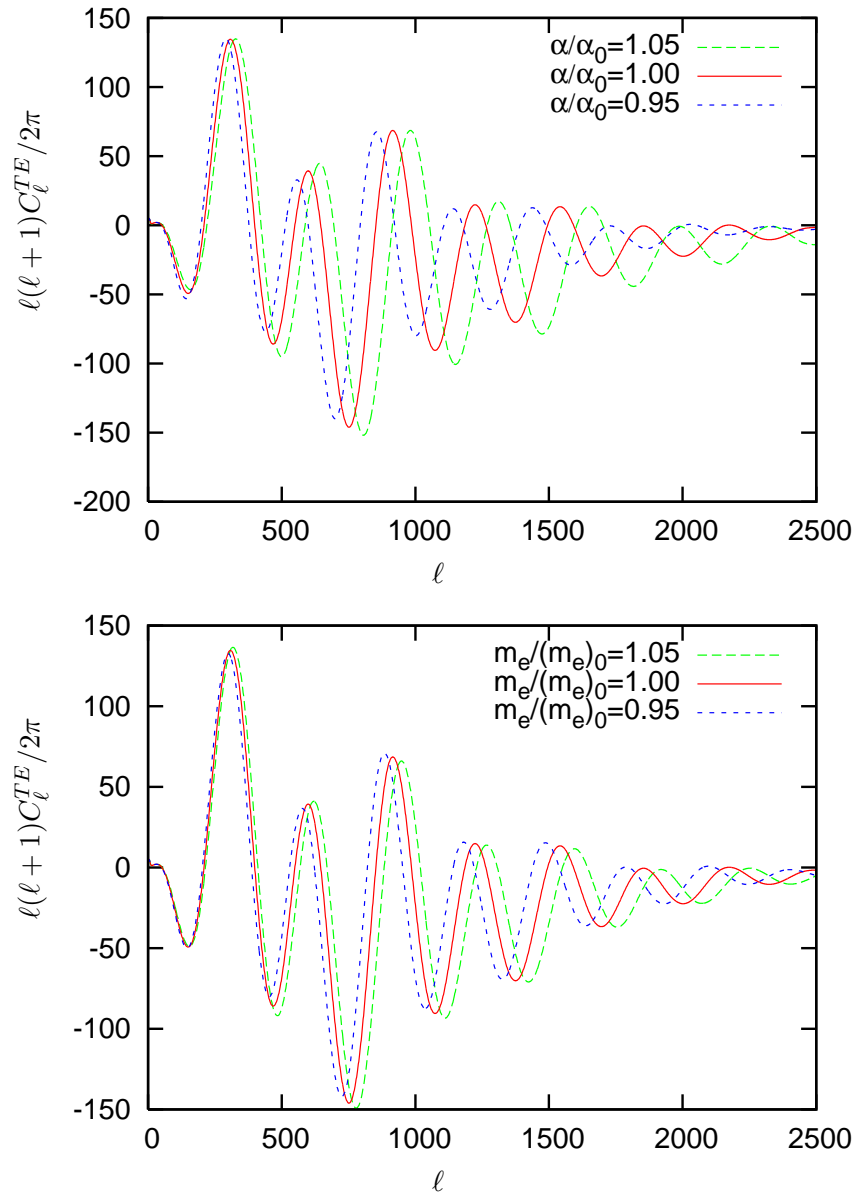


Figura 3.2: Espectro de correlación cruzada entre T y polarización modo E de CMB para diferentes valores de α (panel superior) y m_e (panel inferior).

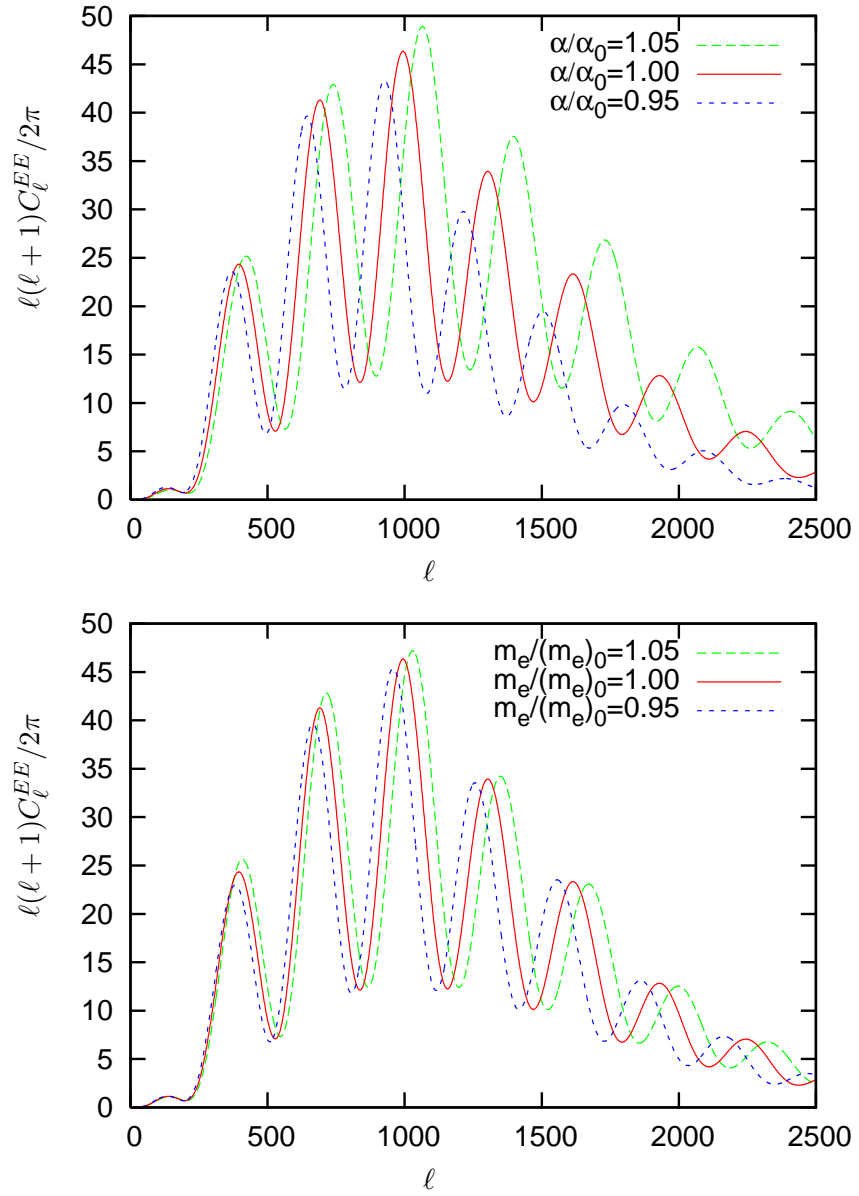


Figura 3.3: Espectro de potencias de la polarización modo E de CMB para diferentes valores de α (panel superior) y m_e (panel inferior).

3.2.1. El enfoque bayesiano

Desde la perspectiva bayesiana, no hay una distinción fundamental entre observables y parámetros de un modelo estadístico: todos son considerados cantidades “desconocidas”, y se les puede asociar un concepto de probabilidad. Sea D los datos observados, y sea θ los parámetros del modelo y los datos faltantes. Formalmente, se puede construir una distribución de probabilidad conjunta $P(D, \theta)$ sobre todas las cantidades aleatorias y/o desconocidas. Esta distribución conjunta consta de dos partes: una distribución a priori $P(\theta)$ y una función Likelihood $P(D|\theta)$. La Likelihood es una función que expresa, luego de que el resultado de un experimento es conocido, que tan probable era obtener ese resultado. Es una función de los parámetros y no debe confundirse con una densidad de probabilidad. Especificar $P(\theta)$ y $P(D|\theta)$ da un modelo probabilístico completo, en el cual $P(D, \theta) = P(D|\theta)P(\theta)$. Habiendo observado D , se usa el teorema de Bayes para determinar la distribución de θ condicionada a D :

$$P(\theta|D) = \frac{P(\theta)P(D|\theta)}{\int P(\theta)P(D|\theta)d\theta} \quad (3.9)$$

esto se llama la distribución *posteriori* de θ , y es el objeto de la inferencia bayesiana. A partir de esta distribución pueden calcularse los valores esperados *a posteriori* de cualquier función $f(\theta)$:

$$E[f(\theta)|D] = \frac{\int f(\theta)P(\theta)P(D|\theta)d\theta}{\int P(\theta)P(D|\theta)d\theta}. \quad (3.10)$$

Las integraciones en esta expresión eran la dificultad máxima de la inferencia bayesiana, y el método de las cadenas de Markov Monte Carlo (MCMC) surge como una manera viable de evaluar este tipo de expresiones. Seguimos el tratamiento de Gilks et al. (1996).

3.2.2. Cadenas de Markov Monte Carlo

Las cadenas de Markov Monte Carlo surgen como un método para evaluar expresiones del tipo de la Ec. (3.10) y están compuestas de dos partes: la integración Monte Carlo y la cadena de Markov.

Integración Monte Carlo

La integración Monte Carlo evalúa $E[f(X)]$ tomando muestras $\{X_t, t = 1, \dots, n\}$ a partir de la función $P(\theta|D)$, y luego aproximando

$$E[f(X)] \simeq \frac{1}{n} \sum_{t=1}^n f(X_t). \quad (3.11)$$

Por lo tanto, la media de la población se estima con la media de la muestra. Cuando las muestras $\{X_t\}$ son independientes, la Ley de los grandes números de la estadística asegura que la aproximación se hace cada vez más precisa al aumentar n . Es importante notar que n no es el número de datos, sino el tamaño de la muestra, que está controlado por el analista.

En general, tomar muestras $\{X_t\}$ a partir de $P(\theta|D)$ no es posible dado que esta función puede ser muy poco común. Sin embargo, se pueden generar por cualquier proceso que tome muestras dentro del soporte de $P(\theta|D)$, en las proporciones correctas. Una manera de hacer esto es a través de una cadena de Markov, que tenga a $P(\theta|D)$ como distribución estacionaria. En ese caso, se trata de una *cadena de Markov Monte Carlo*.

Cadenas de Markov

Supongamos que generamos una secuencia de variables aleatorias

$$\{X_0, X_1, X_2, \dots\}$$

de tal manera que, para cada $t \geq 0$, el siguiente estado X_{t+1} se muestree de una distribución $P(X_{t+1}|X_t)$ que dependa sólo del estado actual de la cadena, X_t . Esta secuencia se llama *cadena de Markov*, y $P(\cdot|\cdot)$ se llama el *kernel de transición* de la cadena. La cadena irá perdiendo información de cual era el X_0 inicial, y la distribución de la cual se muestrean los valores tenderá a una *distribución estacionaria* $\phi(\cdot)$.

Luego de un tiempo de “burn-in” suficientemente largo, digamos de m iteraciones, los puntos $\{X_t; t = m + 1, \dots, n\}$ serán extraídos de la distribución $\phi(\cdot)$. Hay métodos para estimar el valor de m . Además, es necesaria una manera de asegurar que la cadena construida es tal que su distribución estacionaria $\phi(\cdot)$ coincide con la posteriori $P(\theta|D)$. Una de las posibilidades es utilizar el algoritmo de Metropolis-Hastings. Luego de descartar las muestras

del burn-in, el estimador de $E[f(X)]$ es:

$$\bar{f} = \frac{1}{n - m} \sum_{t=m+1}^n f(X_t) \quad (3.12)$$

que se conoce como promedio ergódico. La convergencia al valor de expectación requerido se asegura mediante el teorema ergódico.

Algoritmo de Metropolis-Hastings

Para este algoritmo, en cada paso t , el siguiente estado X_{t+1} se elige primero muestreando un punto candidato Y , de la distribución *propuesta* $q(\cdot|X_t)$, que por ejemplo, puede ser una distribución normal de variables múltiples, con valor medio X y una matriz de covarianza fija. Para el punto candidato Y se calcula una probabilidad $\alpha(X_t, Y)$ tal que

$$\alpha(X, Y) = \min \left(1, \frac{P(Y)q(X|Y)}{P(X)q(Y|X)} \right). \quad (3.13)$$

A la vez, se elige un número aleatorio entre 0 y 1. Luego se compara dicho número con $\alpha(X_t, Y)$; si es menor, se toma $X_{t+1} = Y$, sino, se toma $X_{t+1} = X_t$. Finalmente se incrementa t . Cabe destacar que la distribución propuesta $q(\cdot|\cdot)$ puede tener cualquier forma, y la distribución estacionaria de la cadena será $P(\theta|D)$.

Convergencia

El problema fundamental de la inferencia a partir de simulaciones de cadenas de Markov es que siempre habrá regiones del espacio de parámetros que no serán cubiertas por una cadena de longitud finita. A medida que la simulación avanza, la propiedad ergódica de la cadena de Markov hace que eventualmente se cubra toda la región, pero en el corto plazo, las simulaciones no pueden decir nada acerca de regiones que la cadena aún no haya explorado. Esto es un problema cuando la convergencia es lenta. La mejor manera de notar la convergencia lenta es examinando múltiples simulaciones independientes. También es importante que los puntos iniciales de cada una de las cadenas estén suficientemente separados (Gelman 1996).

La manera recomendada para monitorear la convergencia se basa en detectar cuándo las cadenas de Markov se han “olvidado” de sus puntos de

inicio, comparando varias secuencias largadas desde diferentes puntos iniciales y chequeando que sean indistinguibles. Una forma cuantitativa utiliza el análisis de las varianzas: se diagnostica convergencia aproximada cuando la varianza entre cadenas diferentes no es mayor que la varianza dentro de una secuencia individual.

De manera independiente, se monitorea la convergencia de todos los “resúmenes escalares” de interés. Por ejemplo, podemos estar interesados en todos los parámetros de la distribución, y varias cantidades predichas. Cada uno de esos parámetros se considera un resumen escalar ψ . Consideraremos uno solo, para ilustrar el método. Supongamos que tenemos m simulaciones paralelas, cada una de longitud n . Queremos una manera cuantitativa de determinar si “las diferentes secuencias se apartan entre sí más de lo esperado, respecto de su variabilidad interna”. Llamamos ψ_{ij} con $i = 1, \dots, m$ y $j = 1, \dots, n$ a los eslabones de cada cadena. Se define la varianza entre cadenas B , y la varianza dentro de las cadenas W :

$$\begin{aligned} B &= \frac{n}{m-1} \sum_{i=1}^m (\bar{\psi}_i - \bar{\psi})^2, & \text{donde} & \quad \bar{\psi}_i = \frac{1}{n} \sum_{j=1}^n \psi_{ij}, & \quad \bar{\psi} = \frac{1}{m} \sum_{i=1}^m \bar{\psi}_i \\ W &= \frac{1}{m} \sum_{i=1}^m s_i^2 & \text{donde} & \quad s_i^2 = \frac{1}{n-1} \sum_{j=1}^n (\psi_{ij} - \bar{\psi}_i)^2. \end{aligned} \quad (3.14)$$

A partir de estas dos cantidades, construimos dos estimadores de la varianza de ψ . El primero es

$$\widehat{var}(\psi) = \frac{n-1}{n} W + \frac{1}{n} B \quad (3.15)$$

es un estimador de la varianza “no-sesgado” si los puntos iniciales de las simulaciones fueron verdaderamente extraídos de la distribución $P(\theta|D)$, pero es “sobre-estimado” si los puntos iniciales están apropiadamente dispersados.

Por otra parte, para cualquier n finito, la varianza dentro de la secuencia, W , debe subestimar la varianza de ψ porque las secuencias individuales no han tenido tiempo de recorrer toda la distribución, y como resultado tendrán menos variabilidad. En el límite $n \rightarrow \infty$ tanto $\widehat{var}(\psi)$ como W se acercan a $var(\psi)$ pero desde direcciones opuestas.

Existe un estimador R definido como

$$\sqrt{R} = \sqrt{\frac{\widehat{var}(\psi)}{W}} \quad (3.16)$$

que a medida que la secuencia converge, va acercándose a 1, reflejando que las cadenas de Markov se están superponiendo. Se considera que la cadena ha convergido cuando R es 1,2 o 1,1. Una práctica más conservadora es tomar $R - 1 \lesssim 0,03$.

3.2.3. Función Likelihood para CMB

Las teorías más simples que explican la generación de inhomogeneidades en el Universo, tales como la inflacionaria, predicen que la señal de la temperatura en cierta dirección del cielo es una muestra de una distribución gaussiana. A partir de allí se puede deducir la función Likelihood L para N_p pixeles de datos de la anisotropía en la temperatura del fondo cósmico de radiación como

$$L = \frac{1}{(2\pi)^{N_p/2} (\det C)^{1/2}} \exp \left\{ -\frac{1}{2} \Delta C^{-1} \Delta \right\} \quad (3.17)$$

donde Δ es el vector de datos que consiste en las N_p medidas de la anisotropía de la temperatura en distintas direcciones en el cielo y C es la matriz de covarianza total, suma de la matriz de covarianza del ruido más la matriz de covarianza de la señal.

3.3. Ajustes

Uno de los objetivos principales de esta tesis fue encontrar límites a la variación de las constantes fundamentales entre la época de la recombinación del Universo y la actualidad. Hemos estudiado los casos donde sólo una de las constantes fundamentales varía con el tiempo (ya sea α o m_e), y el caso donde la variación es simultánea, aunque independiente.

Para el análisis estadístico, hemos utilizado distintos conjuntos de datos y comparado cómo cambian las cotas obtenidas en cada caso. Asimismo, cotejamos nuestros resultados con los disponibles en la literatura. Hemos utilizado el conjunto más completo de datos de las anisotropías en la temperatura y polarización del Fondo Cósmico de Radiación, que incluye los resultados de CBI (Readhead et al. 2004), ACBAR (Kuo et al. 2004), y BOOMERANG (Piacentini et al. 2006; Jones et al. 2006). Utilizamos también los datos del satélite WMAP. Para éstos, tenemos dos conjuntos de datos, que fueron liberados en distintos momentos durante la realización de este trabajo de tesis:

los recolectados durante los primeros tres años de funcionamiento del satélite, liberados en el año 2005, que llamaremos WMAP3 (Spergel et al. 2007), y los publicados en el año 2008, que llamaremos WMAP5 (Dunkley et al. 2009), y son el resultado de cinco años de observación.

Dada la fuerte degeneración que existe entre la variación de las constantes y el factor de expansión de Hubble H_0 , hemos realizado un ajuste con los datos de CMB y un prior gaussiano para H_0 , el cual fue obtenido del Proyecto Clave del Telescopio espacial Hubble (Freedman et al. 2001). No utilizamos el ajuste final para H_0 que presentan en dicho trabajo, dado que algunos de los objetos utilizados están a alto redshift. En cambio, utilizamos los valores obtenidos a partir de los objetos celestes más cercanos, de manera tal de poder despreciar cualquier posible diferencia entre el valor de α y m_e a ese redshift determinado y el valor actual. El valor medio de la gaussiana considerada en esta tesis es de 71 km/s/Mpc, y la desviación estándar es de 10 km/s/Mpc, teniendo en cuenta errores aleatorios y sistemáticos. Mencionamos que el valor final que presentan en Freedman et al. (2001) es de $H_0 = 72 \pm 8$ km/s/Mpc.

El espectro de potencias de las galaxias (o de la materia) $P(k)$ es creciente para valores pequeños de k (grandes escalas) y decreciente para k grandes. La escala para la cual se presenta el quiebre corresponde a aquella que entra al horizonte en la época de igualdad de materia y radiación. El factor de escala correspondiente es $a_{eq} = 4,15 \times 10^{-5} / \Omega_m h^2$. Esta dependencia con $\Omega_m h^2$ nos permite romper la degeneración que existe con α y m_e , y obtener cotas más restrictivas para sus variaciones. Por lo tanto, hemos utilizado los datos del espectro de potencias de la distribución de galaxias del catálogo 2dFGRS (Cole et al. 2005), junto con los de CMB para obtener cotas a la variación de las constantes fundamentales.

Clasificamos los ajustes realizados según el conjunto de datos que se haya utilizado:

- Todas las observaciones de CMB, incluyendo los datos de WMAP3.
- Todas las observaciones de CMB, incluyendo los datos de WMAP3, junto con el prior para H_0 del HST Key Project, obtenido a partir de objetos cercanos.
- Todas las observaciones de CMB, incluyendo los datos de WMAP3, junto con el espectro de potencias $P(k)$ del catálogo 2dFGRS.

- Todas las observaciones de CMB, incluyendo los datos de WMAP5, junto con el espectro de potencias $P(k)$ del catálogo 2dFGRS.

En los análisis estadísticos, hemos considerado un modelo cosmológico plano con fluctuaciones en densidad adiabáticas, con el siguiente conjunto de parámetros cosmológicos, que también son ajustados:

$$P = (\Omega_b h^2, \Omega_{CDM} h^2, \Theta, \tau_{re}, n_s, A_s) \quad (3.18)$$

donde $\Omega_b h^2$ es la densidad de materia bariónica, en unidades de la densidad crítica, $\Omega_{CDM} h^2$ es la densidad de materia oscura, en las mismas unidades, Θ da el cociente entre el horizonte comóvil de sonido en la época de desacople y la distancia angular a la superficie de último scattering, τ_{re} es la profundidad óptica de reionización, n_s es el índice espectral de perturbaciones escalares, y A_s es la amplitud de las fluctuaciones escalares.

Para llevar a cabo el análisis estadístico, utilizamos el método de las cadenas de Markov para explorar el espacio de parámetros porque el uso de grillas cuando el número de parámetros es tan grande demanda un tiempo de cómputo excesivamente largo. Estas técnicas están implementadas en el código CosmoMC de Lewis & Bridle (2002). El mismo, utiliza el código CAMB (Lewis et al. 2000) para calcular los espectros de potencias angulares de CMB, y el código RECFAST (Seager et al. 1999b) para resolver las ecuaciones de recombinación. Modificamos dichos programas para incluir variaciones en el valor de α y de m_e durante la recombinación. En estos análisis, hemos considerado la recombinación estándar, según el tratamiento de Seager et al. (2000, 1999a). Hemos realizado el análisis variando las constantes por separado, y en forma conjunta, y los resultados se muestran en las secciones subsiguientes. Se han considerado priors planos para todos parámetros (excepto cuando se tiene en cuenta los datos del HST, en cuyo caso se toma un prior gaussiano para H_0 , como se mencionó anteriormente). Para cada uno de los análisis llevados a cabo, se han corrido 8 cadenas de Markov, y se ha utilizado el criterio de convergencia de Raftery & Lewis (1992) para detener las cadenas cuando el estimador $R - 1$ toma un valor bajo (que especificaremos en cada caso). En general hemos trabajado con cadenas largas ya que, para asegurar la convergencia, no hemos cortado el proceso hasta que el valor del estimador $R - 1$ fuera más bajo que los valores que se consideran habitualmente.

Finalmente, comentamos que *Planck* será la primera misión en realizar un mapa de todo el cielo con una sensibilidad del orden del mJy y una resolución

mejor que $10'$ (Villa et al. 2003). Tal resolución permitirá ver dentro de la cola de decaimiento (damping) del espectro de anisotropías, cerca del tercer y cuarto pico, con una precisión limitada exclusivamente por la varianza cósmica (White 2006). Esto permitirá una determinación muy precisa del cociente barión-fotón a partir de la altura relativa de los picos del espectro.

3.3.1. Variación de α

Para poner cotas a la variación temporal de α durante la recombinación, al conjunto de parámetros (3.18) le agregamos $\Delta\alpha/\alpha_0$, que tiene en cuenta posibles variaciones en el valor de la constante de estructura fina respecto de su valor actual α_0 .

Existen algunos análisis previos de los datos de CMB incluyendo una posible variación de la constante de estructura fina α . Los primeros trabajos que presentan cotas a partir de datos del fondo cósmico de radiación son previos al satélite WMAP. Ajustes a la variación de α usando datos de BOOMERANG y MAXIMA son presentados en Avelino et al. (2000); Battye et al. (2001), y usando BOOMERANG, COBE y DASI en Avelino et al. (2001). En los trabajos de Martins et al. (2002); Rocha et al. (2003) se utilizan los datos de WMAP1 (recolectados durante el primer año de funcionamiento del satélite) y se obtiene

- $-0,06 < \Delta\alpha/\alpha_0 < 0,01$

con un 95% de confianza. Por otra parte, en Ichikawa et al. (2006) utilizan los datos de WMAP1 y el prior gaussiano para H_0 dado por el HST Key Project ($H_0 = 72 \pm 8$ km/s/Mpc). El método estadístico que utilizan es el cálculo del mínimo del χ^2 como función de α . Para minimizar sobre los otros parámetros cosmológicos, utilizan iterativamente el método de Brent, de la interpolación sucesiva por parábolas. Las cotas que obtienen son

- $-0,107 < \Delta\alpha/\alpha_0 < 0,043$, usando los datos de WMAP1, y
- $-0,048 < \Delta\alpha/\alpha_0 < 0,032$, cuando se agrega el prior de HST.

Stefanescu (Stefanescu 2007) encontró límites a la variación de α utilizando los datos de WMAP3 junto con el prior para H_0 dado por el HST Key Project. Por otra parte, en dicho trabajo se desprecia el efecto de la variación de α sobre la recombinación del helio. El límite presentado por esta autora es

- $-0,039 < \Delta\alpha/\alpha_0 < 0,010$,

con un 95 % de confianza. Por último, Nakashima et al. (2008) utilizan los datos de WMAP5 para obtener cotas sobre la variación de α . Los resultados que obtienen son

- $-0,028 < \Delta\alpha/\alpha_0 < 0,026$, si se usa el prior del HST, y
- $-0,050 < \Delta\alpha/\alpha_0 < 0,042$, si no se lo utiliza.

Resaltamos que estos autores también usan el resultado final para H_0 , calculado a partir de objetos a distintos redshifts.

En nuestro análisis considerando sólo datos de WMAP3 encontramos la siguiente cota

$$-0,065 < \Delta\alpha/\alpha_0 < 0,019 \quad (3.19)$$

con una confianza del 95 %. Para estas cadenas, el estimador de convergencia vale $R - 1 = 0,0266$. Cuando incorporamos el prior para H_0 del HST, calculado a partir de objetos cercanos ($H_0 = 71 \pm 10$ km/s/Mpc), el intervalo de confianza se hace más pequeño

$$-0,047 < \Delta\alpha/\alpha_0 < 0,014. \quad (3.20)$$

La diferencia entre nuestro resultado y el presentado por Stefanescu (2007) se debe al prior elegido para H_0 . En esta tesis preferimos considerar el prior obtenido a partir de objetos cercanos. Si a las cadenas correspondientes al análisis realizado con los datos de WMAP3 se les realiza un post-procesamiento para agregar el prior para H_0 dado por el valor final del HST Key Project, el intervalo del 95 % de confiabilidad que obtenemos es

$$-0,040 < \Delta\alpha/\alpha_0 < 0,014. \quad (3.21)$$

Tanto Stefanescu como Nakashima et al, no han considerado la posibilidad de que la cota sobre H_0 pueda verse afectada si α tiene un valor diferente al actual en las épocas correspondientes a los redshifts de los objetos utilizados en el HST Key Project.

Las cotas más fuertes se obtienen al combinar los datos de WMAP con los del $P(k)$ del 2dFGRS (ver Figs. (3.4) y (3.5)).

Cuando utilizamos los datos de WMAP3 y el espectro del 2dFGRS, cortamos las cadenas cuando $R - 1 < 0,003$. En este caso, el intervalo de confianza del 95 % es

$$-0,038 < \Delta\alpha/\alpha_0 < 0,009. \quad (3.22)$$

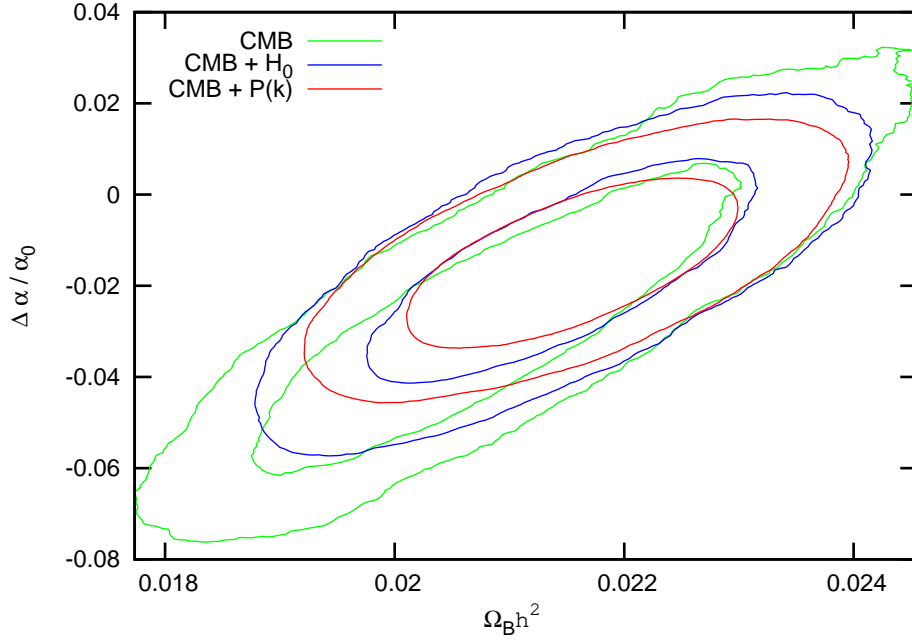


Figura 3.4: Contornos de confianza del 68% y 95% para los parámetros $\Delta\alpha/\alpha_0$ y $\Omega_b h^2$ obtenidos con datos de WMAP3, con datos de WMAP3 más el espectro de potencias $P(k)$ del 2dFGRS, y con WMAP3 y el prior para H_0 calculado a partir de objetos cercanos, para el análisis con variación de α .

Estos resultados están publicados en Mosquera et al. (2008).

Finalmente, realizamos el ajuste con los datos de WMAP5 y 2dFGRS. Las cadenas se cortaron cuando $R - 1 = 0,0213$. En este caso, el intervalo de confianza del 95% es

$$-0,019 < \Delta\alpha/\alpha_0 < 0,017. \quad (3.23)$$

Esta cota es más fuerte que la presentada en Nakashima et al. (2008). Efectivamente, en las Figs. (3.4) y (3.5) se puede ver que los contornos son más pequeños cuando se agregan a CMB los datos del $P(k)$ que cuando se agrega el prior para H_0 .

En la Fig. (3.6) se muestran las distribuciones a posteriori marginalizadas, para el caso de variación de α obtenidas con los datos de CMB, incluyendo

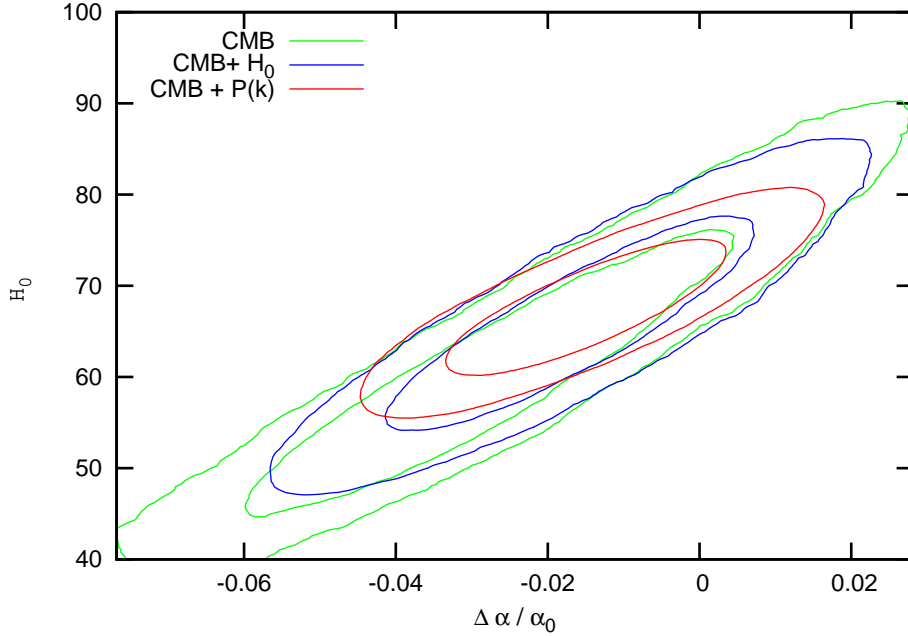


Figura 3.5: Contornos de confianza del 68 % y 95 % para los parámetros $\Delta\alpha/\alpha_0$ y H_0 obtenidos con datos de WMAP3, con y sin datos del espectro de potencias del 2dFGRS, para el análisis con variación de α .

los datos de WMAP5 y el espectro de potencias del 2dFGRS. En la diagonal se muestran las distribuciones de densidad de probabilidad a posteriori para los parámetros individuales indicados en el eje x . Estas distribuciones están marginalizadas sobre los otros parámetros y normalizadas a 1 en el máximo. Los otros paneles muestran los contornos de confianza para pares de parámetros. Los contornos representan 68 %, 95 % y 99 % de confiabilidad, desde el más interno al más externo, respectivamente. En dicha figura se puede ver una degeneración fuerte entre α y Θ , esta última directamente relacionada con H_0 , y también entre α y $\Omega_b h^2$. Los valores obtenidos para $\Omega_b h^2$, h , $\Omega_{CDM} h^2$, τ_{re} , y n_s están en acuerdo, dentro del intervalo a 1σ , con los correspondientes valores cuando no se incluye variación de α , obtenidos por el equipo de WMAP (Spergel et al. 2007). Los resultados aquí presentados son consistentes a 2σ con variación nula de α en la época de recombinación. Para el ajuste con los datos de WMAP3 se obtienen resultados similares,

aunque las cotas son más precisas cuando se utilizan los datos de WMAP5.

Los resultados de los ajustes, con WMAP3 y WMAP5, para los parámetros cosmológicos y $\Delta\alpha/\alpha_0$ se muestran en la Tabla (3.1). A modo de com-

Parámetro	WMAP3 + $P(k)$	WMAP5 + $P(k)$
$\Omega_b h^2$	$0,0216 \pm 0,0009$	$0,0226 \pm 0,0007$
$\Omega_{CDM} h^2$	$0,102 \pm 0,006$	$0,110 \pm 0,005$
Θ	$1,021 \pm 0,017$	$1,040 \pm 0,013$
τ_{re}	$0,092 \pm 0,014$	$0,086^{+0,007}_{-0,0008}$
$\Delta\alpha/\alpha_0$	$-0,015 \pm 0,012$	$-0,002 \pm 0,009$
n_s	$0,965 \pm 0,016$	$0,964 \pm 0,014$
$\log(10^{10} A_s)$	$3,039^{+0,064}_{-0,065}$	$3,060 \pm 0,037$
H_0	$67,7^{+4,7}_{-4,6}$	$71,7^{+4,0}_{-4,1}$

Tabla 3.1: Valores medios y errores a 1σ para los parámetros incluyendo la variación de α , para el análisis con WMAP3 y el análisis con WMAP5. Las unidades de H_0 son $\text{km s}^{-1} \text{Mpc}^{-1}$.

paración, en la Tabla (3.2) se muestran los ajustes para los parámetros cosmológicos, publicados por el equipo del satélite WMAP, en el modelo cosmológico canónico donde no hay variación de las constantes. Vemos que los valores medios de los parámetros cosmológicos prácticamente no cambian si se considera variación de α , a excepción de $\Omega_b h^2$, que en caso de variar α prefiere valores más bajos que en el caso canónico, para ambos conjuntos de datos. Otra diferencia que se observa es en los valores de τ_{re} y H_0 , para el ajuste con WMAP3. En este caso, cuando hay variación de α , se prefiere un valor ligeramente más alto para τ_{re} , y un valor más bajo para H_0 .

En la Fig. (3.7) se compara cómo cambia la distribución de densidad de probabilidad para el parámetro $\Delta\alpha/\alpha_0$ cuando se consideran los datos de WMAP3 y los de WMAP5. En ambos casos, también se utilizaron los datos del espectro de potencias del 2dFGRS.

En la Fig. (3.8) se resume cuales son las cotas más actuales para la variación de α , entre la época de recombinación y la época actual, existentes en la literatura.

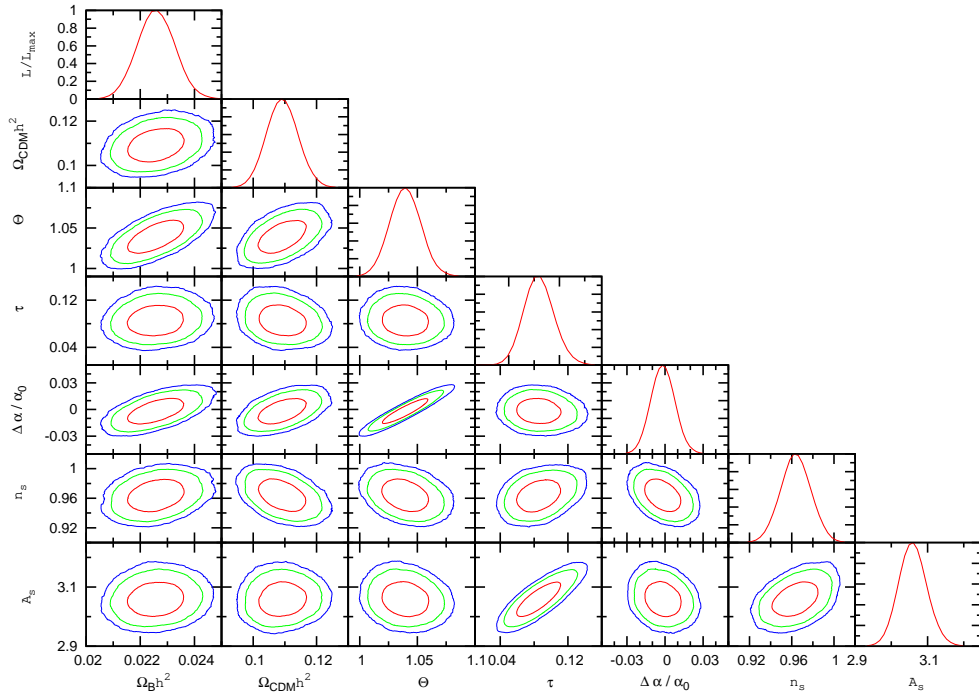


Figura 3.6: Distribuciones a posteriori marginalizadas, para el caso de variación de α obtenidas con los datos de CMB, incluyendo los datos de WMAP5 y el espectro de potencias del 2dFGRS. En la diagonal se muestran las distribuciones de densidad de probabilidad a posteriori para los parámetros individuales indicados en el eje x . Estas distribuciones están marginalizadas sobre los otros parámetros y normalizadas a 1 en el máximo. Los otros paneles muestran los contornos de confianza para pares de parámetros. Los contornos representan 68 %, 95 % y 99 % de confiabilidad, desde el más interno al más externo, respectivamente. Análisis estadístico con variación de α .

Parámetro	WMAP3	WMAP5
$100 \Omega_b h^2$	$2,229 \pm 0,073$	$2,273 \pm 0,062$
$\Omega_{CDM} h^2$	$0,1054 \pm 0,0087$	$0,1099 \pm 0,0062$
τ_{re}	$0,089 \pm 0,030$	$0,087 \pm 0,017$
n_s	$0,958 \pm 0,016$	$0,963^{+0,014}_{-0,015}$
H_0	$73,2^{+3,1}_{-3,2}$	$71,9^{+2,6}_{-2,7}$

Tabla 3.2: Valores medios y errores a 1σ para los parámetros cosmológicos a partir de los datos de WMAP, sin variación de las constantes. Las unidades de H_0 son $\text{km s}^{-1} \text{Mpc}^{-1}$.

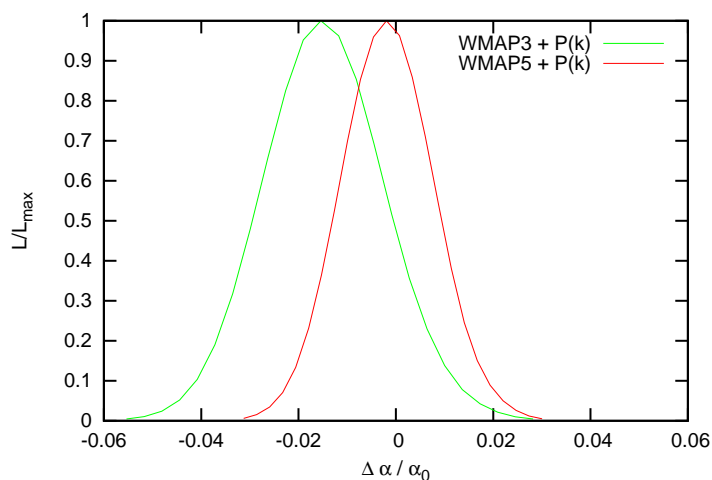


Figura 3.7: Distribución a posteriori unidimensional para $\Delta\alpha/\alpha_0$, comparando los ajustes con WMAP3 y WMAP5. Análisis con variación sólo de α .

3.3.2. Variación de m_e

Para encontrar cotas a la variación de m_e entre la época de recombinación y la actualidad, al conjunto de parámetros (3.18) le agregamos la variable $\Delta m_e / (m_e)_0$.

Existen algunos trabajos previos que estudian la variación de la masa del electrón usando datos de CMB. En Kujat & Scherrer (2000) realizan un

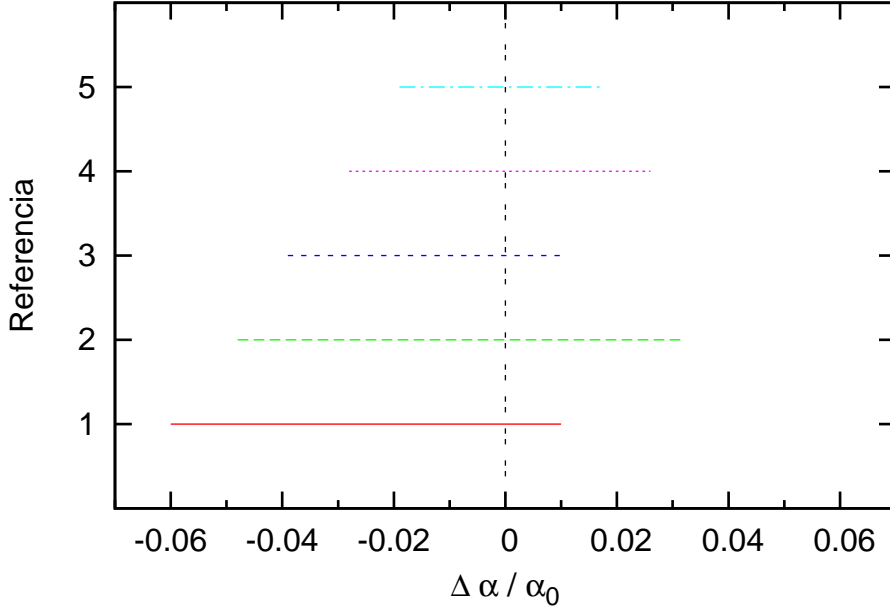


Figura 3.8: Comparación de las cotas existentes para la variación de α entre la recombinación y la época actual. La línea vertical indica variación nula. Referencias: 1). Martins et al. 2002, Rocha et al. 2003 – 2). Ichikawa et al. 2006 – 3). Stefanescu. 2007 – 4). Nakashima et al. 2008. – 5). Resultado de esta tesis (Ec. (3.23)).

análisis de cómo afecta al espectro de potencias de las anisotropías de CMB un valor distinto de la masa del electrón, y estiman la sensibilidad de los experimentos a la variación de m_e , pero no se llevan a cabo estudios estadísticos. En Yoo & Scherrer (2003) se realiza un estudio de los límites que imponen los datos de nucleosíntesis primordial y CMB sobre la variación del valor medio de vacío del campo Higgs (que, como mencionamos en la Introducción, durante la recombinación sólo afecta a la masa del electrón). Estos autores utilizan datos de VSA, BOOMERANG, DASI, MAXIMA y CBI, todos previos a WMAP. Presentan gráficos con los contornos de probabilidad, y mencionan que las cotas obtenidas con CMB son más débiles que las obtenidas con los datos de BBN, pero no publican explícitamente los valores que obtienen.

En esta tesis se presenta la única cota que existe en la literatura para la variación de la masa del electrón encontrada a partir de datos del fondo cósmico de radiación. En los análisis estadísticos que realizamos para este estudio, nuevamente hemos utilizado los datos de CMB, el prior de HST y el espectro de potencias del 2dFGRS para poner cotas a los parámetros cosmológicos y al valor de la masa del electrón cuando se permite variar esta última durante la época de recombinación. A continuación detallamos los resultados.

Para el análisis utilizando todos los datos de CMB, incluyendo los datos de WMAP3, obtuvimos el siguiente intervalo de confianza de 95 %

$$-0,154 < \Delta m_e / (m_e)_0 < 0,091 \quad (3.24)$$

aunque la degeneración entre m_e y H_0 es tan grande que las cotas no resultan confiables, ya que las cadenas llegan a los extremos del prior plano para H_0 ($40 < H_0 < 100$). Al agregar a este conjunto de datos el prior para H_0 del HST Key Project obtenido a partir de objetos cercanos, se rompe la fuerte degeneración, y se obtiene un intervalo más estricto. El intervalo de confianza del 95 % es

$$-0,104 < \Delta m_e / (m_e)_0 < 0,060. \quad (3.25)$$

En este caso, las cadenas fueron cortadas cuando el valor del estimador de convergencia fue $R - 1 = 0,029$.

Cuando realizamos el análisis utilizando los mismos datos de CMB, es decir incluyendo WMAP3, más el espectro $P(k)$ del 2dFGRS, obtenemos cotas consistentes, aunque más estrictas:

$$-0,093 < \Delta m_e / (m_e)_0 < 0,040. \quad (3.26)$$

Esto muestra también la consistencia del análisis. En las Figs. (3.9) y (3.10) se muestra cómo los contornos se hacen más pequeños cuando se agrega los datos del 2dFGRS al análisis que cuando se agrega el prior para H_0 . En este caso, las cadenas se cortaron cuando se alcanzó el valor $R - 1 < 0,0044$. Los resultados se muestran en la Tabla (3.3).

Finalmente, realizamos el ajuste con los datos de WMAP5 y 2dFGRS. Las cadenas se cortaron cuando $R - 1 = 0,0169$. En este caso, el intervalo de confianza del 95 % es

$$-0,071 < \Delta m_e / (m_e)_0 < 0,053. \quad (3.27)$$

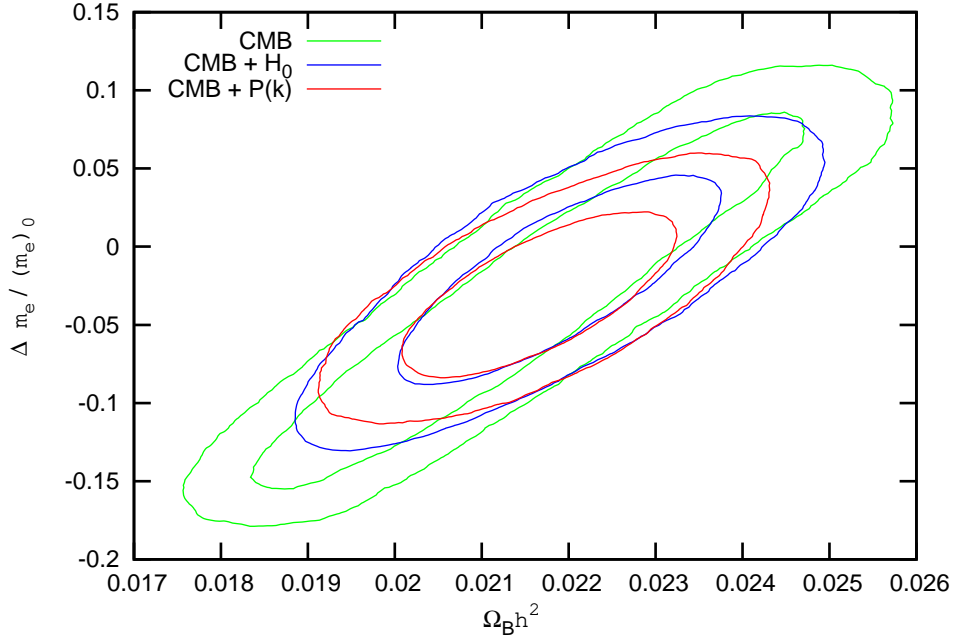


Figura 3.9: Contornos de confianza del 68 % y 95 % para los parámetros $\Delta m_e / (m_e)_0$ y $\Omega_b h^2$ obtenidos con datos de WMAP3, con datos de WMAP3 más el espectro de potencias $P(k)$ del 2dFGRS, y con WMAP3 y el prior para H_0 calculado a partir de objetos cercanos, para el análisis con variación de m_e .

En la Fig. (3.11) se muestran las distribuciones a posteriori marginalizadas, para el caso de variación de m_e obtenidas con los datos de CMB, incluyendo los datos de WMAP5 y el espectro de potencias del 2dFGRS. En la diagonal se muestran las distribuciones a posteriori para los parámetros individuales. Los otros paneles muestran los contornos 2D para pares de parámetros, marginalizando sobre los demás. En dicha figura se puede ver una fuerte degeneración entre m_e y Θ , y también entre m_e y $\Omega_b h^2$, y entre m_e y $\Omega_{CDM} h^2$. En el caso de utilizar los datos de WMAP3, en lugar de WMAP5, se observan las mismas degeneraciones, sólo que en el último caso, los ajustes son más precisos.

Los resultados de los ajustes, con WMAP3 y WMAP5, para los parámetros cosmológicos y $\Delta m_e / (m_e)_0$ se muestran en la Tabla (3.3). Comparando

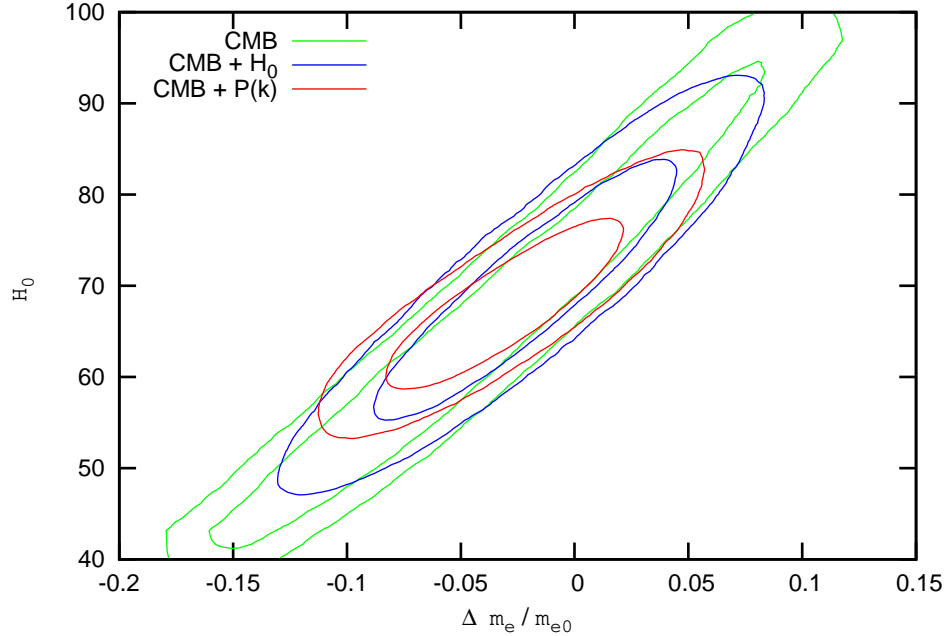


Figura 3.10: Contornos de confianza del 68% y 95% para los parámetros $\Delta m_e / (m_e)_0$ y H_0 obtenidos con datos de WMAP3, con y sin datos del espectro de potencias del 2dFGRS, para el análisis con variación de m_e .

con los valores de los parámetros en el caso canónico, se observa que el valor de $\Omega_b h^2$ es menor cuando se permite que m_e varíe, para ambos conjuntos de datos. Por otra parte, para el ajuste con WMAP3, el valor preferido para H_0 es menor cuando m_e varía que en el caso canónico.

En la Fig. (3.12) se compara cómo cambia la distribución de densidad de probabilidad para el parámetro $\Delta m_e / (m_e)_0$ cuando se consideran los datos de WMAP3 y los de WMAP5. En ambos casos, también se utilizaron los datos del espectro de potencias del 2dFGRS.

3.3.3. Variación conjunta de α y m_e

Para poner cotas a la variación conjunta de α y m_e durante la recombinación, al conjunto de parámetros (3.18) le agregamos las variables $\Delta\alpha/\alpha_0$ y $\Delta m_e / (m_e)_0$.

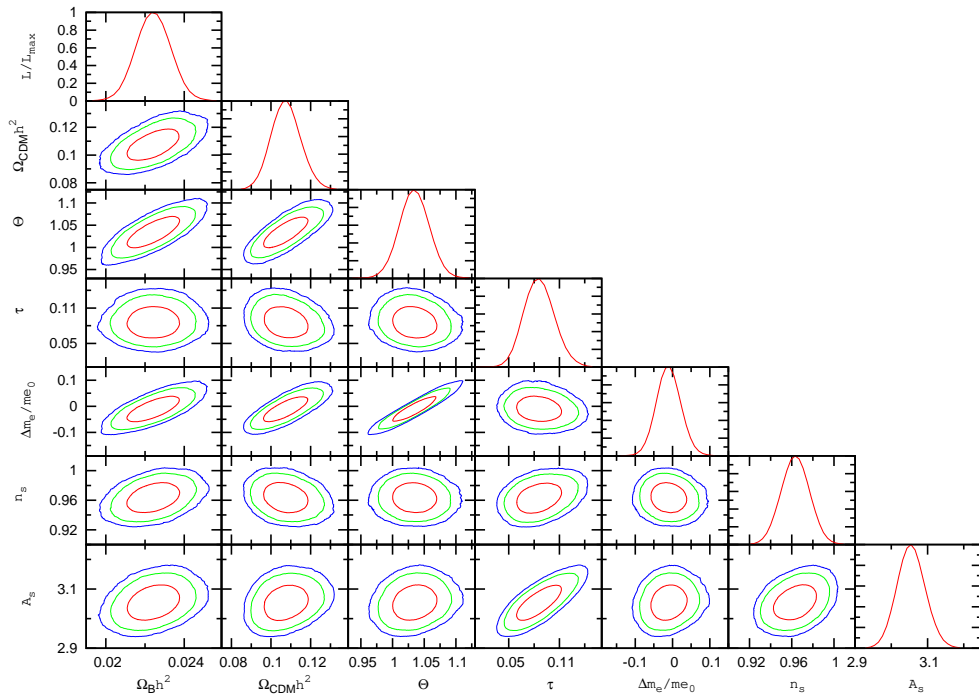


Figura 3.11: Distribuciones a posteriori marginalizadas, para el caso de variación de m_e obtenidas con los datos de CMB, incluyendo los datos de WMAP5 y el espectro de potencias del 2dFGRS. En la diagonal se muestran las distribuciones de densidad de probabilidad a posteriori para los parámetros individuales indicados en el eje x . Estas distribuciones están marginalizadas sobre los otros parámetros y normalizadas a 1 en el máximo. Los otros paneles muestran los contornos de confianza para pares de parámetros. Los contornos representan 68 %, 95 % y 99 % de confiabilidad, desde el más interno al más externo, respectivamente. Análisis estadístico con variación de m_e .

Parámetro	WMAP3 + $P(k)$	WMAP5 + $P(k)$
$\Omega_b h^2$	$0,0217 \pm 0,0010$	$0,0224 \pm 0,0008$
$\Omega_{CDM} h^2$	$0,101 \pm 0,009$	$0,108 \pm 0,007$
Θ	$1,020 \pm 0,025$	$1,034 \pm 0,022$
τ_{re}	$0,091^{+0,013}_{-0,014}$	$0,086^{+0,007}_{-0,008}$
$\Delta m_e / (m_e)_0$	$-0,029 \pm 0,034$	$-0,010 \pm 0,030$
n_s	$0,960 \pm 0,015$	$0,963 \pm 0,013$
$\log(10^{10} A_s)$	$3,020 \pm 0,064$	$3,055 \pm 0,037$
H_0	$68,1^{+5,9}_{-6,0}$	$70,6 \pm 5,8$

Tabla 3.3: Valores medios y errores a 1σ para los parámetros incluyendo la variación de m_e , para el análisis con WMAP3 y el análisis con WMAP5. Las unidades de H_0 son $\text{km s}^{-1} \text{Mpc}^{-1}$.

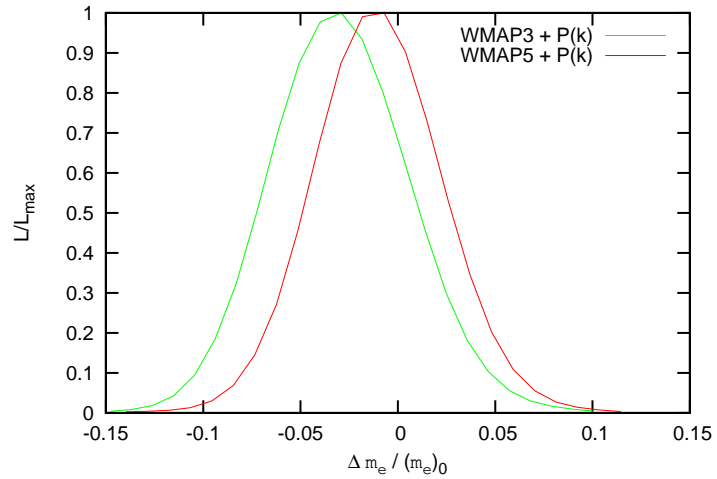


Figura 3.12: Distribución a posteriori unidimensional para $\Delta m_e / (m_e)_0$, comparando los ajustes con WMAP3 y WMAP5. Análisis con variación sólo de m_e .

El único trabajo en la literatura que presentaba cotas para la variación conjunta de α y m_e usando datos de CMB es el de Ichikawa et al. (2006). En dicho trabajo se propone una relación funcional para las variaciones de α y m_e que estaría motivada en la teoría de cuerdas. Los resultados que presentan son los límites sobre la variación temporal de la constante de estructura fina α utilizando los datos de WMAP1 y el prior gaussiano para H_0 dado por el HST Key Project. Como no se conoce la relación entre las variaciones porque la teoría está en construcción, suponen que m_e varía con una ley de potencias de α . A partir de la acción a bajas energías derivada de la Teoría de cuerdas heterótica en el marco de Einstein, derivan la relación

$$\frac{m_e + \Delta m_e}{(m_e)_0} = \left(\frac{\alpha + \Delta\alpha}{\alpha} \right)^{1/2}. \quad (3.28)$$

También consideran otras posibilidades, fenomenológicamente, pero con forma de ley de potencias:

$$\frac{m_e + \Delta m_e}{(m_e)_0} = \left(\frac{\alpha + \Delta\alpha}{\alpha} \right)^p \quad (3.29)$$

con $p = 0, 2, 4$. Notar que el caso $p = 0$ corresponde a variación sólo de α . La cota que obtienen en este caso fue comparada en la sección 3.3.1.

El método estadístico que utilizan es el cálculo del mínimo del χ^2 como función de α . Para minimizar sobre los otros parámetros cosmológicos, utilizan iterativamente el método de Brent, de la interpolación sucesiva por parábolas. La cota que obtienen es

- $-0,097 < \Delta\alpha/\alpha < 0,034$ al 95 % usando sólo los datos de WMAP1, y
- $-0,042 < \Delta\alpha/\alpha < 0,026$ al combinar estos datos con la cota para H_0 que se obtiene del HST Key Project.

En esta tesis se realizó el único análisis que hay en la literatura sobre la variación conjunta de α y m_e , permitiendo que las mismas sean independientes. Parte de estos resultados están publicados en Landau et al. (2008). Se utilizaron datos actualizados de CMB, y en distintos estudios se combinó esta información con el prior para H_0 calculado a partir de los objetos más cercanos, y con el espectro de potencias $P(k)$ del catálogo 2dFGRS. Nuestros límites no pueden ser comparados con los de Ichikawa et al. (2006) dado que

estos autores realizan el ajuste fijando una relación determinada entre las variaciones de ambas constantes. Los resultados se detallan a continuación.

En el análisis estadístico que realizamos con los datos de CMB incluyendo WMAP3, encontramos los siguientes intervalos de 95 % de confianza

$$-0,077 < \Delta\alpha/\alpha_0 < 0,024 \quad -0,135 < \Delta m_e/(m_e)_0 < 0,237 \quad (3.30)$$

y al combinar estos datos con el prior para H_0 calculado a partir del HST con objetos cercanos, los intervalos son

$$-0,078 < \Delta\alpha/\alpha_0 < 0,023 \quad -0,096 < \Delta m_e/(m_e)_0 < 0,215. \quad (3.31)$$

Vemos que no se modifican demasiado los intervalos de confianza al agregar el prior para H_0 .

En el análisis con los datos de WMAP3 más el $P(k)$ del catálogo 2dFGRS, cortamos las cadenas cuando $R - 1 < 0,015$. Los intervalos del 95 % de confianza en este caso son

$$-0,068 < \Delta\alpha/\alpha_0 < 0,031 \quad -0,116 < \Delta m_e/(m_e)_0 < 0,198. \quad (3.32)$$

Los resultados se muestran en la Tabla (3.4). Los valores de los parámetros cosmológicos son similares a aquellos obtenidos considerando la variación de una sola constante a la vez (Mosquera et al. 2008; Scóccola et al. 2008b). Además, los resultados son consistentes dentro de 1σ con variación nula de α y m_e durante la recombinación.

En las Fig. (3.13) y (3.14) comparamos las degeneraciones que existen entre diferentes parámetros cosmológicos y las constantes fundamentales cuando una o ambas constantes pueden variar. En ambos casos, la región permitida en el espacio de parámetros es mayor cuando las dos constantes pueden variar. Esto es esperable dado que en ese caso, la dimensión del espacio de parámetros es mayor y por lo tanto, las incertezas en los parámetros son mayores. Las correlaciones de $\frac{\Delta\alpha}{\alpha_0}$ con los otros parámetros cosmológicos cambia el signo cuando se permite variar también m_e . Por el contrario, las correlaciones de $\frac{\Delta m_e}{(m_e)_0}$ con los parámetros cosmológicos no cambian el signo cuando se permite también variar α .

Cuando sólo se permite variar una constante fundamental, la correlación entre esa constante y cualquier parámetro cosmológico particular tiene el mismo signo, sin importar si la constante es α o m_e . Esto puede ser entendido sobre la base de que ambas constantes entran en las mismas cantidades físicas.

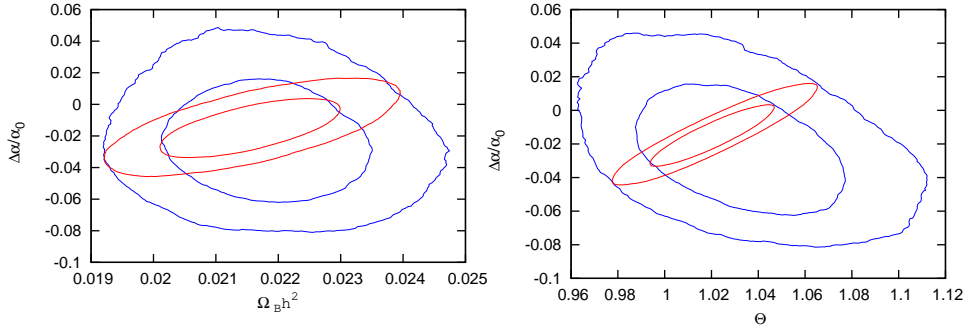


Figura 3.13: Contornos de confianza a 1σ y 2σ . Línea azul: variación de α y m_e ; línea roja: Sólo variación de α . Los parámetros cosmológicos son libres de variar en ambos casos.

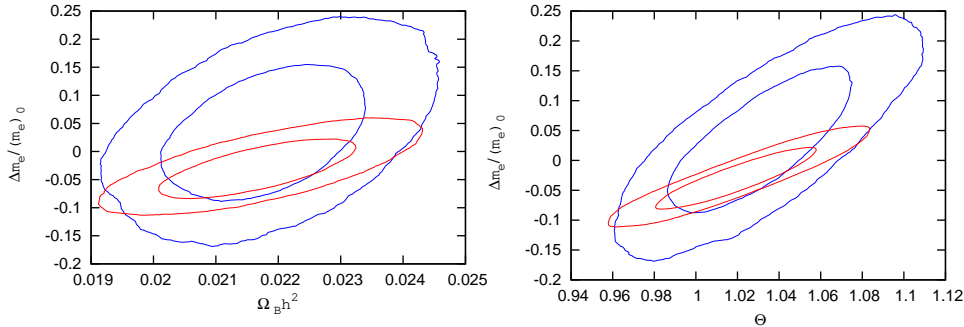


Figura 3.14: Contornos de confianza a 1σ y 2σ . Línea azul: variación de α y m_e ; línea roja: Sólo variación de m_e . Los parámetros cosmológicos son libres de variar en ambos casos.

Sin embargo, dado que la forma funcional de la dependencia es diferente, los valores medios del mejor ajuste para las variaciones temporales de las constantes fundamentales son diferentes y la distribución de probabilidad es más extendida en un caso que en el otro. De todas maneras, en los casos en que se permite variar sólo una constante, ésta prefiere un valor más bajo que el valor actual.

Finalmente, realizamos el ajuste con los datos de WMAP5 y 2dFGRS. Las cadenas se cortaron cuando $R - 1 = 0,018$. Los resultados se muestran en la Tabla (3.4) y en la Fig. (3.15). En este caso, los intervalos de confianza

Parámetro	wmap5	wmap3
$\Omega_b h^2$	$0,0224 \pm 0,0009$	$0,0218 \pm 0,0010$
$\Omega_{CDM} h^2$	$0,107 \pm 0,008$	$0,106 \pm 0,011$
Θ	$1,033^{+0,024}_{-0,023}$	$1,033^{+0,028}_{-0,029}$
τ	$0,086 \pm 0,008$	$0,090 \pm 0,014$
$\Delta\alpha/\alpha_0$	$0,003 \pm 0,015$	$-0,023 \pm 0,025$
$\Delta m_e/(m_e)_0$	$-0,017 \pm 0,051$	$0,036 \pm 0,078$
n_s	$0,963 \pm 0,015$	$0,970 \pm 0,019$
A_s	$3,052 \pm 0,043$	$3,054 \pm 0,073$
H_0	$70,3^{+6,1}_{-6,0}$	$70,4^{+6,6}_{-6,8}$

Tabla 3.4: Valores medios y errores a 1σ para los parámetros, incluyendo variación de α y m_e . Comparación de resultados entre los análisis con WMAP3 y WMAP5.

del 95 % son

$$-0,026 < \Delta\alpha/\alpha_0 < 0,036 \quad -0,115 < \Delta m_e/(m_e)_0 < 0,086. \quad (3.33)$$

Son notables las fuertes degeneraciones que existen entre $\frac{\Delta m_e}{(m_e)_0}$ y $\Omega_{CDM} h^2$, $\frac{\Delta m_e}{(m_e)_0}$ y Θ , $\frac{\Delta\alpha}{\alpha_0}$ y n_s , y finalmente entre $\frac{\Delta\alpha}{\alpha_0}$ y $\frac{\Delta m_e}{(m_e)_0}$. Los valores obtenidos para $\Omega_b h^2$, h , $\Omega_{CDM} h^2$, τ_{re} , y n_s concuerdan, a 1σ , con aquellos del equipo de WMAP (Spergel et al. 2007), donde no se considera variación de α ni m_e . Los resultados para los valores de los parámetros cosmológicos son similares a aquellos obtenidos considerando la variación de una sola constante a la vez. Los resultados son consistentes dentro de 1σ con variación nula de α y m_e durante la recombinación.

Al comparar los contornos de las distribuciones marginalizadas para $\Delta\alpha/\alpha_0$ versus $\Delta m_e/(m_e)_0$, que se obtienen de los análisis con los datos de WMAP3 y WMAP5, se distingue que los contornos no sólo se hacen más pequeños para los nuevos datos, sino que también cambian los valores medios de los parámetros (ver Fig. (3.16)). Los valores medios de $\Delta\alpha/\alpha_0$ y de $\Delta m_e/(m_e)_0$ cambian de signo, como puede verse en la Tabla (3.4).

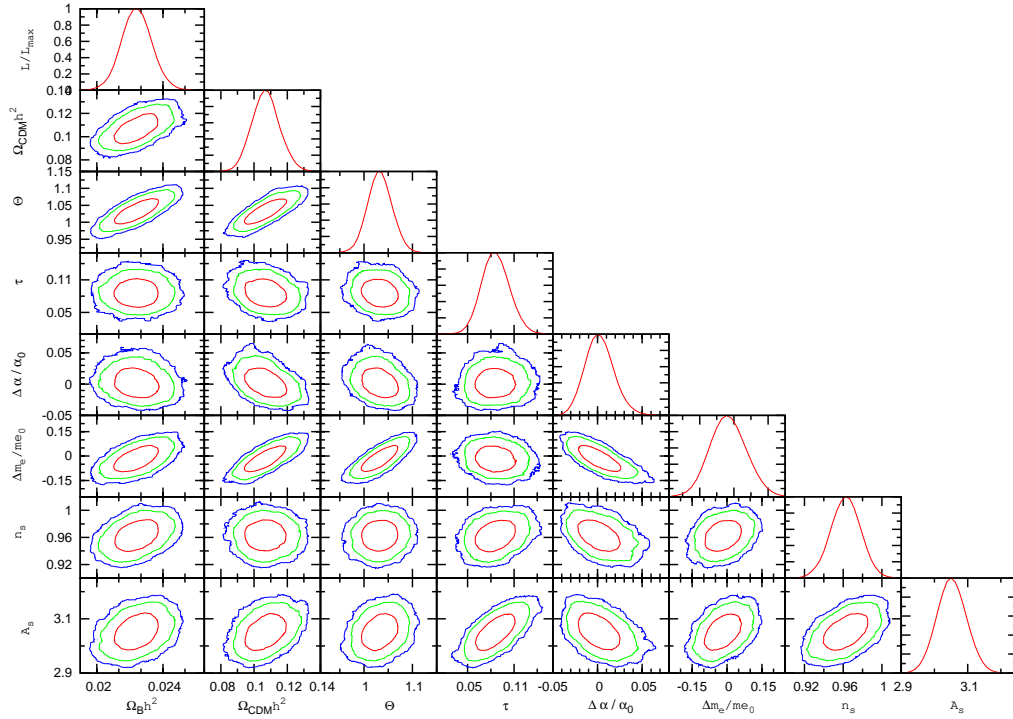


Figura 3.15: Distribuciones a posteriori marginalizadas, para el caso de variación de α y m_e obtenidas con los datos de CMB, incluyendo los datos de WMAP5 y el espectro de potencias del 2dFGRS. En la diagonal se muestran las distribuciones de densidad de probabilidad a posteriori para los parámetros individuales indicados en el eje x . Estas distribuciones están marginalizadas sobre los otros parámetros y normalizadas a 1 en el máximo. Los otros paneles muestran los contornos de confianza para pares de parámetros. Los contornos representan 68 %, 95 % y 99 % de confiabilidad, desde el más interno al más externo, respectivamente. Análisis estadístico con con variación conjunta de α y m_e .

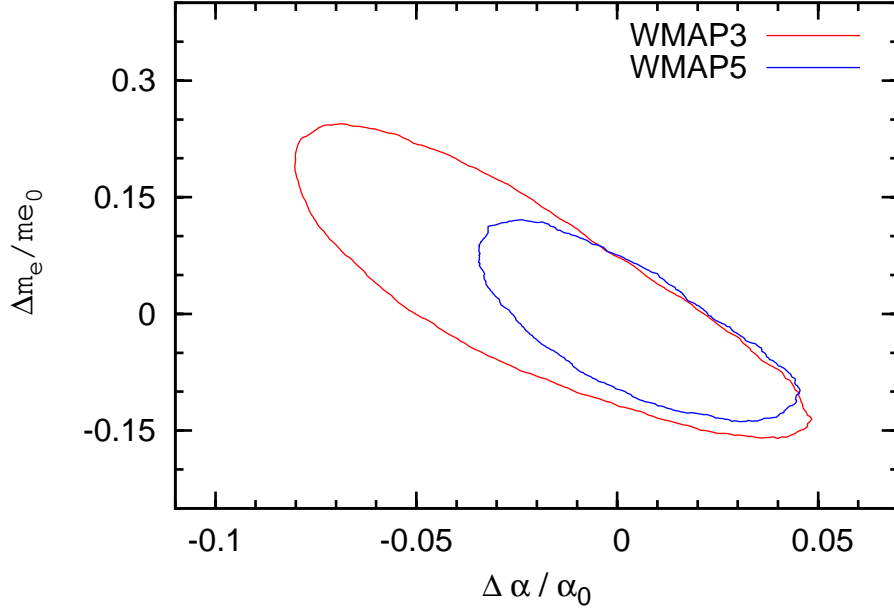


Figura 3.16: Contornos de confianza del 95%, para los parámetros $\Delta\alpha/\alpha_0$ y $\Delta m_e/(m_e)_0$, correspondientes a los ajustes realizados con WMAP3 y con WMAP5.

3.4. Comparación entre escenarios de recombinación

Dado que los datos del fondo cósmico de radiación son cada vez más precisos, es necesario tener en cuenta fenómenos cada vez más sutiles que puedan afectar el escenario de recombinación. En el año 2008, la recombinación del helio fue estudiada con sumo cuidado, como se explicó en el Cap. 2. En esta tesis hicimos un análisis detallado de cómo entran las constantes fundamentales en la recombinación del helio, y modificamos la versión actualizada del código de evolución RECFast para introducir dichas dependencias. En esta sección mostramos cuales son las cotas para la variación de α y m_e cuando se tiene en cuenta la recombinación detallada del helio, y comparamos con las cotas obtenidas en la sección anterior, en la cual se consideró el escenario estándar de la recombinación, descrito en Seager et al. (2000). Los

Análisis	$\Delta\alpha/\alpha_0$	$\Delta m_e/(m_e)_0$
Variación conjunta - PS	$0,003 \pm 0,015$	$-0,017 \pm 0,051$
Variación conjunta - NS	$0,004 \pm 0,015$	$-0,019 \pm 0,049$
99999Variación α - PS	$-0,002 \pm 0,009$	—
Variación α - NS	$-0,001 \pm 0,009$	—
Variación m_e - PS	—	$-0,010 \pm 0,030$
Variación m_e - NS	—	$-0,010^{+0,031}_{-0,030}$

Tabla 3.5: Cotas para la variación de las constantes en distintos escenarios de recombinación. NS significa el nuevo escenario de recombinación, y PS significa el escenario estándar. Se presentan los resultados para todos los análisis.

resultados de este análisis están publicados en Scóccola et al. (2008a).

Realizamos el análisis estadístico teniendo en cuenta la posible variación de α , de m_e , y de α y m_e simultáneamente, en la época de la recombinación en el escenario descrito en la Sec. 2.1. Para este análisis utilizamos los datos de CMB incluyendo WMAP5, y el espectro de potencias $P(k)$ del 2dFGRS.

Exploramos el espacio de parámetros con 8 cadenas de Markov, y seguimos el criterio de convergencia de Raftery & Lewis (1992) para detener las cadenas cuando $R-1 < 0,0180$. Las cotas sobre los parámetros no se ven mayormente afectadas cuando se cambia el escenario de recombinación, como puede verse en la Tabla (3.5). Los valores de los parámetros cosmológicos prácticamente no cambian entre este ajuste y el realizado teniendo en cuenta el escenario estándar.

En la Fig. (3.17), comparamos la distribución de probabilidad para $\Delta\alpha/\alpha_0$ en diferentes escenarios. En la Fig. (3.18), hacemos lo mismo para $\Delta m_e/(m_e)_0$. Puede verse que la diferencia es despreciable.

En la Fig. (3.19) mostramos cómo una variación en el valor de α en la época de recombinación afecta la historia de ionización, moviendo el redshift al cual ocurre la recombinación a tiempos anteriores para mayores valores de α . La diferencia entre las funciones cuando se consideran los dos escenarios de recombinación, para un dado valor de α , es menor que la diferencia que existe cuando se cambia el valor de α . Algo similar ocurre cuando se varía m_e .

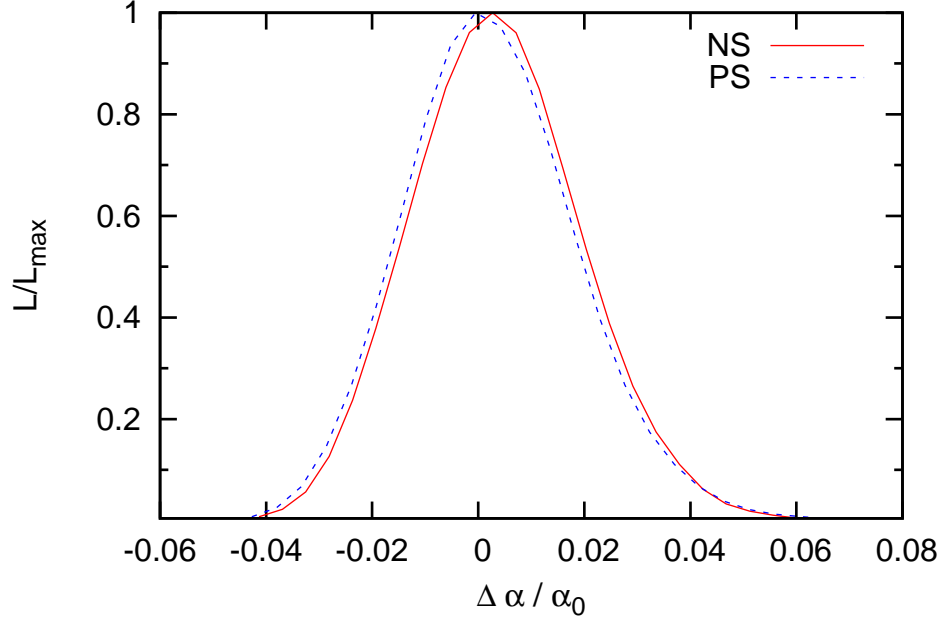


Figura 3.17: Likelihood unidimensional para $\frac{\Delta\alpha}{\alpha_0}$ para dos escenarios de recombinación diferentes.

3.5. Relación fenomenológica

Como mencionamos en la Introducción, el ajuste de la variación conjunta de α y m_e se ha realizado en esta tesis de manera totalmente independiente de cualquier modelo que relacione dichas variaciones. Por lo tanto, la correlación encontrada entre las variaciones de estas constantes nos permite estimar una relación fenomenológica entre ambas. A partir del contorno de confiabilidad para $\Delta\alpha/\alpha_0$ y $\Delta m_e/(m_e)_0$ del ajuste más actualizado (es decir, el conjunto de datos que incluye WMAP5), se puede estimar una relación entre las variaciones de α y m_e entre la época de recombinación y la actualidad.

Una manera de hacerlo es proponer una relación lineal del tipo

$$\frac{\Delta m_e}{(m_e)_0} = a_{CMB} \frac{\Delta\alpha}{\alpha_0} + b_{CMB} \quad (3.34)$$

y buscar valores apropiados para a_{CMB} y b_{CMB} .

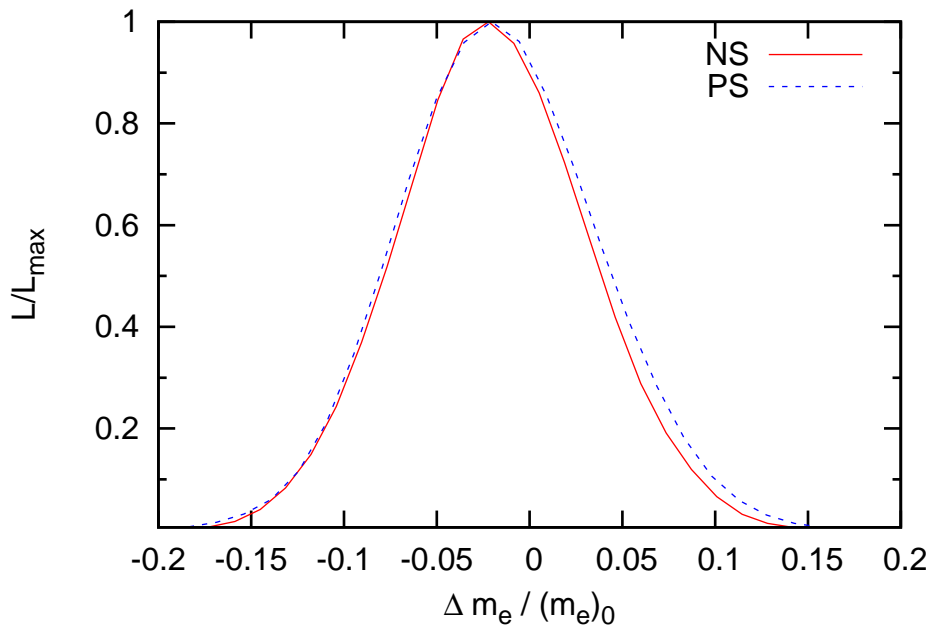


Figura 3.18: Likelihood unidimensional para $\frac{\Delta m_e}{(m_e)_0}$ para dos escenarios de recombinación diferentes.

Para encontrar estos coeficientes podemos hacer una regresión ortogonal, que consiste en ajustar una elipse al contorno 2D de la Likelihood marginalizada sobre todos los parámetros excepto $\Delta\alpha/\alpha_0$ y $\Delta m_e/(m_e)_0$, y la relación entre ambas variaciones estará dada por el semieje mayor de la recta.

La ecuación de una elipse rotada un ángulo ϕ respecto de los ejes (x', y') (cuyo origen se encuentra en el punto (a_1, a_2) del sistema (x, y)) es

$$C_1(x - a_1)^2 + C_2(y - a_2)^2 + C_3(x - a_1)(y - a_2) = 1 \quad (3.35)$$

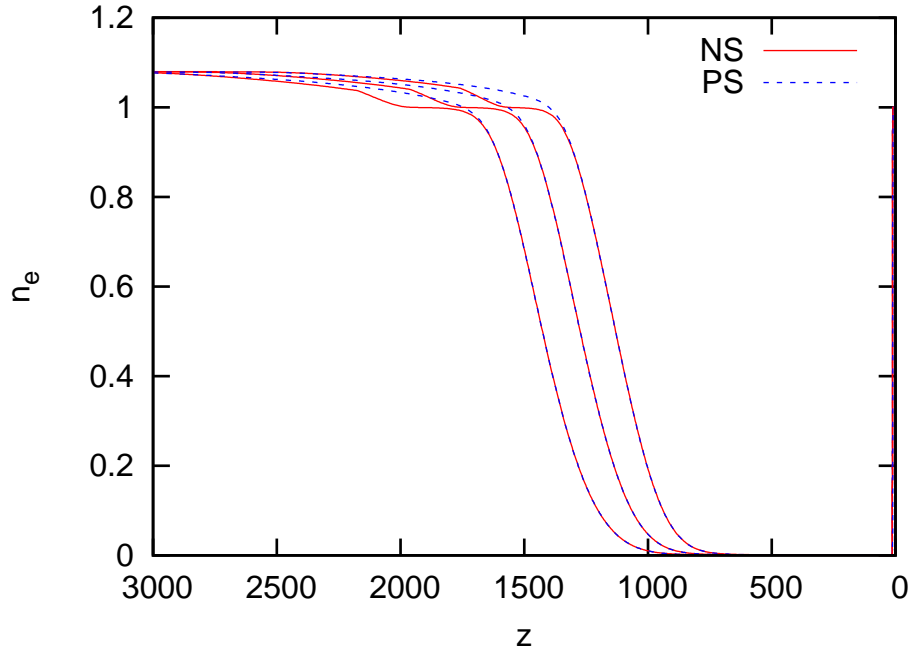


Figura 3.19: Historia de ionización permitiendo que varíe α con el tiempo. De izquierda a derecha, los valores de α/α_0 son 1.05, 1.00, y 0.95, respectivamente. Las líneas azules (rayas) corresponden al escenario de recombinación estándar, y las líneas rojas (sólidas), corresponden al escenario actualizado.

donde

$$\begin{aligned}
 C_1 &= \left(\frac{1}{(1+\theta^2)a^2} + \frac{\theta^2}{(1+\theta^2)b^2} \right) \\
 C_2 &= \left(\frac{\theta^2}{(1+\theta^2)a^2} + \frac{1}{(1+\theta^2)b^2} \right) \\
 C_3 &= -2 \left(\frac{1}{b^2} - \frac{1}{a^2} \right) \frac{\theta}{1+\theta^2}
 \end{aligned} \tag{3.36}$$

y $\theta = \tan(\phi)$. Ajustando el contorno de confiabilidad a una elipse, encontramos valores para los parámetros de la misma, es decir, para a , b , θ , a_1 , y a_2 . Luego, dado que la recta que coincide con el semieje mayor de la elipse tiene la ecuación

$$y = \theta(x - a_1) + a_2 = \theta x + (a_2 - \theta a_1) \tag{3.37}$$

podemos encontrar los valores a_{CMB} y b_{CMB} y sus errores, los cuales calculamos haciendo

$$\sigma_{a_{CMB}} = \sigma_\theta \quad (3.38)$$

$$\sigma_{b_{CMB}} = \sigma_{a_2} - a_1\sigma_\theta - \theta\sigma_{a_1} \quad (3.39)$$

Encontramos que $a_{CMB} = -4,2^{+0,27}_{-0,45}$ y $b_{CMB} = -0,007^{+0,01}_{-0,03}$. Es decir, la relación entre las variaciones de α y m_e es

$$\frac{\Delta m_e}{(m_e)_0} = -4,2 \frac{\Delta \alpha}{\alpha_0} - 0,007. \quad (3.40)$$

Otra manera de encontrar una relación entre $\Delta\alpha/\alpha_0$ y $\Delta m_e/(m_e)_0$ es a través de la regresión mínimo cuadrática. En este método, dada la distribución conjunta de dos variables aleatorias X e Y , que puede expresarse como una distribución de “masa” en el plano (X, Y) , se determina una recta en el plano con la condición de que dicha recta proporcione el mejor ajuste posible a la masa de la distribución. Se puede demostrar (Cramér 1972) que la recta tiene la expresión

$$\frac{y - a_2}{\sigma_2} = \rho \frac{x - a_1}{\sigma_1} \quad (3.41)$$

es decir

$$y = a_2 + \frac{\rho\sigma_2}{\sigma_1}(x - a_1) = \frac{\rho\sigma_2}{\sigma_1}x + \left(a_2 - \frac{\rho\sigma_2}{\sigma_1}a_1\right). \quad (3.42)$$

Para encontrar los valores de ρ , σ_1 , y σ_2 , consideramos que para una distribución normal de 2 variables, la matriz de covarianza es C , tal que sus elementos son

$$\begin{aligned} c_{11} &= \sigma_1^2 & c_{12} &= \text{cov}(x_1, x_2) \\ c_{21} &= \text{cov}(x_1, x_2) & c_{22} &= \sigma_2^2 \end{aligned} \quad (3.43)$$

Sea $\rho = \text{cov}(x_1, x_2)/(\sigma_1\sigma_2)$. Cuando se calculan las líneas de probabilidad constante (es decir, los contornos de probabilidad), se llega a la ecuación de una elipse (centrada en a_1 y a_2):

$$\frac{(x_1 - a_1)^2}{\sigma_1^2} - 2\rho \frac{x_1 - a_1}{\sigma_1} \frac{x_2 - a_2}{\sigma_2} + \frac{(x_2 - a_2)^2}{\sigma_2^2} = 1 - \rho^2 \quad (3.44)$$

o lo que es lo mismo:

$$\frac{(x_1 - a_1)^2}{\sigma_1^2 (1 - \rho^2)} - 2 \frac{\rho}{(1 - \rho^2)} \frac{x_1 - a_1}{\sigma_1} \frac{x_2 - a_2}{\sigma_2} + \frac{(x_2 - a_2)^2}{\sigma_2^2 (1 - \rho^2)} = 1 \quad (3.45)$$

de donde vemos que

$$\begin{aligned} C_1 &= \frac{1}{\sigma_1^2 (1 - \rho^2)} \\ C_2 &= \frac{1}{\sigma_2^2 (1 - \rho^2)} \\ C_3 &= -2 \frac{\rho}{\sqrt{C_1 C_2}} \end{aligned} \quad (3.46)$$

Por lo tanto,

$$\rho = -\frac{C_3}{2\sqrt{C_1 C_2}} \quad (3.47)$$

Luego, con el valor de C_1 obtenemos σ_1 , y con el valor de C_2 obtenemos σ_2 . Con estos valores y los valores medios a_1 y a_2 del ajuste anterior, de la Ec. (3.42) encontramos la recta de regresión

$$\frac{\Delta m_e}{(m_e)_0} = -2,57 \frac{\Delta \alpha}{\alpha_0} - 0,01. \quad (3.48)$$

Esta relación es diferente de la relación encontrada en Ec. (3.40). Sin embargo, el signo de la pendiente es negativo en ambos casos, debido a que $\Delta m_e/(m_e)_0$ y $\Delta \alpha/\alpha_0$ están anticorrelacionadas. La relación propuesta por Ichikawa et al. (2006), y con la cual hicieron los ajustes es

$$\frac{\Delta m_e}{(m_e)_0} = p \frac{\Delta \alpha}{\alpha_0} \quad (3.49)$$

con p fijo. Encuentran buenos ajustes para $p = 0, 1/2, 2, 4$. Todos estos valores son positivos, y aquí se ha mostrado que, para el mejor ajuste de los datos (cuando se deja $\Delta \alpha/\alpha_0$ y $\Delta m_e/(m_e)_0$ como parámetros libres), la correlación entre las variaciones es negativa, es decir, p debería ser negativo. Por lo tanto, concluimos que la propuesta de Ichikawa et al. (2006) debería ser descartada.

Capítulo 4

Modelo de Barrow & Magueijo

Como hemos discutimos en la Introducción, la variación de las constantes fundamentales es una predicción de teorías que intentan unificar las fuerzas de la naturaleza. En el límite de bajas energías, éstas pueden ser interpretadas como teorías efectivas. Por otra parte, existen varios modelos fenomenológicos que, a partir de unas pocas hipótesis generales, describen la variación de ciertas constantes fundamentales. A su vez, estos modelos pueden ser límites a bajas energías de teorías más generales. Entre ellos se encuentra el modelo de Barrow & Magueijo (2005), que describe la evolución de la masa del electrón. Si bien, en algunos modelos, la variación de la masa del electrón aparece vinculada a la variación de la constante de estructura fina, no es necesario que sus variaciones estén relacionadas, y dichos autores consideraron oportuno estudiar las consecuencias cosmológicas de un modelo simple de variación de la masa del electrón, independientemente del comportamiento de α .

Aquí deduciremos soluciones analíticas aproximadas más precisas que las de Barrow & Magueijo (2005). En la Sección 4.1 resolvemos en forma más rigurosa la ecuación de Friedmann para el factor de escala, y luego mantenemos todas las constantes de integración en la resolución de la ecuación diferencial para el campo escalar. Se obtienen así soluciones detalladas para la variación de la masa del electrón como función del tiempo, que se muestran en la Sección 4.2. Finalmente, los parámetros del modelo serán acotados utilizando datos.

Las diferentes observaciones astronómicas y geofísicas que se pueden utilizar para poner cotas a la variación de la masa del electrón, corresponden a distintas épocas en la historia del Universo. Esto las hace realmente útiles para testear modelos que predigan un comportamiento temporal determinado.

En esta tesis se consideran distintas observaciones, las cuales se describen en la Sección 4.3, y se encuentran cotas a los parámetros del modelo de Barrow & Magueijo utilizando estas observaciones a distintos tiempos, en la Sección 4.4.

Luego, en la Sección 4.5 obtenemos límites adicionales para estos parámetros, a partir de las cotas existentes para la validez del Principio de Equivalencia Débil, que se obtienen de experimentos tipo Eötvös. Comparando con las cotas obtenidas a partir de resultados cosmológicos, se llega a la conclusión de que el modelo debe ser descartado. El tratamiento desarrollado en este Capítulo fue publicado en Scóccola et al. (2008b).

4.1. El formalismo

La densidad lagrangiana del campo libre de Dirac, a partir de la cual se puede derivar la ecuación de movimiento para el electrón, es (Sakurai 1967):

$$\mathcal{L} = -c\hbar\bar{\psi}\gamma_\mu(\partial/\partial x_\mu)\psi - m_e c^2\bar{\psi}\psi. \quad (4.1)$$

Consideremos que la masa del electrón está controlada por un campo escalar “dilatónico” ϕ definido por $m_e = m_{e0} \exp[\phi]$, donde m_{e0} es el valor actual de la masa, que corresponde a $\phi = 0$ hoy. Para variaciones pequeñas de m_e , desarrollamos $\exp[\phi] = 1 + \phi$. La densidad lagrangiana total es

$$\mathcal{L} = -c\hbar\bar{\psi}\gamma_\mu(\partial/\partial x_\mu)\psi - m_{e0}c^2\bar{\psi}\psi - m_{e0}c^2\bar{\psi}\psi\phi + \frac{\omega}{2}\partial_\mu\phi\partial^\mu\phi. \quad (4.2)$$

Por lo tanto, la ecuación de movimiento del campo ϕ se obtiene de la siguiente densidad lagrangiana

$$\mathcal{L} = \mathcal{L}_{int} + \mathcal{L}_\phi \quad (4.3)$$

donde el término cinético es

$$\mathcal{L}_\phi = \frac{\omega}{2}\partial_\mu\phi\partial^\mu\phi \quad (4.4)$$

y el término de interacción entre el campo ϕ y el campo de Dirac del electrón es

$$\mathcal{L}_{int} = -m_{e0}c^2\bar{\psi}\psi\phi. \quad (4.5)$$

Este modelo tiende al modelo canónico sin variación de la masa del electrón cuando el valor del parámetro $\omega \rightarrow \infty$.

La ecuación de Euler-Lagrange a resolver es la siguiente:

$$\frac{\partial}{\partial x_\mu} \left(\frac{\partial \mathcal{L}}{\partial (\partial \phi / \partial x_\mu)} \right) - \frac{\partial \mathcal{L}}{\partial \phi} = 0. \quad (4.6)$$

Escribimos explícitamente \mathcal{L}_ϕ , teniendo en cuenta que la convención de signos para la métrica es $(+ \ - \ - \ -)$, y que ϕ es función sólo del tiempo:

$$\mathcal{L}_\phi = \frac{\omega}{2} \partial_\mu \phi \partial^\mu \phi = \frac{\omega}{2} (\partial_0 \phi \partial_0 \phi - \partial_i \phi \partial_i \phi) = \frac{\omega}{2} \left(\frac{d\phi}{dx^0} \right)^2 = \frac{\omega}{2} \frac{1}{c^2} \left(\frac{d\phi}{dt} \right)^2. \quad (4.7)$$

De aquí,

$$\frac{\partial \mathcal{L}}{\partial (\partial_0 \phi)} = \omega \frac{d\phi}{dx^0} = \frac{\omega}{c} \frac{d\phi}{dt} \quad (4.8)$$

por lo tanto

$$\partial_0 \left(\frac{\partial \mathcal{L}}{\partial (\partial_0 \phi)} \right) = \omega \frac{d^2 \phi}{d(x^0)^2} = \frac{\omega}{c^2} \frac{d^2 \phi}{dt^2}. \quad (4.9)$$

Por otra parte

$$\frac{\partial \mathcal{L}}{\partial \phi} = -m_{e0} c^2 \bar{\psi} \psi. \quad (4.10)$$

Por lo tanto, la ecuación de Euler-Lagrange queda:

$$\begin{aligned} \frac{\partial}{\partial x_\mu} \left(\frac{\partial \mathcal{L}}{\partial (\partial \phi / \partial x_\mu)} \right) - \frac{\partial \mathcal{L}}{\partial \phi} &= \partial_0 \left(\frac{\partial \mathcal{L}}{\partial (\partial_0 \phi)} \right) - \frac{\partial \mathcal{L}}{\partial \phi} \\ &= \frac{\omega}{c^2} \frac{d^2 \phi}{dt^2} + m_{e0} c^2 \bar{\psi} \psi = 0 \end{aligned} \quad (4.11)$$

que se puede reescribir como:

$$\frac{d^2 \phi}{dt^2} = -\frac{m_{e0}}{\omega} c^4 \bar{\psi} \psi. \quad (4.12)$$

Reemplazamos $\bar{\psi} \psi$ por su promedio macroscópico, que en el límite no relativista es igual a $n_e + n_p$, siendo n_e el número de electrones y n_p el número de positrones. Despreciando n_p frente a n_e , obtenemos

$$\frac{d^2\phi}{dt^2} = -\frac{m_{e0}}{\omega}c^4n_e. \quad (4.13)$$

Pasando a derivadas covariantes, $\frac{d^2\phi}{dt^2} \rightarrow \ddot{\phi} + 3\frac{\dot{a}}{a}\dot{\phi}$, por lo tanto, la ecuación queda:

$$\ddot{\phi} + 3\frac{\dot{a}}{a}\dot{\phi} = a^{-3} \left(\dot{\phi}a^3 \right)' = -\frac{m_{e0}}{\omega}c^4n_e \quad (4.14)$$

o equivalentemente

$$\left(\dot{\phi}a^3 \right)' = -\frac{m_{e0}}{\omega}c^4a^3n_e = -\frac{m_{e0}}{\omega}c^4n_{e0}. \quad (4.15)$$

donde hemos tenido en cuenta que $a^3n_e = a_0^3n_{e0}$ y $a_0 = 1$.

Integrando la Ec. (4.15) obtenemos:

$$\dot{\phi}a^3 = -Mt + A \quad (4.16)$$

con

$$M = \frac{m_{e0}n_{e0}}{\omega}c^4 = \frac{\rho_{e0}}{\omega}c^4 \quad (4.17)$$

y A una constante de integración. Esta es la ecuación que debemos resolver para el campo ϕ , teniendo en cuenta que el factor de expansión a es una función del tiempo que debemos encontrar para el modelo cosmológico considerado.

4.1.1. Contribución de ϕ a la Ecuación de Friedmann

En esta tesis se deriva una ecuación más precisa para el campo ϕ de este modelo. Para ello, comencemos considerando la ecuación de Friedmann

$$\left(\frac{\dot{a}}{a} \right)^2 + \frac{c^2k}{a^2} = \frac{8\pi G}{3c^2}\epsilon \quad (4.18)$$

donde $\epsilon = \epsilon_M + \epsilon_R + \epsilon_\Lambda$ es la densidad de energía total y $\dot{a} = da/dt$. Escribimos las densidades de materia, radiación y energía oscura (o constante cosmológica), respectivamente, en términos de sus valores actuales:

$$\epsilon_M = \epsilon_{M_0} \left(\frac{a_0}{a} \right)^3, \quad \epsilon_R = \epsilon_{R_0} \left(\frac{a_0}{a} \right)^4, \quad \epsilon_\Lambda = \epsilon_{\Lambda_0} \left(\frac{a_0}{a} \right)^0. \quad (4.19)$$

Definimos $\Omega = \rho/\rho_{\text{crit}}$ donde la densidad crítica es:

$$\rho_{\text{crit}} = \frac{3c^2 H^2}{8\pi G} \quad (4.20)$$

y $H = \dot{a}/a$ es la tasa de expansión de Hubble al tiempo t .

Sea un universo espacialmente plano ($k = 0$). Multiplicando Ec. (4.18) por H_0^{-2} , obtenemos:

$$\left(\frac{\dot{a}}{H_0 a}\right)^2 = \frac{8\pi G}{3c^2 H_0^2} \left[\epsilon_{M_0} \left(\frac{a_0}{a}\right)^3 + \epsilon_{R_0} \left(\frac{a_0}{a}\right)^4 + \epsilon_{\Lambda_0} \right]. \quad (4.21)$$

Esta ecuación puede escribirse como

$$\frac{1}{a^2} \left(\frac{da}{d\tau}\right)^2 = \frac{\Omega_{M_0}}{a^3} + \frac{\Omega_{R_0}}{a^4} + \Omega_{\Lambda_0} \quad (4.22)$$

donde hemos realizado el cambio de variables: $\tau = H_0 t$ y considerado $a_0 = 1$. Notar que τ es adimensional.

El campo ϕ tiene una densidad de energía dada por

$$\epsilon_\phi = \frac{1}{2} \omega \partial_\mu \phi \partial^\mu \phi = \frac{1}{2} \omega (\partial_0 \phi)^2 = \frac{1}{c^2} \frac{\omega}{2} \dot{\phi}^2. \quad (4.23)$$

Usando la ecuación (4.16), la podemos escribir como:

$$\epsilon_\phi = \frac{1}{c^2} \frac{\omega}{2} \frac{(-Mt + A)^2}{a^6}. \quad (4.24)$$

Esta densidad de energía contribuye como un término más en la ecuación de Friedmann, que queda

$$\frac{1}{a^2} \left(\frac{da}{d\tau}\right)^2 = \frac{\Omega_{M_0}}{a^3} + \frac{\Omega_{R_0}}{a^4} + \Omega_{\Lambda_0} + \frac{4\pi}{3} \frac{G\omega}{c^4} \frac{\left(-\frac{M}{H_0^2} \tau + \frac{A}{H_0}\right)^2}{a^6}. \quad (4.25)$$

Para tiempos muy remotos, los términos más importantes en la Ec. (4.25) son los correspondientes a la radiación y al campo ϕ . Para poder despreciar los efectos del campo ϕ en la ecuación de Friedmann, pedimos que la contribución debida a éste sea mucho menor que la contribución de la radiación, es decir:

$$\frac{4\pi}{3} \frac{G\omega}{c^4} \frac{\left(-\frac{M}{H_0^2} \tau_{el} + \frac{A}{H_0}\right)^2}{a_{el}^2} \ll \Omega_{R_0} \quad (4.26)$$

donde τ_{el} es el tiempo τ a partir del cual vale este modelo, cuando la temperatura del universo corresponde a la energía de producción de pares electrón-positrón.¹

En lo que sigue, damos una estimación del valor de τ_{el} y del factor de expansión correspondiente, a_{el} . Ambos aparecen en la condición que imponemos al hacer el ajuste de los parámetros A y M del modelo.

Régimen de validez del modelo

El modelo de Barrow & Magueijo tiene validez a partir del momento en que la temperatura del Universo tiene un valor correspondiente a la energía mínima requerida para la formación de pares electrón-positrón. En esta época, radiación y materia están en equilibrio, formando un sólo fluido, de manera tal que

$$E_\gamma = kT = 2m_e c^2 \quad (4.28)$$

donde k es la constante de Boltzmann. Entonces, la temperatura a la cual se cruza el umbral de creación de pares es

$$T_{el} = \frac{2m_e c^2}{k}. \quad (4.29)$$

Por otro lado, sabemos que la temperatura decae con la expansión de manera inversamente proporcional

$$aT = \text{cte} \Rightarrow T_{el} = \frac{a_0 T_0}{a_{el}}. \quad (4.30)$$

Podemos estimar τ_{el} a partir de la ecuación de Friedmann para la época de dominio de la radiación:

$$\frac{1}{a^2} \left(\frac{da}{d\tau} \right)^2 = \frac{\Omega_{R_0}}{a^4} \Rightarrow ada = \sqrt{\Omega_{R_0}} d\tau \Rightarrow \frac{1}{2} a^2 \Big|_{a_1}^{a_{el}} = \sqrt{\Omega_{R_0}} \tau \Big|_{\tau_1}^{\tau_{el}}. \quad (4.31)$$

¹Lo que habria que pedir es:

$$\frac{4\pi}{3} \frac{G\omega}{c^4} \frac{\left(-\frac{M}{H_0^2} \tau + \frac{A}{H_0} \right)^2}{a(\tau)^2} \ll \Omega_{R_0} \quad (4.27)$$

para todo $\tau > \tau_{el}$.

Sin embargo, el miembro izquierdo de la desigualdad es varios órdenes de magnitud menor que el miembro izquierdo de la Ec.(4.26) para los datos con los que contamos en el régimen de dominio de materia y radiación, es decir BBN y CMB.

Suponemos que $\tau_1 = 0$ y $a_1 = 0$. Entonces

$$a_{el} = \sqrt{2}\Omega_{R_0}^{1/4}\tau_{el}^{1/2} = \frac{a_0 T_0}{T_{el}} = \frac{a_0 k T_0}{2m_e c^2} = \frac{k T_0}{2m_e c^2} \quad (4.32)$$

donde hemos considerado $a_0 = 1$. De esta manera

$$\tau_{el} = H_0 t_{el} = \frac{1}{2}\Omega_{R_0}^{-1/2} \left(\frac{k T_0}{2m_e c^2} \right)^2. \quad (4.33)$$

Para obtener el valor numérico de este tiempo, tomamos los siguientes valores:

$$\begin{aligned} kT_0 &= 2,35 \times 10^{-4} \text{ eV (temperatura de CMB)} \\ 2m_e c^2 &= 1,02 \times 10^6 \text{ eV (energía para la producción de pares } e^- - e^+) \\ \Omega_{R_0} h^2 &= 2,47 \times 10^{-5} \\ h &= H_0/100 \text{ km s}^{-1} \text{ Mpc}^{-1} = 0,73 \\ H_0^{-1} &= 4,22 \times 10^{17} \text{ s} \end{aligned} \quad (4.34)$$

Esto da un valor para el tiempo cuando cesa la producción de pares $e^- - e^+$ igual a

$$t_{el} = 1,52 \times 10^{-4} \text{ s.} \quad (4.35)$$

El valor numérico de a_{el} es

$$a_{el} = 2,304 \times 10^{-10}. \quad (4.36)$$

4.2. Soluciones

Para encontrar la solución de la ecuación del campo ϕ , primero es necesario resolver la ecuación diferencial para el factor de expansión $a(t)$.

4.2.1. Solución de la Ecuación de Friedmann

Buscamos la expresión para $a(t)$ resolviendo la ecuación de Friedmann. Estudiamos dos etapas del universo:

1. régimen de dominio de materia y radiación
2. régimen de dominio de materia y constante cosmológica.

La transición ocurre cuando la contribución a la ecuación de Friedmann, tanto de la radiación como del término de constante cosmológica, son iguales. Esto sucede cuando el factor de expansión toma el valor:

$$a = \sqrt[4]{\frac{\Omega_{R_0}}{\Omega_{\Lambda_0}}}. \quad (4.37)$$

Primer régimen

Consideremos un universo dominado por materia y radiación. La ecuación para el factor de expansión queda:

$$\frac{1}{a^2} \left(\frac{da}{d\tau} \right)^2 = \frac{\Omega_{M_0}}{a^3} + \frac{\Omega_{R_0}}{a^4} \quad (4.38)$$

Haciendo el cambio de variables $d\eta = d\tau/a$, integrando, y tomando como condiciones iniciales que a $t = 0$, $a = 0$ y $\eta = 0$, llegamos a que

$$\eta = \frac{2}{\Omega_{M_0}} \left[\sqrt{\Omega_{M_0} a + \Omega_{R_0}} - \sqrt{\Omega_{R_0}} \right]. \quad (4.39)$$

Despejamos $a(\eta)$:

$$a^R(\eta) = \frac{\Omega_{M_0}}{4} \eta^2 + \sqrt{\Omega_{R_0}} \eta \quad (4.40)$$

donde el supraíndice R denota que estamos en la época dominada por materia y radiación. Para encontrar τ en términos de η , seguimos los siguientes pasos:

$$d\tau = a d\eta \Rightarrow \tau = \int_0^\tau d\tau' = \int_0^\eta a(\eta') d\eta' = \frac{\Omega_{M_0}}{12} \eta^3 + \frac{\sqrt{\Omega_{R_0}}}{2} \eta^2 \quad (4.41)$$

es decir que la relación entre τ y η es:

$$\tau = \frac{\Omega_{M_0}}{12} \eta^3 + \frac{\sqrt{\Omega_{R_0}}}{2} \eta^2. \quad (4.42)$$

Segundo régimen

Consideremos ahora un universo dominado por materia y constante cosmológica. La ecuación para el factor de expansión queda:

$$\frac{1}{a^2} \left(\frac{da}{d\tau} \right)^2 = \frac{\Omega_{M_0}}{a^3} + \Omega_{\Lambda_0}. \quad (4.43)$$

Cambiando a la variable $y = \sqrt{\Omega_{\Lambda_0}/\Omega_{M_0}} a^{3/2}$, llegamos a esta ecuación:

$$d\tau = \frac{2}{3} \frac{1}{\sqrt{\Omega_{\Lambda_0}}} \frac{dy}{\sqrt{1+y^2}} \Rightarrow \tau = \frac{2}{3} \frac{1}{\sqrt{\Omega_{\Lambda_0}}} \sinh^{-1} y + C. \quad (4.44)$$

Reemplazando la expresión de y y despejando a obtenemos:

$$a^\Lambda(\tau) = \sqrt[3]{\frac{\Omega_{M_0}}{\Omega_{\Lambda_0}}} \sinh^{2/3} \left[\frac{3}{2} \sqrt{\Omega_{\Lambda_0}} \tau + C' \right]. \quad (4.45)$$

Las constantes de integración se eligen de manera tal de asegurar la continuidad de $a(\eta)$ y de su derivada en el punto de ajuste η_A , donde ambas soluciones se superponen. Por lo tanto, el punto de ajuste es aquel donde se cumple:

$$a^R(\eta_A) = \frac{\Omega_{M_0}}{4} \eta_A^2 + \sqrt{\Omega_{R_0}} \eta_A = \sqrt[4]{\frac{\Omega_{R_0}}{\Omega_{\Lambda_0}}}. \quad (4.46)$$

Resolviendo la ecuación cuadrática, y teniendo en cuenta que η es siempre positivo, obtenemos el η_A :

$$\eta_A = \frac{2\sqrt{\Omega_{R_0}}}{\Omega_{M_0}} \left[\sqrt{1 + \frac{\Omega_{M_0}}{\Omega_{R_0}} \sqrt[4]{\frac{\Omega_{R_0}}{\Omega_{\Lambda_0}}}} - 1 \right]. \quad (4.47)$$

Si llamamos

$$\xi = \frac{\Omega_{M_0}}{\Omega_{R_0}} \sqrt[4]{\frac{\Omega_{R_0}}{\Omega_{\Lambda_0}}} = \Omega_{M_0} \Omega_{R_0}^{-3/4} \Omega_{\Lambda_0}^{-1/4} \quad (4.48)$$

podemos escribir

$$\eta_A = \frac{2\sqrt{\Omega_{R_0}}}{\Omega_{M_0}} \left[\sqrt{1 + \xi} - 1 \right]. \quad (4.49)$$

En la variable τ , el tiempo de ajuste es:

$$\tau_A = \frac{\Omega_{M_0}}{12} \eta_A^3 + \frac{\sqrt{\Omega_{R_0}}}{2} \eta_A^2 \Rightarrow \tau_A = \frac{2}{3} \frac{\Omega_{R_0}^{3/2}}{\Omega_{M_0}^2} \left[2 - (2 - \xi) \sqrt{1 + \xi} \right]. \quad (4.50)$$

Considerando $a^R(\eta_A) = a^\Lambda(\tau_A)$, ajustamos la constante C' :

$$C' = \sinh^{-1} (\xi^{-1/2}) - \frac{2 + (\xi - 2) \sqrt{1 + \xi}}{\xi^2}. \quad (4.51)$$

Resumiendo:

En τ_A , a^R se pega con a^Λ de manera continua, con derivada primera continua. Las expresiones para el factor de expansión en cada uno de los regímenes son:

$$\begin{aligned} a^R(\eta) &= \frac{\Omega_{M_0}}{4}\eta^2 + \sqrt{\Omega_{R_0}}\eta \quad \text{donde} \quad \tau = \frac{1}{2}\eta^2 \left[\frac{\Omega_{M_0}}{6}\eta + \sqrt{\Omega_{R_0}} \right] \\ a^\Lambda(\tau) &= \sqrt[3]{\frac{\Omega_{M_0}}{\Omega_{\Lambda_0}}} \sinh^{2/3} \left[\frac{3}{2}\sqrt{\Omega_{\Lambda_0}}\tau + C' \right]. \end{aligned} \quad (4.52)$$

Podemos calcular cuánto vale τ hoy, τ_0 , sabiendo que $a^\Lambda(\tau_0) = 1$. Así llegamos a que:

$$\tau_0 = \frac{2}{3} \frac{1}{\sqrt{\Omega_{\Lambda_0}}} \left[\sinh^{-1} \left(\sqrt{\frac{\Omega_{\Lambda_0}}{\Omega_{M_0}}} \right) - C' \right]. \quad (4.53)$$

4.2.2. Soluciones para el campo ϕ

Dominio de materia y constante cosmológica

La ecuación para el campo ϕ es:

$$\dot{\phi}a^3 = -Mt + A. \quad (4.54)$$

Pasando a la variable τ , y considerando $a = a^\Lambda(\tau)$, llegamos a esta ecuación

$$\int_{\phi(\tau)}^{\phi(\tau_0)} d\phi = - \int_{\tau}^{\tau_0} \frac{M \Omega_{\Lambda_0}}{H_0^2 \Omega_{M_0}} \frac{\left(\tau - \frac{H_0 A}{M}\right)}{\sinh^2 \left[\frac{3}{2}\sqrt{\Omega_{\Lambda_0}}\tau + C' \right]} d\tau. \quad (4.55)$$

Integrando (ver Apéndice B), y teniendo en cuenta que $m_e = m_{e0} \exp[\phi]$ y por lo tanto $\phi_0 = 0$, y además

$$\phi = \ln \left(\frac{m_e}{m_{e0}} \right) = \ln \left(\frac{m_{e0} + m_e - m_{e0}}{m_{e0}} \right) = \ln \left(1 + \frac{\Delta m_e}{m_{e0}} \right) \sim \frac{\Delta m_e}{m_{e0}} \quad (4.56)$$

llegamos a:

$$\begin{aligned}
\frac{\Delta m_e}{m_{e0}}(\tau) = & \\
\frac{M}{H_0^2} \frac{2}{3\Omega_{M_0}} & \left[\sqrt{\Omega_{\Lambda_0}} \tau \coth \left(C' + \frac{3}{2} \sqrt{\Omega_{\Lambda_0}} \tau \right) - \frac{2}{3} \ln \left(\sinh \left(C' + \frac{3}{2} \sqrt{\Omega_{\Lambda_0}} \tau \right) \right) \right. \\
& \left. + \frac{2}{3} \left(\ln \gamma - \frac{\sqrt{1+\gamma^2}}{\gamma} \left(C' + \ln \left(\gamma + \sqrt{1+\gamma^2} \right) \right) \right) \right] \\
& + \frac{A}{H_0} \frac{2\sqrt{\Omega_{\Lambda_0}}}{3\Omega_{M_0}} \left[-\coth \left(C' + \frac{3}{2} \sqrt{\Omega_{\Lambda_0}} \tau \right) + \frac{\sqrt{1+\gamma^2}}{\gamma} \right]
\end{aligned}$$

donde hemos llamado

$$\gamma = \sqrt{\frac{\Omega_{\Lambda_0}}{\Omega_{M_0}}}. \quad (4.57)$$

Dominio de materia y radiación

Partimos nuevamente de la ecuación para el campo ϕ

$$\dot{\phi} a^3 = -Mt + A \quad (4.58)$$

y tenemos en cuenta que:

$$t = H_0^{-1} \tau = H_0^{-1} \frac{1}{2} \eta^2 \left[\frac{\Omega_{M_0}}{6} \eta + \sqrt{\Omega_{R_0}} \right]. \quad (4.59)$$

Pasando a la variable η , y usando $a = a^R(\eta)$, tendremos que integrar

$$\int_{\phi_A}^{\phi} d\phi' = \int_{\eta_A}^{\eta} \frac{-\frac{M}{2H_0} \eta'^2 \left(\frac{\Omega_{M_0}}{6} \eta' + \sqrt{\Omega_{R_0}} \right) + A}{H_0 \eta'^2 \left(\frac{\Omega_{M_0}}{4} \eta' + \sqrt{\Omega_{R_0}} \right)^2} d\eta'. \quad (4.60)$$

La expresión para ϕ_A está dada en la Ec. (B.12). La solución de esta ecuación es (ver Apéndice C):

$$\begin{aligned}
\frac{\Delta m_e}{m_{e0}}(\eta) = & \frac{2}{3} \frac{M}{H_0^2} \frac{1}{\Omega_{M_0}} \left[-2 \ln \left(\frac{2(\beta\eta + 1)}{1 + \sqrt{1 + \xi}} \right) + \frac{1}{\beta\eta + 1} - \frac{2}{1 + \sqrt{1 + \xi}} \right. \\
& + \frac{2}{3} f(\xi) \sqrt{1 + \xi} + \frac{1}{4} \ln \left(\frac{\Omega_{\Lambda_0}}{\Omega_{R_0}} \right) - \frac{2}{3} (\sinh^{-1} \gamma - C') \frac{\sqrt{1 + \gamma^2}}{\gamma} \left. \right] \\
& + \frac{A}{H_0} \frac{\Omega_{M_0}}{\Omega_{R_0}^{3/2}} \left[\frac{1}{2} \ln \left(\frac{\beta\eta + 1}{\beta\eta} \right) + \frac{1}{2} \ln \left(\frac{\sqrt{1 + \xi} - 1}{\sqrt{1 + \xi} + 1} \right) - \frac{1}{4\beta\eta} \right. \\
& \left. - \frac{1}{4(\beta\eta + 1)} + \frac{(\xi - \frac{2}{3}) \sqrt{1 + \xi} + \frac{2}{3} \frac{\sqrt{1 + \gamma^2}}{\gamma}}{\xi^2} \right]
\end{aligned}$$

donde por conveniencia hemos definido $\beta = \frac{1}{4} \Omega_{M_0} \Omega_{R_0}^{-1/2}$.

Finalmente, damos la expresión para la tasa de variación de la masa del electrón, que luego será útil para comparar con las cotas observacionales obtenidas a partir de relojes atómicos, en el laboratorio. Dado que

$$\phi = \ln \left(\frac{m_e}{m_{e0}} \right) \Rightarrow \frac{m_e}{m_{e0}} = e^\phi \Rightarrow \frac{\dot{m}_e}{m_{e0}} = e^\phi \dot{\phi} \simeq \dot{\phi}. \quad (4.61)$$

Por lo tanto, considerando la Ec. (4.54), expresamos

$$\frac{\dot{m}_e}{m_e} = \frac{-M t + A}{a^3}. \quad (4.62)$$

4.3. Datos

En esta sección resumimos los límites existentes para la variación de la masa del electrón, obtenidos a partir de datos observacionales correspondientes a distintas etapas cosmológicas.

4.3.1. Nucleosíntesis primordial

La nucleosíntesis primordial es una de las herramientas más importantes para estudiar el universo temprano. El cociente barión-fotón, o equivalentemente la asimetría en los bariones $\eta_B \equiv (n_B - n_{\bar{B}})/n_\gamma$ se puede determinar tanto a partir de cálculos teóricos como de observaciones de las abundancias de los elementos químicos livianos. Un cambio en el valor de m_e en la

época de la formación de estos elementos respecto de su valor actual afecta cantidades físicas tales como la suma de densidades de energía de electrones y positrones, la suma de sus presiones, y la diferencia entre las densidades en número de electrones y positrones. Los cambios más importantes en las abundancias primordiales debido a variación de m_e resultan del cambio en las tasas de decaimiento débil, más que del cambio en la tasa de expansión. En Scóccola et al. (2008b) se consideraron los datos disponibles para las abundancias de D, ^4He y ^7Li . El análisis estadístico indicó que no hay buen ajuste para el conjunto total de datos. Sin embargo, se logran ajustes razonables si se excluye alguno de los datos. Se discuten las cotas obtenidas utilizando todas las abundancias y sólo un subgrupo, llegando a un ajuste de η_B consistente con el valor de WMAP sólo si las abundancias consideradas son las de D y ^4He . La cota que se obtiene en este caso es la siguiente:

$$\frac{\Delta m_e}{(m_e)_0} = -0,022 \pm 0,009. \quad (4.63)$$

En el caso de considerar otros pares de abundancias, el valor del mejor ajuste para η_B se aleja mucho del valor obtenido por WMAP. La abundancia del ^7Li no se tuvo en cuenta porque aún no hay consenso acerca de las cotas para la misma. Se ha señalado (Richard et al. 2005) que debe entenderse mejor el transporte turbulento en las zonas radiativas de las estrellas para tener una estimación confiable de la abundancia de ^7Li . Por otra parte, Meléndez & Ramírez (2004) reanalizaron los datos disponibles para el ^7Li y obtuvieron estimaciones marginalmente consistentes con WMAP. Más aún, Prodanović & Fields (2007) destacaron que la discrepancia se acentúa si se considera la contaminación con ^6Li . Es por eso que se adoptó el criterio más conservador de considerar la cota que se obtiene al ajustar las abundancias de D y ^4He .

4.3.2. Fondo cósmico de radiación

El fondo cósmico de radiación provee una de las cotas para la variación de la masa del electrón en el Universo temprano, durante la época de formación del hidrógeno neutro. En el Capítulo 3 de esta Tesis, se encontraron varias cotas para la variación de la masa del electrón. Para este análisis utilizaremos la cota que se obtiene del ajuste con los datos de WMAP3 y el espectro de

potencias $P(k)$ del catálogo 2dFGRS:

$$\frac{\Delta m_e}{(m_e)_0} = -0,029 \pm 0,034. \quad (4.64)$$

La diferencia entre esta cota y la obtenida con el conjunto de datos WMAP5 es mínima a los efectos del ajuste de los parámetros del modelo de Barrow & Magueijo, y no altera las conclusiones de este Capítulo.

4.3.3. Sistemas de absorción en quasares

Los sistemas de absorción en espectros de quasares constituyen “laboratorios” naturales donde buscar variaciones temporales de las constantes fundamentales. En particular, un método para poner límites a la variación de $\mu = \frac{m_p}{m_e}$ fue desarrollado por Varshalovich & Levshakov (1993). Está basado en el hecho de que las longitudes de onda de las líneas vibro-rotacionales electrónicas dependen de la masa reducida de las moléculas, con distintas dependencias para distintas transiciones. De esta manera, es posible distinguir el corrimiento al rojo (redshift) cosmológico de una línea, del corrimiento provocado por una variación en μ . Para una dada transición del hidrógeno molecular H_2 , la longitud de onda en el laboratorio (reposo), λ_i^0 , se puede relacionar con la del sistema de absorción, λ_i , mediante $\frac{\lambda_i}{\lambda_i^0} = (1 + z_{abs})(1 + K_i \frac{\Delta\mu}{\mu})$, donde z_{abs} es el redshift de absorción y K_i es el coeficiente que determina la sensibilidad de la longitud de onda λ_i a la masa del electrón. Usando observaciones de sistemas de absorción en quasares a muy alto redshift y medidas de laboratorio, varios autores han puesto cotas a la variación de μ (Potekhin et al. 1998; Levshakov et al. 2002; Ivanchik et al. 2003, 2005). Los datos disponibles actualizados hasta el año 2007, para cada redshift, se citan en la tabla 4.1 y son los que consideramos para testear el modelo de Barrow-Magueijo. Llamamos a este conjunto de datos QSO I.

En el año 2008 se actualizaron las cotas para estos sistemas de absorción en quasares. Esto se logró gracias a una mejora substancial en el método de calibración de las longitudes de onda, y también incorporando nuevas transiciones al ajuste, que antes no se tenían en cuenta por estar situadas dentro de una línea Lyman α del quasar. Los nuevos datos del conjunto QSO I se muestran en la Tabla 4.2. En la sección 4.4 se repite el ajuste de los parámetros del modelo usando estos datos.

Un método alternativo para medir μ a alto redshift, sugerido por Flambaum & Kozlov (2007), es usar la sensibilidad a las variaciones en μ de las transiciones in-

Tabla 4.1: QSO I: Redshift de absorción, valor de $\frac{\Delta m_e}{(m_e)_0}$ con el correspondiente error (en unidades de 10^{-5}), y la referencia.

Redshift	$\frac{\Delta m_e}{(m_e)_0} \pm \sigma$	Referencia
3.025	$-1,47 \pm 0,83$	Ivanchik et al. (2005)
2.811	$-6,25 \pm 13,75$	Potekhin et al. (1998)
2.5947	$-2,11 \pm 1,39$	Ivanchik et al. (2005)

Tabla 4.2: QSO I: Valores actualizados de la Tabla 4.1. La última línea corresponde al método de transiciones inversas del NH_3 ($\frac{\Delta m_e}{(m_e)_0}$ y errores en unidades de 10^{-6}).

Redshift	$\frac{\Delta m_e}{(m_e)_0} \pm \sigma$	Referencia
3.025	$8,2 \pm 7,4$	King et al. (2008)
2.811	$-1,4 \pm 3,9$	King et al. (2008)
2.5947	$0,1 \pm 6,2$	King et al. (2008)
0.86	$0,74 \pm 1,23$	Murphy et al. (2008)

versas del amoníaco a 24 GHz. Un cambio en la frecuencia debido a una variación de μ se puede discernir del redshift cosmológico comparándolas con transiciones cuya sensibilidad a esta cantidad física sea menor. Para comparar, se utilizan transiciones rotacionales de moléculas tales como CO, HCO^+ y HCN. Por ahora se conoce un solo sistema de absorción en quasares con absorción en NH_3 . Agregamos la cota que se obtiene a partir de este sistema al conjunto QSO I. La misma se muestra en la última entrada de la Tabla 4.2.

Otro método para acotar la variación de las constantes fundamentales está basado en la comparación entre la transición hiperfina de 21 cm, en absorción, para el hidrógeno (ν_a) y una transición resonante óptica (ν_b), también del hidrógeno. El cociente $\frac{\nu_a}{\nu_b}$ es proporcional a $x = \alpha^2 g_p \frac{m_e}{m_p}$ donde g_p es el factor g del protón (Tzanavaris et al. 2007). Por lo tanto, un cambio en esta cantidad resultará en una diferencia en el redshift medido a partir de la línea de 21 cm y el espectro medido a partir de líneas de absorción en el óptico, dada por $\frac{\Delta x}{x} = \frac{z_{opt} - z_{21}}{(1+z_{21})}$. Dado que estamos trabajando en el contexto del modelo de Barrow & Magueijo (2005), la única constante fundamental que puede va-

riar es m_e . La Tabla 4.3 muestra las cotas presentadas por Tzanavaris et al. (2007) combinando las medidas de los redshifts obtenidos del óptico y del radio. A este conjunto de datos lo llamaremos QSO II. Este método tiene el inconveniente de que es difícil determinar si ambas líneas (radio y óptico) fueron originadas en el mismo sistema de absorción. Por lo tanto, una diferencia en la velocidad de las nubes de absorción puede esconder una variación de x .

Tabla 4.3: QSO II: Redshift de absorción y valor de $\frac{\Delta m_e}{(m_e)_0}$ con su correspondiente error (en unidades de 10^{-5}), obtenidos de comparar redshifts de radio y de líneas moleculares.

Redshift	$\frac{\Delta m_e}{(m_e)_0} \pm \sigma$	Redshift	$\frac{\Delta m_e}{(m_e)_0} \pm \sigma$
0.24	$1,21 \pm 2,10$	1.78	$-2,59 \pm 0,90$
0.31	$-0,61 \pm 4,27$	1.94	$3,30 \pm 0,44$
0.40	$3,22 \pm 3,15$	2.04	$5,20 \pm 2,76$
0.52	$-2,95 \pm 1,05$	2.35	$-2,54 \pm 1,82$
0.52	$0,26 \pm 3,67$		

4.3.4. Cotas a partir de datos geofísicos

La vida media de emisores de partículas β de vida media larga ha sido determinada tanto en medidas en laboratorio, como comparando con la edad de meteoritos, la cual se encuentra del análisis del decaimiento de partículas α . Las cotas más fuertes para la variación de la vida media, λ , viene de la comparación del decaimiento del ^{187}Re durante la formación del sistema solar y el presente, (Olive et al. 2004): $\frac{\Delta \lambda}{\lambda} = (-0,016 \pm 0,016)$. Sisterna & Vucetich (1990) derivaron una relación entre el corrimiento en la vida media y una posible variación de las constantes fundamentales. Como aquí estamos considerando sólo la variación de m_e , la cota que consideramos se obtiene de la siguiente relación:

$$\frac{\Delta \lambda}{\lambda} = a \frac{\Delta m_e}{(m_e)_0} \quad (4.65)$$

donde $a = -600$ para ^{187}Re .

4.3.5. Cotas de laboratorio

La comparación entre frecuencias de diferentes transiciones atómicas a lo largo del tiempo es útil para poner cotas fuertes a la tasa de variación de las constantes fundamentales en la actualidad. En particular, la frecuencia hiperfina del Cesio se puede aproximar por $\nu_{\text{Cs}} \simeq g_{\text{Cs}} \frac{m_e}{m_p} \alpha^2 R_y F_{\text{Cs}}(\alpha)$, donde g_{Cs} es el factor nuclear g , R_y es la constante de Rydberg expresada como frecuencia y $F_{\text{Cs}}(\alpha)$ es una función adimensional de α y no depende de m_e al menos a primer orden, mientras que las frecuencias de transiciones ópticas se pueden expresar como $\nu_{\text{opt}} \simeq R_y F(\alpha)$. Varios autores (Bize et al. 2003; Fischer et al. 2004; Peik et al. 2004) han medido diferentes transiciones ópticas y las han comparado con la frecuencia de la separación hiperfina del nivel fundamental en ^{133}Cs neutro. Estas medidas se pueden usar para poner límites a la variación de $\dot{m}_e/(m_e)_0$. En la Tabla 4.4 se listan cotas obtenidas de diferentes experimentos. Estos datos serán comparados con la predicción para $\dot{m}_e/(m_e)_0$ que se deduce de la ecuación (4.54):

$$\dot{\phi} = \frac{\dot{m}_e}{(m_e)_0} = \frac{-Mt + A}{a^3} = H_0 \frac{-\frac{M}{H_0^2}t + \frac{A}{H_0}}{a^3}. \quad (4.66)$$

Tabla 4.4: Relojes atómicos comparados, valor de $\frac{\dot{m}_e}{(m_e)_0}$ con su correspondiente error (en unidades de 10^{-15}), intervalo de tiempo para el cual se midió la diferencia, y la referencia.

Frecuencias	$\frac{\dot{m}_e}{(m_e)_0} \pm \sigma [10^{-15}\text{yr}^{-1}]$	$\Delta t[\text{yr}]$	Referencia
Hg ⁺ and Cs	$0,2 \pm 7,0$	5	Fischer et al. (2004)
Yb ⁺ and Cs	$1,2 \pm 4,4$	2.8	Peik et al. (2004)
Hg ⁺ and Cs	0 ± 7	2	Bize et al. (2003)

4.4. Ajuste de los parámetros del modelo

El modelo que estamos estudiando tiene dos parámetros libres, cuyos valores se pueden estimar buscando el mejor ajuste para el conjunto de datos descrito en la sección anterior. Ajustaremos las cantidades adimensionales M/H_0^2 y A/H_0 , por el método de máxima verosimilitud. Para ello, hacemos

una grilla de valores para M/H_0^2 y A/H_0 y evaluamos el χ^2 en cada uno de los puntos de la grilla. Para asegurar que el valor del campo ϕ sea pequeño para todo tiempo, lo cual debe ser cierto ya que hemos aproximado $\exp[\phi] \simeq 1 + \phi$, agregamos a la expresión del χ^2 un nuevo término que tenga en cuenta el vínculo dado por la ecuación (4.26). Además, tomamos una expresión elevada al cuadrado porque el χ^2 siempre debe ser positivo. La expresión para el χ^2 queda:

$$\chi^2 = \sum_i \frac{\left(\phi(t_i) - \frac{\Delta m_e}{m_{e0}}(t_i)\right)^2}{\sigma_i^2} + \left[\frac{1}{\Omega_{R0}} \frac{4\pi}{3} \frac{G\omega}{c^4} \frac{\left(-\frac{M}{H_0^2} \tau_{el} + \frac{A}{H_0}\right)^2}{a_{el}^2} \right]^2. \quad (4.67)$$

Existe una relación entre ω y M/H_0^2 . Recordemos la Ec. (4.17):

$$M = \frac{\rho_{e0}}{\omega} c^4. \quad (4.68)$$

Reescribimos esta relación buscando una expresión para ρ_{e0} . Sea N_b el número total de bariones, N_H el número de núcleos de átomos de Hidrógeno, N_{He} el número de núcleos de átomos de Helio, y N_e el número total de electrones. Se tiene que, dado que el universo es neutro:

$$N_e = N_H + 2N_{He} \quad (4.69)$$

y dado que cada núcleo de hidrógeno aporta un barión y cada núcleo de helio aporta cuatro bariones,

$$N_b = N_H + 4N_{He} = N_e + 2N_{He}. \quad (4.70)$$

Ahora, sea f_{He} la fracción de bariones en forma de núcleos de He con respecto al número total de bariones, es decir: $f_{He} = 4N_{He}/N_b$ (ya que cada He tiene 4 bariones). Entonces

$$N_e = N_b - 2N_{He} = N_b - 2 \frac{f_{He}}{4} N_b = N_b \left(1 - \frac{f_{He}}{2}\right). \quad (4.71)$$

Por otra parte, la densidad (en masa) de electrones es la densidad numérica multiplicada por la masa del electrón. Por ende, se tiene que

$$\rho_{e0} = \frac{M_e}{V} = \frac{N_e m_e}{V} = \frac{N_b \left(1 - \frac{f_{He}}{2}\right)}{V} m_e = \left(1 - \frac{f_{He}}{2}\right) \rho_b \frac{m_e}{m_p} \quad (4.72)$$

donde en la última igualdad se tuvo en cuenta que

$$\rho_b = \frac{N_b m_b}{V} \simeq \frac{N_b m_p}{V} \Rightarrow \frac{N_b}{V} = \frac{\rho_b}{m_p}. \quad (4.73)$$

Escribimos la densidad (en masa) de bariones en función de la densidad crítica de energía:

$$\rho_b = c^{-2} \Omega_b \rho_c. \quad (4.74)$$

Por lo tanto,

$$\rho_{e0} = \left(1 - \frac{f_{\text{He}}}{2}\right) \rho_b \frac{m_e}{m_p} = \left(1 - \frac{f_{\text{He}}}{2}\right) \frac{m_e}{m_p} \Omega_b \rho_c c^{-2} \quad (4.75)$$

y dado que $\rho_c = \frac{3 c^2 H_0^2}{8\pi G}$, se tiene que

$$\rho_{e0} = \left(1 - \frac{f_{\text{He}}}{2}\right) \frac{m_e}{m_p} \Omega_b \frac{3 H_0^2}{8\pi G} \quad (4.76)$$

por lo tanto,

$$\omega = \frac{\rho_{e0}}{M} c^4 = \frac{\rho_{e0}}{H_0^2} c^4 \frac{1}{\left(\frac{M}{H_0^2}\right)} = \left(1 - \frac{f_{\text{He}}}{2}\right) \frac{m_e}{m_p} \Omega_b \frac{3 c^4}{8\pi G} \frac{1}{\left(\frac{M}{H_0^2}\right)} \quad (4.77)$$

o lo que es lo mismo:

$$\frac{\omega G}{c^4} = \frac{3}{8\pi} \left(1 - \frac{f_{\text{He}}}{2}\right) \frac{m_e}{m_p} \Omega_b \frac{1}{\left(\frac{M}{H_0^2}\right)}. \quad (4.78)$$

Por lo tanto, la expresión para el χ^2 que vamos a minimizar es la siguiente:

$$\chi^2 = \sum_i \frac{\left(\phi(t_i) - \frac{\Delta m_e}{m_{e0}}(t_i)\right)^2}{\sigma_i^2} + \left[\frac{1}{2} \frac{\Omega_b}{\Omega_R} \left(1 - \frac{f_{\text{He}}}{2}\right) \frac{m_e}{m_p} \frac{1}{\left(\frac{M}{H_0^2}\right)} \left(\frac{-\frac{M}{H_0^2} \tau_{el} + \frac{A}{H_0}}{a_{el}}\right)^2 \right]^2. \quad (4.79)$$

La suma es sobre la totalidad de los datos, y t_i se refiere al tiempo correspondiente a cada uno de ellos. Este primer análisis estadístico fue realizado antes del año 2008 y por ende, se utilizaron las cotas para $\Delta m_e/m_e$ obtenida con los cuasares de la Tabla 4.1. El resultado del análisis estadístico muestra que

no se logra buen ajuste para el conjunto completo de datos. Sin embargo, se puede encontrar un buen ajuste excluyendo el cuasar a $z = 1,94$ de la Tabla 4.3. Con el objetivo de estudiar cómo afecta cada conjunto de datos a los valores obtenidos para los parámetros del modelo, repetimos el análisis estadístico, excluyendo de a un grupo de datos por vez. Encontramos que la cota que proviene de nucleosíntesis es crucial para determinar el valor de A/H_0 . Por otra parte, el grupo de datos de la Tabla 4.1 es importante para determinar el valor de M/H_0^2 . Los resultados se muestran en la Tabla 4.5, donde hemos llamado QSO I al conjunto de datos de la Tabla 4.1, y QSO II al de la Tabla 4.3. Estas conclusiones no se modifican cuando se utilizan las cotas dadas en la Tabla 4.2.

datos	M/H_0^2	A/H_0	$\frac{\chi_{min}^2}{N-2}$
todos los datos	$-7,30^{+2,10}_{-2,02}$	$3,60^{+1,44}_{-1,50}$	1.14
todos – nucleo	$-7,30^{+2,11}_{-2,02}$	$-0,10^{+13,5}_{-13,3}$	1.22
todos – CMB	$-5,60^{+2,46}_{-2,54}$	$3,60^{+1,44}_{-1,50}$	1.16
todos – decaim β	$-7,40^{+2,11}_{-2,02}$	$3,60^{+1,44}_{-1,50}$	1.13
todos – QSO I	$-10,40^{+3,61}_{-3,70}$	$3,60^{+1,45}_{-1,59}$	1.29
todos – QSO II	$-5,70^{+2,53}_{-2,44}$	$3,60^{+1,44}_{-1,49}$	0.30
todos – relojes	$-7,30^{+2,11}_{-2,02}$	$3,60^{+1,44}_{-1,50}$	1.44

Tabla 4.5: Parámetros para el modelo que da el mejor ajuste de los datos. El valor para el parámetro M/H_0^2 está en unidades de 10^{-6} , y el valor para el parámetro A/H_0 está en unidades de 10^{-13} .

Dado que el modelo está descrito en términos de la constante de acoplamiento ω , derivamos su valor para el mejor ajuste, a partir de los resultados anteriores. Partimos de la siguiente relación:

$$\frac{G\omega}{c^4} = \frac{3}{8\pi} \left(1 - \frac{f_{\text{He}}}{2}\right) \Omega_b \frac{m_e}{m_p} \left(\frac{M}{H_0^2}\right)^{-1} \quad (4.80)$$

y usamos los siguientes valores numéricos:

$$\begin{aligned}
G &= 6,67 \times 10^{-8} \text{cm}^3 \text{g}^{-1} \text{s}^{-2} \\
\Omega_b &= \frac{\Omega_b h^2}{h^2} = \frac{0,0223}{(0,73)^2} = 0,0418 \\
\frac{m_p}{m_e} &= 1836,15.
\end{aligned}
\tag{4.81}$$

Falta estimar el valor de f_{He} . Para ello, hacemos las siguientes consideraciones:

$$\begin{aligned}
f_{\text{He}} &= \frac{4N_{\text{He}}}{N_b} \Rightarrow N_b = \frac{4N_{\text{He}}}{f_{\text{He}}} = N_{\text{H}} + 4N_{\text{He}} \\
f_{\text{He}} &= \frac{4N_{\text{He}}}{N_{\text{H}} + 4N_{\text{He}}} = \frac{4}{\frac{N_{\text{H}}}{N_{\text{He}}} + 4} = \frac{1}{\frac{1}{4\frac{N_{\text{He}}}{N_{\text{H}}}} + 1}.
\end{aligned}
\tag{4.82}$$

Por otra parte, observacionalmente se determina que el cociente entre la masa en He y la masa en H es

$$\frac{M_{\text{He}}}{M_{\text{H}}} = 0,24 = \frac{N_{\text{He}} m_{\text{He}}}{N_{\text{H}} m_{\text{H}}}
\tag{4.83}$$

y de la tabla periódica, se determina que

$$\frac{m_{\text{He}}}{m_{\text{H}}} = \frac{4,0026}{1,0079} = 3,9712.
\tag{4.84}$$

Entonces, $f_{\text{He}} = 0,1946788$, y por ende:

$$1 - \frac{f_{\text{He}}}{2} = 0,9027.
\tag{4.85}$$

Por lo tanto, dado que del ajuste de los parámetros del modelo se encuentra que

$$\frac{M}{H_0^2} = -7,30_{-2,02}^{+2,10} \times 10^{-6}
\tag{4.86}$$

el valor para $\omega G/c^4$ es

$$\frac{\omega G}{c^4} = -0,336_{-0,093}^{+0,097} \quad (4.87)$$

donde hemos encontrado los errores de $\omega G/c^4$ propagando los errores de M/H_0^2 , de la siguiente manera:

$$\frac{\omega G}{c^4} = \text{cte} \times \frac{1}{\left(\frac{M}{H_0^2}\right)} \Rightarrow \Delta\left(\frac{\omega G}{c^4}\right) = \left(\frac{\omega G}{c^4}\right) \frac{\Delta\left(\frac{M}{H_0^2}\right)}{\left(\frac{M}{H_0^2}\right)}. \quad (4.88)$$

Esto lo hemos podido hacer dado que el intervalo a 1σ alrededor del mejor ajuste para el parámetro M/H_0^2 no contiene al cero.

La cantidad $\omega G/c^4$ es adimensional. Para comparar con el resultado de Barrow & Magueijo, debemos usar cantidades adimensionales ya que éstas no dependen de las unidades. Barrow & Magueijo utilizan unidades naturales, por eso presentan sus resultados como $G|\omega| > 0,2$. En unidades usuales, este resultado se traduce en $G|\omega|/c^4 > 0,2$, que es el que usamos para comparar con nuestros resultados.

El contorno de confianza que resulta del análisis estadístico puede verse en la figura 4.1. El corte que se observa en el mismo se debe a que la condición impuesta en el χ^2 diverge para $M = 0$.

En el año 2008, fueron actualizados algunos de los datos de la sección 4.3.3, que se muestran en la Tabla 4.2. Adicionalmente, se ha publicado una cota para la variación de la masa de electrón obtenida con un nuevo método que utiliza las líneas de las transiciones inversas del NH_3 . Hemos repetido el ajuste teniendo en cuenta dichas actualizaciones. El análisis muestra que no se obtiene un buen ajuste al considerar el conjunto completo de datos. Sin embargo, se logra un buen ajuste cuando se descartan tres sistemas de absorción en cuasares del grupo de Tzanavaris et al. (2007) (el que se encuentra a $z = 1,94$, que había sido descartado también en el ajuste anterior, el que está a $z = 1,78$, y la entrada 4 de la Tabla 4.3 de la izquierda, con $z = 0,52$). La nueva cota para la variación de la masa del electrón obtenida con los datos de WMAP5 no va a cambiar el ajuste de M/H_0^2 debido a que las barras de error para las cotas que provienen de CMB (y BBN) son mucho mayores que las correspondientes a los demás datos, como puede verse en la Fig. (4.3).

El resultado del nuevo ajuste, realizado con 16 datos, se presenta en la Tabla 4.6. Observar el cambio en el valor de la cota para el parámetro M/H_0^2 .

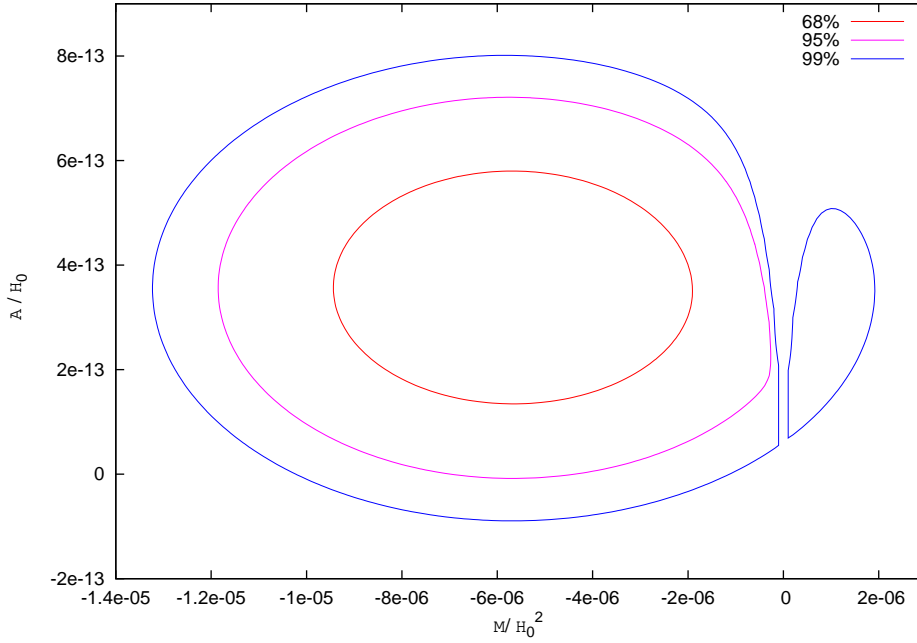


Figura 4.1: Contorno de confiabilidad para los parámetros del modelo de Barrow & Magueijo.

Este valor es más consistente con cero que el valor obtenido en el ajuste anterior (ver Ec. (4.86)). Lo que cambió entre un ajuste y el otro es el grupo de datos QSO I. El nuevo conjunto de datos es menos favorable para la variación de m_e . Esto se traduce en un valor más consistente con cero para uno de los parámetros que controla la amplitud de la función $\phi(t)$, M/H_0^2 , responsable de la variación de m_e .

M/H_0^2	A/H_0	$\frac{\chi_{min}^2}{N-2}$
$1,00^{+0,77}_{-0,58}$	$3,30^{+1,39}_{-1,32}$	0.87

Tabla 4.6: Parámetros del mejor ajuste considerando los datos actualizados al 2008. Las unidades de M/H_0^2 son 10^{-6} , y de A/H_0 son 10^{-13} .

A partir de la cota para M/H_0^2 , encontramos la cota para $G\omega/c^4$

$$\frac{G\omega}{c^4} = 2,456^{+1,912}_{-1,433}. \quad (4.89)$$

El contorno de confianza que resulta de este análisis estadístico puede verse en la figura 4.2. Nuevamente, el corte que se observa es debido a que la condición impuesta en el χ^2 diverge para $M = 0$.

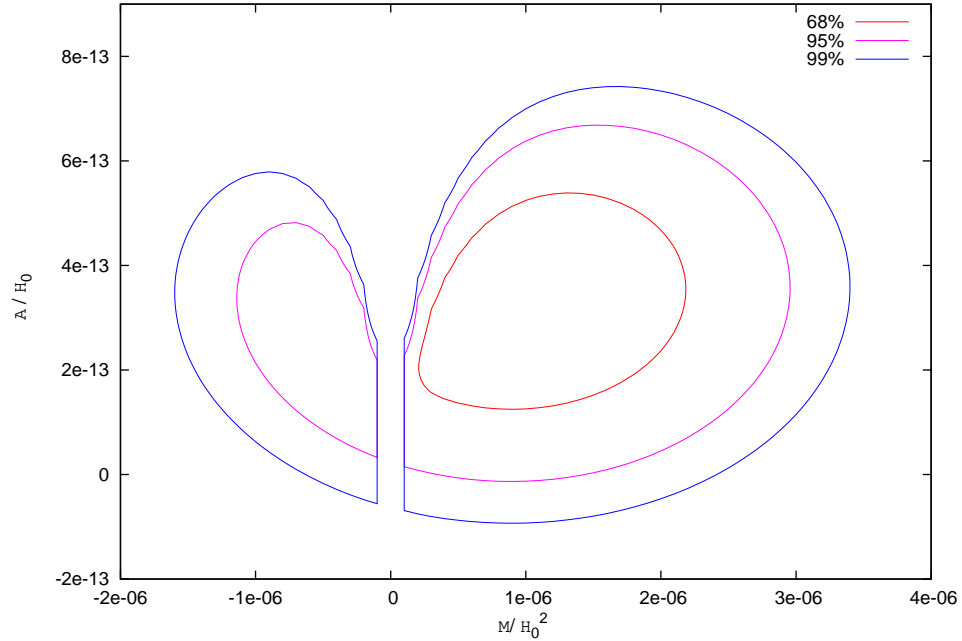


Figura 4.2: Contorno de confiabilidad para los parámetros del modelo de Barrow & Magueijo, según los datos actualizados.

4.5. Principio de Equivalencia Débil

De manera complementaria, se pueden obtener cotas para el parámetro ω del modelo a partir de los límites impuestos por los experimentos que testean la validez del Principio de Equivalencia Débil. Para obtener una expresión que podamos comparar con dichos datos, consideremos las variaciones espaciales del campo escalar ϕ . Dado que estudiaremos las implicancias de dichas

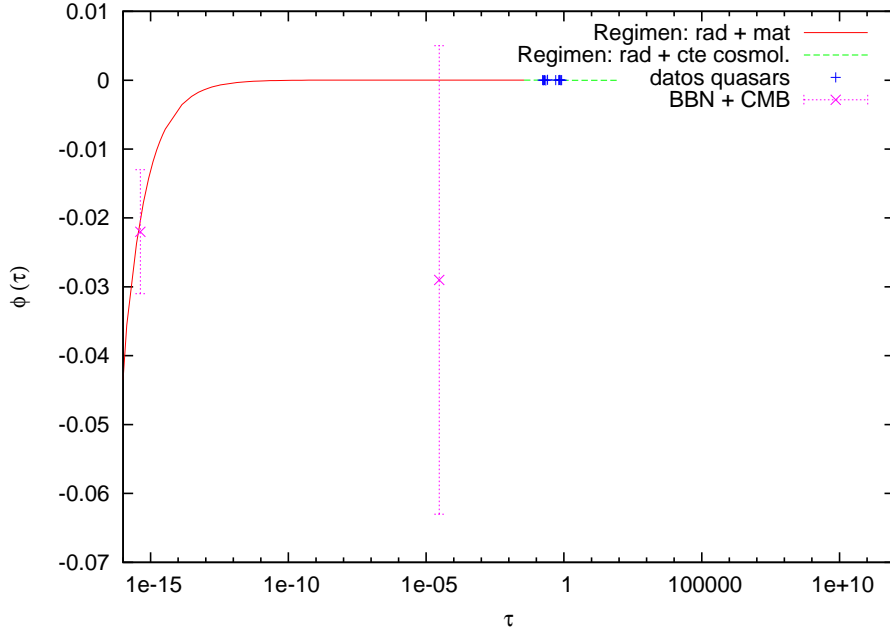


Figura 4.3: Solución del modelo de Barrow & Magueijo correspondiente a los parámetros del mejor ajuste. Se presentan también los datos utilizados para el ajuste, con sus correspondientes barras de error.

variaciones a nivel local, despreciaremos las variaciones temporales de ϕ . A partir de la ecuación de Euler-Lagrange:

$$\frac{\partial}{\partial x_\mu} \left(\frac{\partial \mathcal{L}}{\partial (\partial \phi / \partial x_\mu)} \right) - \frac{\partial \mathcal{L}}{\partial \phi} = 0 \quad (4.90)$$

y teniendo en cuenta que

$$\mathcal{L} = \mathcal{L}_\phi + \mathcal{L}_{int} = \frac{1}{2} \omega \partial_\mu \phi \partial^\mu \phi - m_e c^2 \bar{\psi} \psi \phi \quad (4.91)$$

llegamos a la siguiente ecuación:

$$\square \phi = -\frac{m_e c^2}{\omega} n_e \quad (4.92)$$

Cuando despreciamos las variaciones temporales, $\square\phi = -\nabla^2\phi$, y por lo tanto, la ecuación se transforma en:

$$\nabla^2\phi = \frac{m_e c^2}{\omega} n_e = \frac{c^2}{\omega} \rho_e = \frac{c^2}{\omega} \zeta \rho \quad (4.93)$$

donde $\zeta = \rho_e/\rho$.

Para encontrar la solución de esta ecuación, usaremos el método de la Función de Green, y consideraremos que toda la masa (M) está concentrada en el centro de masa del cuerpo, de manera tal que $\rho = M\delta^3(\vec{r})$. Dado que

$$\nabla^2 G(x, x') = \delta(x - x') \Rightarrow G(x, x') = -\frac{1}{4\pi} \frac{1}{|x - x'|} \quad (4.94)$$

la solución de la ecuación (4.93) es

$$\phi = -\frac{1}{4\pi} \frac{c^2}{\omega} \zeta M \frac{1}{r} \quad (4.95)$$

Consideremos el caso de una partícula de prueba en presencia de un cuerpo más masivo como, por ejemplo, el sol o la tierra. En este caso, además de la fuerza gravitatoria, la partícula experimenta una fuerza debida a las variaciones espaciales del campo escalar ϕ generado por los electrones presentes en el sol (o en la tierra).

Supongamos que la partícula de prueba tiene una masa total m_t y que la masa en electrones es m_t^e . Planteamos la segunda Ley de Newton:

$$\sum \vec{F} = -m_t \vec{\nabla} \Phi - m_t^e c^2 \vec{\nabla} \phi = m_t \vec{a} \quad (4.96)$$

de donde se deduce la siguiente expresión para la aceleración que sufre la partícula de prueba:

$$\vec{a} = -\vec{\nabla} \Phi - \frac{m_t^e}{m_t} c^2 \vec{\nabla} \phi = -\vec{\nabla} \Phi - \zeta_t c^2 \vec{\nabla} \phi \quad (4.97)$$

donde Φ es el potencial newtoniano.²

²Hemos considerado que la fuerza inducida por ϕ sobre la materia viene dada por $m_t^e c^2 \vec{\nabla} \phi$ ya que la densidad lagrangiana de interacción es

$$\begin{aligned} \mathcal{L}_{int} &= -m_e c^2 \bar{\psi} \psi \phi = -m_e c^2 n(\vec{r}) \phi(\vec{r}) = -m_e c^2 \delta(\vec{r} - \vec{r}_0) \phi(\vec{r}) \\ L_{int} &= \int d^3x \mathcal{L}_{int} = -m_e c^2 \phi(\vec{r}_0) \end{aligned} \quad (4.98)$$

y por lo tanto, el potencial de interacción en \vec{r}_0 , inducido por ϕ , es $-m_e c^2 \phi(\vec{r}_0)$.

El campo gravitatorio se deriva de la función potencial $\Phi = -GM/r$. De esta manera:

$$\vec{\nabla}\Phi = \frac{GM}{r^2}\hat{r} \quad (4.99)$$

Por otra parte, el campo escalar ϕ que generan los electrones en el sol (ec. 4.95), lleva a la siguiente expresión:

$$\vec{\nabla}\phi = \frac{1}{4\pi} \frac{c^2}{\omega} \zeta_s M \frac{1}{r^2} \hat{r} \quad (4.100)$$

En conclusión, la expresión para la aceleración que sufre una partícula de prueba en el campo gravitatorio del sol, y en el caso de que el campo ϕ tenga variaciones espaciales, es:

$$\vec{a} = -\frac{GM}{r^2} \left[1 + \frac{1}{4\pi} \frac{c^4}{G\omega} \zeta_s \zeta_t \right] \hat{r} \quad (4.101)$$

Vemos que la aceleración depende de la relación entre la cantidad de electrones y la cantidad de bariones, es decir, depende de la composición química de los cuerpos.

4.5.1. Experimentos de Eötvös

Dados dos cuerpos A y B , que caen con aceleraciones \vec{a}_A y \vec{a}_B respectivamente, se define el parámetro de Eötvös de la siguiente manera:

$$\eta(A, B) \equiv \frac{2(a_A - a_B)}{a_A + a_B} \quad (4.102)$$

En nuestro caso de interés, cuando la aceleración tiene la expresión de la Ec. (4.101), el parámetro η toma la forma:

$$\eta = \frac{1}{4\pi} \frac{c^4}{G\omega} \zeta_s \frac{\zeta_A - \zeta_B}{1 + \frac{1}{4\pi} \frac{c^4}{G\omega} \zeta_s (\zeta_A - \zeta_B)} \simeq \frac{1}{4\pi} \frac{c^4}{G\omega} \zeta_s (\zeta_A - \zeta_B) \quad (4.103)$$

Este parámetro se ha medido en distintos experimentos cuyos resultados y referencias se detallan en la Tabla 4.7. Por lo tanto, se puede obtener una cota sobre el parámetro $c^4/G\omega$. Sin embargo, necesitamos saber el valor del parámetro ζ de los elementos con los cuales se realiza el experimento.

Sea n la densidad numérica de átomos de la substancia monoatómica analizada, de número atómico Z , y peso atómico P . Recordamos que Z representa el número de protones en el núcleo (dado que el átomo es eléctricamente neutro, esto equivale al número de electrones), y P es el promedio de la masa de los isótopos de dicho elemento, pesados según la abundancia con la cual aparecen en la tierra, y en unidades de masa atómica (uma), que se define como la doceava parte de la masa de un átomo de ^{12}C . Por lo tanto, la expresión para el parámetro ζ es:

$$\zeta = \frac{\rho_e}{\rho} = \frac{n Z m_e}{n P} \quad (4.104)$$

Dado que $1 \text{ uma} = 1,661 \times 10^{-24} \text{ g} = 931,57 \text{ MeV}$, y que la masa del electrón es igual a $0,511 \text{ MeV}$, el parámetro ζ se escribe como:

$$\zeta = \frac{Z \times 0,511}{P \times 931,57} \quad (4.105)$$

donde P se escribe en umas, como aparece en la tabla periódica de los elementos.

Si en lugar de ser monoatómica, la substancia está compuesta de una mezcla de distintos elementos, el parámetro ζ es:

$$\zeta = \frac{\sum_i N_i Z_i m_e}{\sum_i N_i P_i} \quad (4.106)$$

donde N_i es el número de átomos de cada elemento. Si tenemos una cierta cantidad de masa M_i del elemento i , y esta cantidad es un porcentaje p_i de la masa total M de la substancia, tenemos que:

$$N_i = \frac{M_i}{P_i} = \frac{p_i M}{P_i} \quad (4.107)$$

Por lo tanto, el parámetro ζ queda:

$$\zeta = \frac{\sum_i \frac{p_i}{P_i} Z_i m_e}{\sum_i p_i} = \sum_i \frac{p_i}{P_i} Z_i m_e \quad (4.108)$$

o lo que es lo mismo:

$$\zeta = \sum_i \frac{p_i Z_i}{P_i} \frac{0,511}{931,57} \quad (4.109)$$

donde P_i se expresa en umas.

Haremos un ajuste del parámetro $c^4/G\omega$ con los datos de la Tabla 4.7.

Materiales	$\eta(A, B) \times 10^{11}$	Referencia	en Φ del:
Al-Au	$1,3 \pm 1,0$	Roll et al. (1964)	sol
Al-Pt	$0,0 \pm 0,1$	Braginskii & Panov (1972)	sol
Cu-W	$0,0 \pm 4,0$	Keiser & Faller (1982)	sol
Be-Al	$-0,02 \pm 0,28$	Su et al. (1994)	tierra
Be-Cu	$-0,19 \pm 0,25$	Su et al. (1994)	tierra
Si/Al-Cu	$0,51 \pm 0,67$	Su et al. (1994)	sol

Tabla 4.7: Resultados de experimentos de Eötvös.

Como mencionamos anteriormente, es necesario calcular el parámetro ζ para los elementos utilizados en dichos experimentos. Los resultados aparecen en la Tabla 4.8. En el experimento realizado con Si/Al-Cu, la muestra de Si/Al tiene una masa de 10,0432 g (62,7% Si - 37,3% Al). Para el caso del Sol y de la Tierra, necesitamos la composición química detallada, la cual se muestra en la Tabla 4.9³.

elemento	Z	P	$\zeta \times 10^4$
Al	13	26.98	2.643
Au	79	196.97	2.200
Pt	78	195.08	2.193
Cu	29	63.55	2.503
W	74	183.84	2.208
Be	4	9.01	2.435
Si	14	28.09	2.734
Si-Al	—	—	2.700
Sol	—	—	4.704
Tierra	—	—	2.568

Tabla 4.8: Valores del parámetro ζ .

Para encontrar una estimación del parámetro $c^4/G\omega$, hacemos una grilla

³La composición química del Sol y de la Tierra, fueron tomadas respectivamente de <http://astronomy.swin.edu.au/cosmos/C/Chemical+Composition> <http://seds.lpl.arizona.edu/nineplanets/nineplanets/earth.html> .

Elemento	p_i (solar)	p_i (terrestre)
Hidrógeno	73 %	—
Helio	25 %	—
Oxígeno	0.80 %	29.5 %
Carbono	0.36 %	—
Hierro	0.16 %	34.6 %
Neón	0.12 %	—
Niquel	—	2.4 %
Nitrógeno	0.09 %	—
Silicio	0.07 %	15.2 %
Magnesio	0.05 %	12.7 %
Sulfuro	0.04 %	1.9 %
Titanio	—	0.05 %
Otros combinados	0.04 %	—

Tabla 4.9: Composición química del Sol y de la Tierra. Los valores son porcentajes en masa.

de valores de este parámetro y calculamos el χ^2 , cuya expresión es

$$\chi^2 = \sum_i \frac{\left(\frac{1}{4\pi} \frac{c^4}{G\omega} \zeta_s (\zeta_A - \zeta_B) - \eta_i\right)^2}{\sigma_i^2} \quad (4.110)$$

donde η_i y σ_i son los datos y errores de la Tabla 4.7. Al minimizar esta cantidad, encontramos el mejor ajuste para el parámetro $c^4/G\omega$. A 1σ , el resultado es

$$\frac{c^4}{G\omega} = (7,5 \pm 66,6) \times 10^{-5}. \quad (4.111)$$

Como este intervalo contiene al cero, no podemos hacer una propagación de errores para encontrar una cota para el parámetro que nos interesa, que es $G\omega/c^4$. Sin embargo, podemos dar una cota inferior para el mismo. Efectivamente, dado que

$$\left| \frac{c^4}{G\omega} \right| < 74,1 \times 10^{-5} \quad (4.112)$$

llegamos a que el límite impuesto por el Principio de Equivalencia Débil es

$$\left| \frac{G\omega}{c^4} \right| > 1349. \quad (4.113)$$

4.6. Validez del modelo

En el paper original (Barrow & Magueijo 2005) se hacen algunas aproximaciones acerca de la evolución del factor de escala, por lo que la solución del modelo se simplifica. En esta tesis se presentan soluciones más precisas de la evolución del factor de escala, y en consecuencia, se obtienen soluciones más exactas para el campo escalar ϕ que induce variaciones en la masa del electrón. Otra mejora en las soluciones proviene de no despreciar la primera constante de integración, la cual es de suma importancia en el Universo temprano. Efectivamente, una vez que se integra la ecuación (4.54) se puede escribir

$$\dot{\phi}a^3 = -M \left(t - \frac{A}{M} \right) = -M (t + 8,47 \times 10^2 \text{yr}) \quad (4.114)$$

donde se han usado los valores del mejor ajuste de los parámetros M/H_0^2 y A/H_0 , y el valor $h = 0,73$. Notar que el segundo término del miembro derecho domina en el Universo temprano, en particular durante la nucleosíntesis primordial.

En Barrow & Magueijo (2005) se presenta una cota de $G|\omega|/c^4 > 0,2$. En dicho trabajo, este resultado se obtiene a partir de la precisión de las cotas para la variación de m_e provenientes de los cuasares, pero no se consideran las medidas individuales, con sus valores medios y errores. Además la expresión que relaciona $\Delta m_e/(m_e)_0$ y el parámetro $G|\omega|/c^4$ es muy simplificada. En cambio, en esta tesis se han utilizado todos los datos disponibles que ponen límites a la variación de la masa del electrón, en distintos tiempos cosmológicos. Hay una diferencia entre los análisis, dado que en Barrow & Magueijo (2005) se considera como cota el valor $\Delta m_e/(m_e)_0 < 10^{-5}$, mientras que en esta tesis se ha considerado cada dato con su correspondiente error. Al obtener cotas a partir de experimentos que testean la validez del Principio de Equivalencia Débil, ellos obtienen una cota $G|\omega|/c^4 > 10^3$, comparable con la obtenida en esta tesis a partir de la misma consideración. Sin embargo, al comparar con la cota obtenida al restringir la variación temporal de la masa del electrón a lo largo de la historia del Universo con los datos existentes hasta el momento, se obtiene que $1,023 < G\omega/c^4 < 4,368$ (intervalo de confianza a 1σ). (Antes de la actualización de datos del 2008, habíamos obtenido $-0,615 < G\omega/c^4 < -0,045$ a 3σ). De esta comparación llegamos a la conclusión de que el modelo propuesto en Barrow & Magueijo (2005) para la variación temporal de la masa del electrón es inconsistente y debe ser descartado.

Un último comentario acerca del signo de ω . En el ajuste con datos anteriores a 2008, a 2σ , el valor de ω es negativo. Esto no debe resultar sorprendente. De hecho, términos cinéticos negativos en el Lagrangiano ya han sido considerados por otros autores, por ejemplo, en modelos de k-essence con una componente de energía *fantasma* (phantom) (Caldwell 2002). De todas maneras, con los datos actualizados esto no sucede.

Capítulo 5

Radios Planetarios

Consideremos un sistema físico en el laboratorio, libre de la acción de la gravedad. Desde el punto de vista de la termodinámica, el estado del sistema se puede describir con una función potencial *energía interna* U que depende de la entropía S , el volumen V , y el número de partículas N . Éstas son variables extensivas. Las derivadas primeras del potencial definen las variables intensivas *temperatura* T , *presión* P , y *potencial químico* μ ¹. Quedan establecidas, entonces, las llamadas *ecuaciones de estado*. En particular

$$P = - \left. \frac{\partial U}{\partial V} \right)_{S,N} . \quad (5.1)$$

Cuando sometemos el sistema a la acción de la gravedad, cada partícula del “gas” experimenta la fuerza gravitatoria, que se suma a las fuerzas internas de interacción con las otras partículas. Sin embargo, la dependencia de la energía interna U con las otras variables termodinámicas no cambia cuando el sistema está en un campo gravitacional y las ecuaciones de estado son las mismas.

Estudiemos ahora un gas autogravitante como sistema termodinámico. Supongamos que el sistema tiene simetría esférica, está en equilibrio hidrostático, y además no hay fuentes ni sumideros de masa, es decir, la masa se conserva. Para encontrar su estructura (cantidades termodinámicas en función de la coordenada radial) debemos resolver el siguiente sistema de

¹Una variable intensiva es una cantidad física cuyo valor no depende de la masa de la substancia.

ecuaciones:

$$\frac{dP}{dr} = -\frac{Gm(r)\rho(r)}{r^2} \quad (5.2)$$

$$\frac{dm(r)}{dr} = 4\pi\rho(r)r^2. \quad (5.3)$$

Es necesario, además, utilizar la ecuación de estado que relaciona la presión con la densidad. Ésta se obtiene para el sistema particular de estudio, en el laboratorio, cuando está libre de la acción de la gravedad.

El objetivo de este capítulo es encontrar cuál es la dependencia de las cantidades termodinámicas con las constantes fundamentales, y cómo se ve afectada la estructura de un planeta si las constantes fundamentales toman un valor diferente del actual. En particular, analizaremos cómo cambia el radio del planeta. Estudiaremos luego la estructura interna de tres cuerpos del sistema solar: La Tierra, el planeta Mercurio, y la Luna, y buscaremos una relación teórica entre la variación del radio y la variación de las constantes fundamentales. Para estos sistemas contamos con cotas observacionales para posibles variaciones de sus radios entre la época de formación del sistema solar y la actualidad. Con los límites observacionales, y las expresiones teóricas obtenidas, se dará una cota para la variación “local” de las constantes fundamentales en los últimos 4.000 millones de años.

5.1. Deducción teórica

Partimos del hamiltoniano de un sistema general de electrones e iones, donde despreciamos la gravedad pero consideramos la interacción electromagnética entre las partículas. Identificando el hamiltoniano con la energía interna, deducimos la dependencia con las constantes fundamentales de todas las cantidades termodinámicas.

Luego, consideramos un planeta como sistema autogravitante, y estudiamos cómo la gravedad influye en que la estructura del mismo no sea invariante frente a un cambio de escala. Asimismo, analizamos cómo la variación de las constantes fundamentales afecta la estructura del planeta, actuando a través de una modificación efectiva de la constante de gravitación de Newton.

Finalmente, deducimos una expresión para la variación del radio del planeta cuando las constantes fundamentales varían en el tiempo.

5.1.1. Hamiltoniano y cambios de escala

Sistema sin gravedad

Consideremos el hamiltoniano (en unidades cgs) de un sistema cualquiera de electrones y núcleos, tal como moléculas o sólidos, en ausencia de gravedad

$$H = \sum_i \frac{p_i^2}{2m_e} + \frac{1}{2} \sum_{i \neq j} \frac{e^2}{R_{ij}} - \frac{1}{2} \sum_{a,i} \frac{Z_a e^2}{R_{ai}} \quad (5.4)$$

en donde $R_{ij} = |\mathbf{r}_i - \mathbf{r}_j|$. El segundo término corresponde a la repulsión electrón-electrón, y el tercero a la interacción electrón-núcleo. Hemos despreciado la energía cinética de los núcleos, que es muy pequeña comparada con la de los electrones.²

Si en el hamiltoniano introducimos un factor de escala para las longitudes

$$\mathbf{r} = \beta \mathbf{x} \quad \mathbf{p} = \mathbf{y}/\beta \quad (5.5)$$

el hamiltoniano toma la forma

$$H = \frac{1}{2} \left[\frac{1}{m_e \beta^2} \sum_i y_i^2 + \frac{e^2}{\beta} \left(\sum_{i \neq j} \frac{1}{X_{ij}} - \sum_{a,i} \frac{Z_a}{X_{ai}} \right) \right]. \quad (5.6)$$

Si introducimos la representación de coordenadas $\mathbf{y} = -i\hbar\nabla$, podemos elegir β de modo tal que los coeficientes de la energía cinética y la energía potencial sean iguales

$$\frac{\hbar^2}{m_e \beta^2} = \frac{e^2}{\beta} \Rightarrow \beta = \frac{\hbar^2}{e^2 m_e} = \frac{\hbar}{\alpha m_e c} = a_B \quad (5.7)$$

donde a_B es el radio de Bohr. Con este factor de escala, el hamiltoniano toma la forma

$$H = \frac{e^2}{a_B} H_A \quad (5.8)$$

²Es la aproximación de Born-Oppenheimer. Las correcciones por movimiento de los núcleos son del orden $O(m_e/M)$.

en donde el hamiltoniano adimensional, independiente de las constantes fundamentales, es:

$$H_A = \frac{1}{2} \left[- \sum_i \nabla_i^2 + \sum_{i \neq j} \frac{1}{X_{ij}} - \sum_{a,i} \frac{Z_a}{X_{ai}} \right]. \quad (5.9)$$

Las ecuaciones (5.5) y (5.8) muestran que en condiciones adiabáticas y en ausencia de gravedad la variación de las constantes cambia las longitudes y las energías con los factores de escala

$$r = a_B x \quad E = \frac{e^2}{a_B} E_A. \quad (5.10)$$

Como consecuencia, el volumen V cambiará como

$$V = a_B^3 V_A. \quad (5.11)$$

Reescalo de variables termodinámicas

Para obtener cómo cambian otras cantidades termodinámicas, recordemos la definición de la Entalpía \mathcal{H} :

$$\mathcal{H} = U + PV = \mathcal{H}(S, P, N). \quad (5.12)$$

Por tener dimensiones de energía, su cambio frente al reescalo es

$$\mathcal{H} = \frac{e^2}{a_B} \mathcal{H}_A. \quad (5.13)$$

Por otra parte,

$$P = \frac{\partial \mathcal{H}}{\partial V} = \frac{e^2}{a_B} \frac{\partial \mathcal{H}_A}{\partial V_A} \frac{\partial V_A}{\partial V} = \frac{e^2}{a_B^4} \frac{\partial \mathcal{H}_A}{\partial V_A} = \frac{e^2}{a_B^4} P_A. \quad (5.14)$$

La compresibilidad adiabática variará como

$$\kappa_S = - \left. \frac{1}{V} \frac{\partial V}{\partial P} \right)_{S,N} = - \frac{1}{V} \mathcal{H}_{pp} = \frac{a_B^4}{e^2} \kappa_A. \quad (5.15)$$

Supongamos que las constantes fundamentales dependen del tiempo. En consecuencia, el factor de escala a_B también tendrá una dependencia temporal

$$\begin{aligned} r(t) &= a_B(t)x \\ r(t_0) &= a_B(t_0)x \end{aligned} \quad (5.16)$$

donde t_0 es el valor del tiempo hoy. Sin embargo, x no depende del tiempo, porque la dependencia temporal está en las constantes fundamentales. Por lo tanto, al hacer el cociente queda

$$r = \beta r_0 \quad (5.17)$$

donde hemos redefinido $\beta = a_B(t)/a_{B0}$, con $a_{B0} = a_B(t_0)$. También definimos por conveniencia $\gamma = \frac{e^2}{e_0^2}/\beta$. Los subíndices 0 representan las cantidades termodinámicas cuando el valor de las constantes fundamentales es el actual. De este modo, obtenemos las relaciones de escala

$$\begin{aligned} r &= \beta r_0 & V &= \beta^3 V_0 & \rho &= \beta^{-3} \rho_0 \\ \mathcal{H} &= \gamma \mathcal{H}_0 & P &= \gamma/\beta^3 P_0 & \kappa &= \beta^3/\gamma \kappa_0. \end{aligned} \quad (5.18)$$

Las relaciones termodinámicas se deducen a partir del hamiltoniano del sistema en ausencia de gravedad, por lo tanto, estas relaciones de escala siguen valiendo aún cuando estudiemos el sistema incluyendo la fuerza gravitatoria.

Sistema autogravitante

Supongamos ahora que tenemos en cuenta los efectos de la gravedad en el sistema. El hamiltoniano será

$$H = \sum_i \frac{p_i^2}{2m_e} + \frac{1}{2} \sum_{i \neq j} \frac{e^2}{R_{ij}} - \frac{1}{2} \sum_{a,i} \frac{Z_a e^2}{R_{ai}} - G \sum_{\alpha \neq \beta} \frac{m_\alpha m_\beta}{R_{\alpha\beta}} \quad (5.19)$$

donde los índices i, j hacen referencia a los electrones, a hace referencia a los núcleos, y α, β hacen referencia a cualquier partícula. En la última suma, los términos que más contribuyen son los que tienen el doble producto de las masas de los núcleos, debido a que la masa de cualquier núcleo es mucho mayor que la masa del electrón. Por ello, el hamiltoniano se puede aproximar como

$$H = \sum_i \frac{p_i^2}{2m_e} + \frac{1}{2} \sum_{i \neq j} \frac{e^2}{R_{ij}} - \frac{1}{2} \sum_{a,i} \frac{Z_a e^2}{R_{ai}} - G \sum_{a \neq b} \frac{m_a m_b}{R_{ab}} \quad (5.20)$$

donde nuevamente a y b hacen referencia a los núcleos del sistema.

En este caso, el cambio de variables

$$\mathbf{r} = \beta \mathbf{x} \quad \mathbf{p} = \mathbf{y}/\beta \quad (5.21)$$

no nos permitirá expresar al hamiltoniano como un factor de escala por un hamiltoniano adimensional, independiente de las constantes fundamentales.

Sin embargo, las relaciones de escala para las cantidades termodinámicas se mantienen, y las usaremos en las secciones siguientes, dado que nos interesan las ecuaciones de estado, que se calculan a partir del hamiltoniano libre de gravedad. Por último destacamos que el subíndice 0 no hará referencia a las cantidades “hoy”, sino a las cantidades reescaladas con un factor que tiene en cuenta el valor de las constantes al tiempo t , y el valor actual. Esto será explicado mejor en las secciones subsiguientes.

5.1.2. Ecuación de equilibrio hidrostático

Retomemos el estudio de un sistema autogravitante, con simetría esférica, en equilibrio hidrostático, en el cual la masa se conserva. Veamos cómo se modifica la ecuación de equilibrio hidrostático cuando reescalamos las cantidades termodinámicas. Supongamos que las constantes fundamentales α y m_e pueden tener valores arbitrarios, diferentes de sus valores actuales. Usaremos la *hipótesis adiabática*, que establece que en presencia de una variación adiabática de las constantes fundamentales, la forma de las ecuaciones no cambia.

Con esta condición, la ecuación de equilibrio hidrostático toma la forma habitual:

$$\frac{dP}{dr} = -G \frac{m(r)\rho(r)}{r^2} \quad (5.22)$$

en donde

$$m(r) = 4\pi \int_0^r \rho(r')r'^2 dr' \quad (5.23)$$

En estas ecuaciones tanto α como m_e pueden variar lentamente con el tiempo.³

El sistema está en equilibrio, tiene un radio total R y una estructura radial en las cantidades termodinámicas dada por las funciones

³“Lentamente” significa que la escala de tiempo de variación es mucho más grande que las escalas típicas en el sistema solar.

$P(r)$	Presión	
$\rho(r)$	Densidad	
$d(r) = r$	Distancia desde el centro hasta cierta capa	
$\kappa_S(r)$	Compresibilidad adiabática	(5.24)

donde r es la coordenada radial que va desde 0 a R .

Supongamos que $r = a_B x$, es decir, medimos r en unidades de radios de Bohr a_B . Si hacemos un cambio de escala en el sistema⁴, y ahora medimos en unidades de a_{B0} , estamos cambiando la parametrización, y $r_0 = a_{B0} x$. El cambio de escala queda definido por $r = \frac{a_B}{a_{B0}} r_0 = \beta r_0$. Las variables termodinámicas cambian según

$$P(r) = \frac{\gamma}{\beta^3} P_0(r_0) \quad \rho(r) = \beta^{-3} \rho_0(r_0) \quad \kappa = \frac{\beta^3}{\gamma} \kappa_0(r_0). \quad (5.25)$$

Cuando reescalamos las longitudes, $d(R) = R_0$, tal que $R = \beta R_0$. Sin embargo, esto no significa que el nuevo radio del planeta sea R_0 . Esto se debe a que el hamiltoniano con gravedad no es invariante de escala, y por lo tanto, la configuración de equilibrio del planeta puede ser diferente si las constantes fundamentales tienen un valor distinto del actual. Esto implica que la nueva configuración de equilibrio es tal que el nuevo radio es \tilde{R}_0 , y la estructura del planeta es

$\tilde{P}(r_0)$	Presión	
$\tilde{\rho}(r_0)$	Densidad	
$\tilde{d}(r_0) \neq r_0$	Distancia desde el centro hasta cierta capa	
$\tilde{\kappa}_S(r_0)$	Compresibilidad adiabática	(5.26)

donde r_0 es la coordenada radial que va desde 0 a R_0 .

Veamos cómo cambia la ecuación de equilibrio hidrostático cuando hacemos este cambio de escala. Vamos a hacer la aproximación de que la masa se conserva⁵, es decir la masa m en un punto r medida en el sistema de coordenadas S es la misma que la masa m_0 en el punto r_0 medida en el sistema

⁴Similar a la expansión del Universo.

⁵Dado que la masa del electrón es mucho menor que la masa del protón y de bariones más pesados, el cambio en la masa por el reescalado es despreciable.

de coordenadas S_0 , donde $r = \beta r_0$. Es decir,

$$m(r) = m_0(r_0). \quad (5.27)$$

Asimismo, relacionamos la densidad en uno y otro sistema de coordenadas

$$\rho(r) = \frac{m(r)}{4/3\pi r^3} = \frac{1}{\beta^3} \frac{m(r)}{4/3\pi r_0^3} = \frac{1}{\beta^3} \frac{m_0(r_0)}{4/3\pi r_0^3} = \frac{1}{\beta^3} \rho_0(r_0). \quad (5.28)$$

Reemplazando en la ecuación de equilibrio hidrostático

$$\frac{d(\gamma/\beta^3 P_0)}{d(\beta r_0)} = -G \frac{m_0(r_0) \beta^{-3} \rho_0(r_0)}{\beta^2 r_0^2} \quad (5.29)$$

y simplificando queda

$$\frac{dP_0(r_0)}{dr_0} = -\frac{G}{\gamma\beta} \frac{m_0(r_0)\rho_0(r_0)}{r_0^2} = -G_{ef} \frac{m_0(r_0)\rho_0(r_0)}{r_0^2}. \quad (5.30)$$

Vemos que la ecuación de equilibrio hidrostático mantiene su forma si reescalamos la constante de gravitación de Newton de la siguiente manera

$$G_{ef} = \frac{G}{\gamma\beta} = \frac{G}{e^2/e_0^2} = G \left(\frac{\alpha_0}{\alpha} \right). \quad (5.31)$$

Esta G_{ef} depende del valor de la constante de estructura fina, pero no depende del valor de la masa del electrón. Así, la estructura de equilibrio del sistema, solución de la Ec. (5.30), será diferente si α varía, mientras que si m_e varía sólo se verá un cambio en el tamaño del sistema debido al reescalo, pero ningún cambio *intrínseco*. Interpretemos esto físicamente:

Cambio de m_e

El cambio en la masa del planeta por un cambio en m_e es despreciable. Bajo esta consideración, G no cambia, y tampoco lo hace el radio, más allá de un reescalo. El radio del planeta es independiente de su masa.

Cambio de α

Si α varía, cambia la fuerza electromagnética. El sistema está menos ligado si α es más pequeña, y dado que la repulsión entre los núcleos da la compresibilidad del material, éste es más compresible. El radio del planeta

es menor, debido a que la gravedad se ve resaltada; es el mismo efecto que se produciría si G fuese mayor. Es decir, se obtiene una G efectiva, tal que $G_{ef} > G$.

5.1.3. Cambios en el radio

Queremos determinar cómo se modifica el radio de un planeta si las constantes fundamentales varían. Es decir, queremos comparar \tilde{R}_0 (el radio del planeta si las constantes fundamentales tienen el valor actual), con R_0 , que es el radio del planeta si las constantes fundamentales tienen otro valor, pero medido en las mismas unidades que \tilde{R}_0 ⁶. Por lo tanto, la cantidad de interés será $\xi(M) = \tilde{R}_0 - R_0$ (ambas en unidades de a_{B0}) y no $\tilde{R}_0 - R$ (que están en distintas unidades).

Para resolver la ecuación (5.30) conviene usar la masa como variable independiente. Esto tiene la ventaja adicional que la masa es invariante en el tiempo

$$dm_0(r_0) = \rho_0(r_0)4\pi r_0^2 dr_0. \quad (5.32)$$

Sustituyendo en (5.30) e integrando entre una capa (donde la masa acumulada desde el centro sea m) y la superficie

$$P_0(m) = - \int_m^0 dP_0(m_0) = \frac{G_{ef}}{4\pi} \int_m^{M_T} \frac{m_0 dm_0}{r_0^4} \quad (5.33)$$

donde hemos usado la condición de contorno $P = 0$ en la superficie. Esta es una solución formal, dado que $r_0(m_0)$ es desconocido. La función *Presión reescalada* es $P_0(m)$.

Definamos la siguiente función

$$f(m) = \frac{1}{4\pi} \int_m^{M_T} \frac{m_0 dm_0}{r_0^4} \quad (5.34)$$

⁶Para entender esto, hacemos la siguiente analogía con la expansión del Universo y el tamaño de los cúmulos de galaxias:

El tamaño físico (no comóvil) de un cúmulo de galaxias crece con la expansión del Universo. Supongamos que queremos comparar el tamaño típico de un cúmulo actual con el tamaño de los primeros cúmulos del Universo, para determinar si hay algún tipo de evolución intrínseca. Al mirar los cúmulos lejanos, los estamos viendo cómo eran en el pasado, cuando el factor de expansión era $a(t)$, menor que el actual a_0 . Para comparar el tamaño en aquella época con el tamaño hoy, tenemos que reescalar el tamaño del cúmulo lejano, de manera tal de simular que el Universo ya se expandió, y luego comparar con el tamaño hoy. En otras palabras, se debe medir en las mismas unidades para poder comparar.

es decir

$$P_0(m) = G_{ef}f(m). \quad (5.35)$$

¿Qué representan las cantidades con subíndice 0?

Si hubiesemos partido de un planeta de masa M_T , con distribución de presión $P_0(r_0)$ y de densidad $\rho_0(r_0)$, y hubiesemos reescalado con β tal que sólo varíe m_e , hubieramos llegado a la distribución $P(r)$ y $\rho(r)$ en equilibrio hidrostático, y al radio R , tal que $R = \beta R_0$. En este caso, las cantidades con subíndice 0 representan la estructura del planeta *hoy*.

En cambio, si varía α no podemos partir de (P, ρ, R) , hacer el mismo reescalado y llegar a (P_0, ρ_0, R_0) en equilibrio hidrostático. Las cantidades con subíndice 0 sólo son un reescalado, pero no representan la estructura del planeta *hoy*.

Al resolver la ecuación de equilibrio hidrostático reescalada, tenemos la presión reescalada:

$$P_0(m) = G_{ef}f(m). \quad (5.36)$$

Si α varía, $G_{ef} \neq G$, mientras que si sólo m_e varía, $G_{ef} = G$. Además, si $G_{ef} = G$, P_0 coincide con la presión actual \tilde{P}_0 . En cambio, si $G_{ef} \neq G$, P_0 es la presión reescalada, pero no coincide con la distribución de presión hoy.

Supongamos que tenemos un cambio en P_0 dado por un cambio en G_{ef} (punto a punto en la coordenada masa). En este caso,

$$\frac{\Delta P_0}{P_0} \simeq \frac{\Delta G_{ef}}{G} \quad \text{significa} \quad \frac{\tilde{P}_0 - P_0}{\tilde{P}_0} \simeq \frac{G - G_{ef}}{G}. \quad (5.37)$$

donde hemos despreciado el cambio en $f(m)$ por un cambio en G_{ef} , de manera análoga al tratamiento de Will (1981).

Vale aclarar que en cada punto las relaciones termodinámicas para las distribuciones P_0 y \tilde{P}_0 son las mismas, por lo que en ambos casos vale

$$\kappa_0 = -\frac{1}{V_0} \frac{\partial V_0}{\partial P_0}. \quad (5.38)$$

Si la presión reescalada cambia por variación de las constantes fundamentales, produciendo un ΔP_0 , el cambio en el volumen será ΔV_0 , que será la diferencia entre el elemento de volumen hoy y el elemento del volumen en coordenadas reescaladas.

Sea la transformación

$$\vec{r}_0(m) = \vec{r}_0(m) + \vec{\xi}(m) \quad (5.39)$$

que mide el desplazamiento de una capa de masa por variación de las constantes fundamentales. Entonces $\xi(M_T)$ es la diferencia entre el radio real hoy, y el radio reescalado en el pasado, si las constantes toman otro valor.

Sea la transformación $T : W \subset \mathbf{R}^3 \rightarrow \mathbf{R}^3$ dada por la Ec. (5.39). Escrita en componentes es

$$\begin{aligned} \tilde{x}_0 &= x_0 + \xi_1 \\ \tilde{y}_0 &= y_0 + \xi_2 \\ \tilde{z}_0 &= z_0 + \xi_3. \end{aligned} \quad (5.40)$$

El Jacobiano de T mide cómo se distorsionan los volúmenes por la transformación. Así, V_0 se transforma en $\tilde{V}_0 = JV_0$, con

$$J = \left| \frac{\partial(\tilde{x}_0, \tilde{y}_0, \tilde{z}_0)}{\partial(x_0, y_0, z_0)} \right| = \det \begin{pmatrix} 1 + \frac{\partial \xi_1}{\partial x_0} & \frac{\partial \xi_2}{\partial x_0} & \frac{\partial \xi_3}{\partial x_0} \\ \frac{\partial \xi_1}{\partial y_0} & 1 + \frac{\partial \xi_2}{\partial y_0} & \frac{\partial \xi_3}{\partial y_0} \\ \frac{\partial \xi_1}{\partial z_0} & \frac{\partial \xi_2}{\partial z_0} & 1 + \frac{\partial \xi_3}{\partial z_0} \end{pmatrix} \simeq 1 + \vec{\nabla}_0 \cdot \vec{\xi} + O(2) \quad (5.41)$$

donde hemos considerado que la transformación es diferencial. De esta manera,

$$\frac{\Delta V_0}{V_0} = \frac{\tilde{V}_0 - V_0}{V_0} \simeq \vec{\nabla}_0 \cdot \vec{\xi} \quad (5.42)$$

donde ΔV_0 significa la diferencia entre el volumen real y el reescalado (a una dada masa acumulada m) y V_0 significa el volumen reescalado. Suponiendo que $\vec{\xi}$ es radial, y tomando la divergencia en coordenadas esféricas,

$$\vec{\nabla}_0 \cdot \vec{\xi} = \frac{1}{r_0^2} \frac{d(r_0^2 \xi)}{dr_0}. \quad (5.43)$$

De

$$\kappa_0 = -\frac{1}{V_0} \frac{\partial V_0}{\partial P_0} \quad (5.44)$$

llegamos a que

$$\Delta P_0 = -\frac{1}{\kappa_0} \frac{\Delta V_0}{V_0} = -\frac{1}{\kappa_0} \vec{\nabla}_0 \cdot \vec{\xi} = -\frac{1}{\kappa_0} \frac{1}{r_0^2} \frac{d(r_0^2 \xi)}{dr_0}, \quad (5.45)$$

por lo que

$$\Delta P_0 = \frac{\Delta G_{ef}}{G} P_0 = -\frac{1}{\kappa_0} \frac{1}{r_0^2} \frac{d(r_0^2 \xi)}{dr_0}. \quad (5.46)$$

De aquí

$$\frac{d(r_0^2 \xi)}{dr_0} = -\frac{\Delta G_{ef}}{G} P_0 \kappa_0(r_0) r_0^2. \quad (5.47)$$

Entonces

$$\xi(r_0) = -\frac{\Delta G_{ef}}{G} \frac{1}{r_0^2} \int_0^{r_0} P_0(r'_0) \kappa_0(r'_0) r_0'^2 dr'_0. \quad (5.48)$$

En su estudio acerca de consecuencias observables de posibles violaciones al Principio de Equivalencia Fuerte, Will (1981) presenta una expresión equivalente a ésta, aunque en otro contexto y deducida a partir de consideraciones diferentes.

Escribiendo (5.48) en función de la masa, y evaluando en M_T , llegamos a

$$\xi(M_T) = -\frac{\Delta G_{ef}}{G} \frac{1}{R_0(M_T)^2} \int_0^{R_0} P_0(r'_0) \kappa_0(r'_0) r_0'^2 dr'_0 \quad (5.49)$$

donde R_0 es el radio reescalado, que lo aproximamos por el radio actual \tilde{R}_0 , $P_0(r')$ es la distribución real de presión hoy, y $\kappa_0(r'_0)$ es la reescalada, pero que la aproximamos por la real hoy. La justificación para aproximar el radio es la siguiente

$$R_0(M_T) = \tilde{R}_0(M_T) - \xi(M_T) = \tilde{R}_0(M_T) \left(1 - \frac{\xi(M_T)}{\tilde{R}_0(M_T)} \right) \simeq \tilde{R}_0(M_T) \quad (5.50)$$

porque en la Ec. (5.49) ya estamos a orden $O(\frac{\Delta G_{ef}}{G})$. Asimismo

$$\frac{1}{R_0(M)^2} = \frac{1}{\tilde{R}_0(M_T)^2} \frac{1}{\left(1 - \frac{\xi(M_T)}{\tilde{R}_0(M_T)} \right)^2} \simeq \frac{1}{\tilde{R}_0(M_T)^2} \quad (5.51)$$

al orden en el que estamos trabajando.

Por otra parte, justificamos que $\kappa_0(r'_0)$ es aproximadamente la distribución real por lo siguiente. Las relaciones termodinámicas se deducen a partir del hamiltoniano sin gravedad. Al reescalar de manera de expresar las cantidades termodinámicas en función de los que valen con las constantes fundamentales actuales, encontramos las mismas relaciones termodinámicas que

encontraríamos hoy. Para ver que la función es la misma (porque $R_0 \neq \tilde{R}_0$)

$$\kappa_0(r'_0) = \kappa_0(r_{verd}) + \left. \frac{\partial \kappa_0}{\partial r} \right)_{verd} \cdot (r_{verd} - r') \quad (5.52)$$

y $(r_{verd} - r') \sim \xi$, por lo cual lo despreciamos.

Por lo tanto, el cambio en el radio del planeta en unidades de a_{B0} será

$$\Delta R = \xi(M_T) = -\frac{\Delta G_{ef}}{G} \frac{1}{\tilde{R}_0^2} \int_0^{\tilde{R}_0} P_0(r'_0) \kappa_0(r'_0) r_0'^2 dr'_0. \quad (5.53)$$

5.2. Modelado de los planetas

La variación temporal de las constantes fundamentales produce una alteración en el valor de la constante de Newton efectiva G_{ef} . Esto, a su vez, provoca cambios en la estructura interna de los planetas.

Ajustaremos el valor de $\Delta G_{ef}/G$ utilizando las cotas observacionales para la variación de los radios de la Tierra, Mercurio y la Luna, presentados por McElhinny et al. (1978). Luego, haremos una estimación para $\Delta\alpha/\alpha_0$ entre la época de formación del sistema solar y la actualidad.

Sin embargo, para poder relacionar $\Delta G_{ef}/G$ con ΔR es necesario modelar la estructura interna de los planetas mencionados anteriormente.

5.2.1. Estructura de la Tierra

Las ondas sísmicas proveen una manera de explorar el interior de la Tierra, y su comportamiento predictivo hace posible obtener modelos de alta resolución de las propiedades internas de nuestro planeta.

Consideremos que la Tierra tiene simetría esférica, y que sus propiedades termodinámicas en función del radio están bien descritas por el *Preliminary Reference Earth Model* (PREM) (Lay, T. and Wallace, T. 1995) (ver Tabla A.1). Los parámetros de dicho modelo son la densidad ρ , las velocidades de ondas sísmicas P y S , el coeficiente de atenuación de *shear* Q_μ , el módulo de bulk adiabático o incompresibilidad K_S , la rigidez μ , la presión y la gravedad.

El módulo de bulk o incompresibilidad K se define como la resistencia de un material al cambio de volumen, cuando está sujeto a presión. Si ΔV es el cambio de volumen por un cambio de presión ΔP , tenemos

$$\frac{\Delta V}{V} = \frac{-\Delta P}{K} \quad (5.54)$$

es decir que $K = 1/\kappa$, donde κ es la compresibilidad.

Para estimar el valor de la integral involucrada en la expresión de ΔR para el caso de la Tierra, dividimos al planeta en capas y, llamando r_i al radio de cada capa i , hacemos la siguiente aproximación:

$$\int_0^R P(r')\kappa_S(r')r'^2 dr' \simeq \sum_{i=1}^N P(r_i)\kappa_S(r_i)r_i^2(r_i - r_{i-1}). \quad (5.55)$$

Usando esta aproximación en la Ec. (5.53), obtenemos la relación:

$$\frac{\Delta R}{\left(\frac{\Delta G_{ef}}{G}\right)} = -288,09 \text{ km}. \quad (5.56)$$

Considerando que el radio actual de la Tierra es $\tilde{R}_0 = 6371 \text{ km}$ (según el modelo PREM), se obtiene

$$\frac{\Delta R}{\tilde{R}_0} = -0,04522 \left(\frac{\Delta G_{ef}}{G}\right). \quad (5.57)$$

5.2.2. Estructura de Mercurio

Para calcular la cota sobre el radio de Mercurio, necesitamos conocer la presión y la compresibilidad en función de la coordenada radial. Usamos los modelos calculados por Harder & Schubert (2001), de los cuales, elegimos el presentado en Spohn et al. (2001). Éste es un modelo con simetría esférica, de dos capas: un núcleo de hierro, de densidad $\rho_c = 8 \text{ gcm}^{-3}$ y un manto de silicatos, con una densidad de $\rho_m = 3,35 \text{ gcm}^{-3}$. El radio de Mercurio es $R = 2439 \text{ km}$, y el radio del núcleo es $R_c = 1860 \text{ km}$.

Cálculos para la presión

Para encontrar la presión en función del radio, suponemos que el planeta está en equilibrio termodinámico, es decir que se satisface

$$\frac{dP}{dr} = -G \frac{m(r)\rho(r)}{r^2} \quad (5.58)$$

entonces

$$\int_R^r dP = P(r) - P(R) = P(r) = - \int_R^r \frac{Gm(r')\rho(r')}{r'^2} dr' \quad (5.59)$$

donde hemos considerado que $P(R) = 0$. Teniendo en cuenta que

$$m(r) = 4\pi \int_0^r \rho(x)x^2 dx \quad (5.60)$$

y llamando

$$g(r) = \frac{Gm(r)}{r^2} \quad (5.61)$$

escribimos

$$P(r) = \int_r^R g(r')\rho(r')dr'. \quad (5.62)$$

Buscamos la expresión para la presión dentro y fuera del núcleo.

Dentro del núcleo

Para $0 \leq r < R_c$ separamos la integral (5.62) en dos partes

$$P(r) = \int_r^{R_c} g(r')\rho(r')dr' + \int_{R_c}^R g(r')\rho(r')dr'. \quad (5.63)$$

En la primera integral, $r < R_c$, es decir $\rho(r') = \rho_c$, por lo tanto, la resolvemos de la siguiente manera

$$\int_r^{R_c} g(r')\rho(r')dr' = 4\pi G\rho_c \int_r^{R_c} \frac{1}{r'^2} \int_0^{r'} \rho(x)x^2 dx dr'. \quad (5.64)$$

Ahora $0 \leq x \leq r' < R_c$, y por ende $\rho(x) = \rho_c$. De esta manera,

$$\int_r^{R_c} g(r')\rho(r')dr' = 4\pi G\rho_c^2 \int_r^{R_c} \frac{1}{r'^2} \int_0^{r'} x^2 dx dr' = 4\pi G\rho_c^2 \frac{1}{6}(R_c^2 - r^2). \quad (5.65)$$

Resolvemos ahora la segunda integral, donde $R_c < r' < R$, y por lo tanto, $\rho(r') = \rho_m$

$$\int_{R_c}^R g(r')\rho(r')dr' = 4\pi G\rho_m \int_{R_c}^R \frac{1}{r'^2} \int_0^{r'} \rho(x)x^2 dx dr'. \quad (5.66)$$

Separamos la integral en la variable x de la siguiente manera

$$\int_0^{r'} \rho(x)x^2 dx = \rho_c \int_0^{R_c} x^2 dx + \rho_m \int_{R_c}^{r'} x^2 dx = \rho_c \frac{R_c^3}{3} + \rho_m \frac{(r'^3 - R_c^3)}{3}. \quad (5.67)$$

Reemplazando en la ecuación (5.66),

$$\int_{R_c}^R g(r')\rho(r')dr' = 4\pi G \left[\rho_m (\rho_c - \rho_m) \frac{R_c^3}{3} \left(-\frac{1}{R} + \frac{1}{R_c} \right) + \frac{\rho_m^2}{6} (R^2 - R_c^2) \right]. \quad (5.68)$$

Por lo tanto, la presión dentro del núcleo, en función del radio, es

$$P^{(c)}(r) = 4\pi G \left[\frac{\rho_c^2}{6} (R_c^2 - r^2) + \rho_m (\rho_c - \rho_m) \frac{R_c^3}{3} \left(-\frac{1}{R} + \frac{1}{R_c} \right) + \frac{\rho_m^2}{6} (R^2 - R_c^2) \right]. \quad (5.69)$$

Fuera del núcleo

En el manto, $R_c < r < R$, por lo tanto

$$P(r) = \int_r^R g(r')\rho(r')dr' = 4\pi G \rho_m \int_r^R \frac{1}{r'^2} \int_0^{r'} \rho(x)x^2 dx dr'. \quad (5.70)$$

Aquí, $R_c < r < r' < R$, por lo tanto separamos

$$\int_0^{r'} \rho(x)x^2 dx = \rho_c \int_0^{R_c} x^2 dx + \rho_m \int_{R_c}^{r'} x^2 dx = \rho_c \frac{R_c^3}{3} + \rho_m \frac{(r'^3 - R_c^3)}{3}. \quad (5.71)$$

En consecuencia, la presión en el manto, en función del radio es

$$P^{(m)}(r) = 4\pi G \left[\rho_m (\rho_c - \rho_m) \frac{R_c^3}{3} \left(-\frac{1}{R} + \frac{1}{r} \right) + \frac{\rho_m^2}{6} (R^2 - r^2) \right]. \quad (5.72)$$

Cálculos para la compresibilidad

Para la incompresibilidad, usamos los valores del módulo de bulk de la Tabla I del trabajo de Harder & Schubert (2001) y consideramos que

$$K(P) = K_0 + \frac{\partial K}{\partial P} P. \quad (5.73)$$

Para el manto, $K_0^{(manto)} = 120\text{GPa}$, y $\frac{\partial K^{(manto)}}{\partial P} = 4,25$. Para el núcleo, $K_0^{(core)} = 127\text{GPa}$, y $\frac{\partial K^{(core)}}{\partial P} = 2,20$. Es decir que

$$K^{(m)}(P) = 120\text{ GPa} + 4,25P^{(m)} (\text{GPa}) \quad (5.74)$$

$$K^{(c)}(P) = 127\text{ GPa} + 2,20P^{(c)} (\text{GPa}) \quad (5.75)$$

$$(5.76)$$

Recordamos que la incompresibilidad K es la inversa de la compresibilidad κ .

Finalmente, buscamos la expresión para $\frac{\Delta R}{(\frac{\Delta G_{ef}}{G_{ef}})}$:

$$\begin{aligned} \frac{\Delta R}{\left(\frac{\Delta G_{ef}}{G_{ef}}\right)} &= -\frac{1}{R^2} \int_0^R K_s^{-1}(r')P(r')r'^2 dr' \\ &= -\frac{1}{R^2} \left[\int_0^{R_c} K_s^{-1(c)}(r')P^{(c)}(r')r'^2 dr' + \int_{R_c}^R K_s^{-1(m)}(r')P^{(m)}(r')r'^2 dr' \right] \end{aligned} \quad (5.77)$$

la cual se puede integrar semi-analíticamente usando el programa *Mathematica*. Para determinar en que unidades de presión quedará el resultado de la integral, analizamos las unidades de las cantidades que la componen

$$\begin{aligned} G &= (6,67428 \pm 0,00067) \times 10^{-11} \text{ m}^3 \text{ kg}^{-1} \text{ s}^{-2} \\ [r] &= \text{ km} \\ [\rho] &= \text{ g cm}^{-3}. \end{aligned} \quad (5.78)$$

Teniendo en cuenta que $1\text{ g cm}^{-3} = 10^{12} \text{ kg km}^{-3}$, y que $1\text{ Pa} = 1\text{ kg m}^{-1} \text{ s}^{-2}$, llegamos a que las unidades de $P(r)$ serán:

$$[P(r)] = 10^{12} \text{ kg km}^{-1} \text{ s}^{-2} = 10^9 \text{ Pa} = 1\text{ GPa}. \quad (5.79)$$

Por lo tanto, si medimos las distancias en km, el resultado de la Ec. (5.77) estará también en km.

$$\frac{\Delta R}{\left(\frac{\Delta G_{ef}}{G}\right)} = -48,91 \text{ km}. \quad (5.80)$$

Considerando que el radio actual de Mercurio es $\tilde{R}_0 = 2439 \text{ km}$, se obtiene

$$\frac{\Delta R}{\tilde{R}_0} = -0,02005 \left(\frac{\Delta G_{ef}}{G}\right). \quad (5.81)$$

5.2.3. Estructura de la Luna

El modelo de la Luna que vamos a considerar está descrito en Kuskov & Kronrod (1998). Se trata de un modelo con simetría esférica, que consta de zonas diferenciadas: corteza, manto y un posible núcleo. En este estudio despreciaremos el núcleo, dado que aún no se ha podido confirmar su existencia, radio y composición. Por otra parte, hay evidencias de que si existiera, debería ser pequeño (< 460 km) (Wieczorek et al. 2006). Por lo tanto, consideraremos que las características del manto inferior se extienden hasta el centro de la luna.

Las expresiones para la densidad y compresibilidad en función de la coordenada radial se obtendrán a partir de las características de la estructura interna. Por otra parte, la presión en el interior de la Luna se puede describir con la fórmula

$$P(r) = P_0 \left[1 - \left(\frac{r}{R} \right)^2 \right] \quad (5.82)$$

donde la presión central es $P_0 = 47,1$ kbar⁷, el radio medio es $R = 1738$ km, y r es la coordenada radial.

Corteza

La corteza está compuesta de una mezcla de Al-Ca, con una densidad promedio de 3 g cm^{-3} y se extiende desde la superficie hasta una profundidad de 58 km. En la interfaz corteza-manto, la densidad está en el siguiente rango: $3,24 < \rho_{m-cr} < 3,32 \text{ g cm}^{-3}$. En Kuskov & Kronrod (1998) se consideran dos modelos, según el valor de la densidad en la interfaz:

Modelo I	$\rho_{m-cr} = 3,24 \text{ g cm}^{-3}$
Modelo II	$\rho_{m-cr} = 3,32 \text{ g cm}^{-3}$.

Para hallar la compresibilidad en la corteza, suponemos que la densidad tiene un crecimiento lineal con la profundidad h , es decir

$$\rho(h) = \rho_{m-cr} + \left. \frac{d\rho}{dh} \right|_{h_{m-cr}} \cdot (h - h_{m-cr}) \quad (5.84)$$

⁷Recordemos las unidades:

$$1 \text{ kbar} = 10^3 \text{ bar} = 10^9 \text{ dy/cm}^2 = 10^9 \text{ g cm}^{-1} \text{ seg}^{-2} \quad (5.83)$$

donde h es la variable que caracteriza la profundidad y $h_{m-cr} = 58$ km es la profundidad de la interfaz corteza-manto. La densidad promedio es

$$\begin{aligned}\bar{\rho} &= \frac{1}{h_{m-cr}} \int_0^{h_{m-cr}} \left[\rho_{m-cr} + \left. \frac{d\rho}{dh} \right)_{h_{m-cr}} \cdot (h - h_{m-cr}) \right] dh \\ &= \rho_{m-cr} - \frac{1}{2} \left. \frac{d\rho}{dh} \right)_{h_{m-cr}} \cdot h_{m-cr}\end{aligned}\quad (5.85)$$

de aquí deducimos que

$$\left. \frac{d\rho}{dh} \right)_{h_{m-cr}} = \frac{2}{h_{m-cr}} (\rho_{m-cr} - \bar{\rho}), \quad (5.86)$$

por lo que podemos escribir la expresión para la densidad como

$$\rho(h) = \rho_{m-cr} + \frac{2}{h_{m-cr}} (\rho_{m-cr} - \bar{\rho}) \cdot (h - h_{m-cr}). \quad (5.87)$$

Por otra parte,

$$\kappa_S = - \left. \frac{1}{V} \frac{\partial V}{\partial P} \right)_S = \left. \frac{1}{\rho} \frac{\partial \rho}{\partial P} \right)_S = \frac{1}{\rho} \frac{d\rho}{dh} \frac{\partial h}{\partial P} = \frac{1}{\rho} \frac{d\rho}{dh} \left(\frac{\partial P}{\partial h} \right)^{-1} \quad (5.88)$$

y derivando la expresión (5.82) obtenemos la compresibilidad en función de la profundidad

$$\kappa_S(h) = \frac{1}{\rho(h)} \cdot \left. \frac{d\rho}{dh} \right)_{h_{m-cr}} \cdot \frac{R}{2P_0 \left(1 - \frac{h}{R}\right)}. \quad (5.89)$$

En función de la coordenada radial, la compresibilidad queda expresada por

$$\kappa_S(r) = \frac{1}{\rho(r)} \cdot \left. \frac{d\rho}{dh} \right)_{h_{m-cr}} \cdot \frac{R^2}{2P_0 r}. \quad (5.90)$$

Reemplazando los valores numéricos queda (para $1680 < r < 1738$ [km]):

$$\begin{aligned}\kappa_S(r) &= \frac{265,38}{\left(3,24 + \frac{0,24}{29}(1680 - r)\right) r} \frac{1}{\text{kbar}} && \text{para el Modelo I} \\ \kappa_S(r) &= \frac{353,83}{\left(3,32 + \frac{0,32}{29}(1680 - r)\right) r} \frac{1}{\text{kbar}} && \text{para el Modelo II. (5.91)}\end{aligned}$$

Manto

El manto lunar consiste en varias regiones de velocidades sísmicas constantes, separadas por fronteras discontinuas. En las Tablas 5.1 (para el Modelo I) y 5.2 (para el Modelo II), se muestra la estructura interna de la luna, dando las propiedades de las distintas capas que conforman el manto, incluyendo los valores de las velocidades medias compresional (V_P) y de shear (V_S). Las distintas capas del manto se indican con: MS I (manto superior I), MS II (manto superior II), M int. (manto intermedio), y M inf. (manto inferior).

Usaremos la siguiente relación entre las velocidades sísmicas V_P y V_S , el módulo de bulk adiabático K_S y la densidad ρ para sacar valores de la incompresibilidad para las distintas capas del manto:

$$\frac{K_S}{\rho} = V_P^2 - \frac{4}{3}V_S^2. \quad (5.92)$$

Si ρ se mide en g cm^{-3} , mientras que V_P , y V_S en km s^{-1} , las unidades de K_S son 10 kbar. Recordar que la compresibilidad κ_S es la inversa del módulo de bulk K_S .

Finalmente calculamos

$$\frac{\Delta R}{\left(\frac{\Delta G_{ef}}{G}\right)} = -\frac{1}{R^2} \int_0^R \kappa_S(r') P(r') r'^2 dr'. \quad (5.93)$$

Separamos la integral en 5 integrales, con κ_S constante en cada una de ellas

$$\begin{aligned} \frac{\Delta R}{\left(\frac{\Delta G_{ef}}{G}\right)} &= -\frac{1}{R^2} \sum_{i=1}^4 \kappa_s(r_i) P_0 \int_{r_{i-1}}^{r_i} \left[1 - \left(\frac{r'}{R}\right)^2\right] r'^2 dr' \\ &\quad - \frac{1}{R^2} P_0 \int_{R_{m-cr}}^R \kappa_s(r') \left[1 - \left(\frac{r'}{R}\right)^2\right] r'^2 dr' \\ &= -\frac{1}{R^2} \sum_{i=1}^4 \kappa_s(r_i) P_0 \left(\frac{r_i^3}{3} - \frac{r_i^5}{5R^2} - \frac{r_{i-1}^3}{3} + \frac{r_{i-1}^5}{5R^2} \right) \\ &\quad - \frac{1}{R^2} P_0 \int_{R_{m-cr}}^R \kappa_s(r') \left[1 - \left(\frac{r'}{R}\right)^2\right] r'^2 dr'. \end{aligned} \quad (5.94)$$

Por lo tanto, el resultado para el Modelo I es:

$$\frac{\Delta R}{\left(\frac{\Delta G_{ef}}{G}\right)} = -83,622 \text{ km} \quad (5.95)$$

mientras que para el Modelo II, el resultado es:

$$\frac{\Delta R}{\left(\frac{\Delta G_{ef}}{G}\right)} = -78,498 \text{ km.} \quad (5.96)$$

Considerando que el radio actual de la Luna es $\tilde{R}_0 = 1738 \text{ km}$, se obtiene para el Modelo I

$$\frac{\Delta R}{\tilde{R}_0} = -0,04811 \left(\frac{\Delta G_{ef}}{G}\right) \quad (5.97)$$

y para el Modelo II

$$\frac{\Delta R}{\tilde{R}_0} = -0,04517 \left(\frac{\Delta G_{ef}}{G}\right). \quad (5.98)$$

región	V_S [km s ⁻¹]	V_P [km s ⁻¹]	ρ [g cm ⁻³]	κ_S [kbar ⁻¹]	Prof. inicial [km]	Prof. final [km]
corteza	—	—	eq.(5.87)	eq.(5.89)	0	58
MS I	4.493	7.674	3.239	0.00097	58	270
MS II	4.464	7.674	3.260	0.00095	270	400
M int.	4.305	7.568	3.367	0.00091	400	800
M inf.	4.549	8.223	3.389	0.00074	800	núcleo

Tabla 5.1: Estructura para el Modelo I.

5.3. Ajuste y resultados

Para realizar el ajuste, utilizaremos los límites para la variación de los radios planetarios dados en McElhinny et al. (1978). Para la Tierra, estas cotas fueron obtenidas a partir de datos paleomagnéticos con un método

región	V_S [km s ⁻¹]	V_P [km s ⁻¹]	ρ [g cm ⁻³]	κ_S [kbar ⁻¹]	Prof. inicial [km]	Prof. final [km]
corteza	—	—	eq.(5.87)	eq.(5.89)	0	58
MS I	4.511	7.748	3.319	0.00092	58	270
MS II	4.461	7.772	3.319	0.00089	270	400
M int.	4.294	7.526	3.375	0.00092	400	800
M inf.	4.532	8.202	3.376	0.00074	800	núcleo

Tabla 5.2: Estructura para el Modelo II.

que compara las posiciones de regiones que presentan evidencias del campo magnético terrestre correspondientes al mismo tiempo geológico, y estima cual sería el radio de la Tierra en esa época teniendo en cuenta el posible movimiento de placas tectónicas. La cota para la Luna se obtiene estudiando su superficie y determinando la edad de sus “mares” y “tierras altas”. Así se estimó que la superficie de la Luna adquirió su forma actual hace $3,9 \times 10^9$ años, cuando tuvieron lugar los últimos eventos de mayores cambios de estructura. Finalmente, en las escarpas de la superficie de Mercurio hay evidencias de una contracción del manto que ocurrió hace más de 4×10^9 años. En la Tabla 5.3 se detallan los límites obtenidos para la variación del radio de estos planetas.

Planeta	R_a/\tilde{R}_0	edad (10^9 años)
Tierra	$1,020 \pm 0,028$	0,4
Mercurio	$1,0000 \pm 0,0004$	3,5
Luna	$1,0000 \pm 0,0006$	3,9

Tabla 5.3: Paleoradios R_a dados en función del radio actual de la Tierra, Mercurio, y la Luna.

Usaremos estos datos para realizar un ajuste de $\Delta G_{ef}/G$ y buscar una cota a la variación de la constante de estructura fina α , entre el tiempo de formación de los planetas y hoy. Supondremos que α tuvo un valor constante

en el pasado, aunque no necesariamente igual a su valor actual. Recordemos

$$\Delta R = \xi(M_T) = \tilde{R}_0 - R_0 \quad \Rightarrow \quad \frac{\Delta R}{\tilde{R}_0} = 1 - \frac{R_0}{\tilde{R}_0}. \quad (5.99)$$

siendo R_0/\tilde{R}_0 el cociente entre el paleoradio y el radio actual del planeta. En McElhinny et al. (1978) se explica que un cambio homólogo en el planeta no sería detectado por las observaciones, dado que escala todas las dimensiones lineales de igual manera. Es decir, **las cotas para la variación del radio están dadas para diferencias que excedan un simple cambio de escala. Es por eso que las cotas dadas en la Tabla 5.3 se comparan con R_0/\tilde{R}_0 de la expresión (5.99).**

Realizamos el ajuste para $\Delta G_{ef}/G$. En las secciones anteriores obtuvimos valores N_i para el cociente entre $\Delta R/\tilde{R}_0$ y $\Delta G_{ef}/G$ en el caso de la Tierra, Mercurio y la Luna. Estos valores se resumen en la Tabla 5.4. De esta manera

$$\left(\frac{R_0}{\tilde{R}_0}\right)_i = 1 - \left(\frac{\Delta R}{\tilde{R}_0}\right)_i = 1 - N_i \frac{\Delta G_{ef}}{G} \quad i = 1, 2, 3. \quad (5.100)$$

Planeta	Tierra	Mercurio	Luna (modelo I)	Luna (modelo II)
N_i	-0,04522	-0,02005	-0,04811	-0,04517

Tabla 5.4: Valores del cociente entre $\Delta R/\tilde{R}_0$ y $\Delta G_{ef}/G$ para la Tierra, Mercurio, y la Luna.

Minimizamos el χ^2 definido por

$$\chi^2 = \sum_{i=1}^3 \frac{\left[\left(1 - N_i \cdot \frac{\Delta G_{ef}}{G}\right) - \left(\frac{R_0}{\tilde{R}_0}\right)_i \right]^2}{\sigma_i^2}. \quad (5.101)$$

El valor de la cota que se obtiene para $\Delta G_{ef}/G$, ya sea que se utilice el modelo I o II para la Luna, es

$$\frac{\Delta G_{ef}}{G} = 0,000 \pm 0,011. \quad (5.102)$$

Buscamos la cota para la variación de α . Para ello, consideramos que

$$\frac{\Delta G_{ef}}{G} = \frac{G - G_{ef}}{G} = 1 - \frac{G_{ef}}{G} = 1 - \frac{\alpha_0}{\alpha}. \quad (5.103)$$

Obtenemos el siguiente ajuste

$$\frac{\Delta\alpha}{\alpha_0} = \frac{\alpha}{\alpha_0} - 1 = 0,000 \pm 0,011. \quad (5.104)$$

El límite encontrado resulta relevante por tratarse de una cota local, e independiente de otros resultados a tiempos similares. Si bien esta cota es más débil que la obtenida a partir del reactor nuclear natural que operó en Oklo hace $1,8 \times 10^9$ años, la cual tiene una precisión de 10^{-8} , o de los decaimientos β , cuya precisión es de 10^{-7} , esta cota resulta interesante por ser obtenida a partir de consideraciones muy generales, mientras que las otras aquí mencionadas se obtuvieron haciendo fuertes suposiciones en los modelos utilizados.

Capítulo 6

Resumen y Conclusiones

Esta tesis constituye un análisis de la variación de la masa del electrón m_e , y de la constante de estructura fina α , en distintas etapas de la evolución del Universo.

Una parte importante de este trabajo se focaliza en la época de formación del hidrógeno neutro, que se conoce como recombinación del Universo. Hemos estudiado el escenario estándar de la recombinación, y modificado las ecuaciones para las fracciones de ionización, para hacer posible que las constantes en estudio tomen valores arbitrarios. Sin embargo, mantenemos la forma de las ecuaciones, como propone la hipótesis adiabática cuando las variaciones son pequeñas. Analizamos las dependencias de las cantidades físicas con las constantes fundamentales, incluyendo las cantidades relevantes en la recombinación del helio, y otros fenómenos que modifican la historia de recombinación, tales como las transiciones desde los estados tripletes del nivel $n = 2$ al $n = 1$ en el hidrógeno, o el efecto del hidrógeno neutro sobre la recombinación del helio. Destacamos que las dependencias en este nuevo escenario, que se detallan en el Capítulo 2, es una de las contribuciones originales de esta tesis (Scóccola et al. 2008a). Modificamos las versiones del código RECFast que resuelven las ecuaciones de ionización en el escenario estándar y en el escenario actualizado, para poder utilizarlas luego para hacer los ajustes con los datos.

Utilizando datos del fondo cósmico de radiación, información acerca de H_0 obtenida a partir del HST Key Project, y el espectro de potencias de las galaxias del catálogo 2dFGRS, hemos encontrado límites observacionales a la variación de α y m_e entre la recombinación y la actualidad. Realizamos análisis estadísticos, donde ajustamos el valor de un conjunto de parámetros

cosmológicos, junto con la variación de las constantes. Analizamos la variación de cada una de ellas por separado, y el caso en que ambas constantes varían simultáneamente. Realizamos distintos ajustes utilizando diferentes conjuntos de datos, y comparamos nuestros resultados con los existentes en la literatura. En esta tesis se presentan resultados usando un prior de H_0 que fue calculado a partir de objetos astronómicos cercanos. Estos análisis son los únicos en la literatura donde se considera la posibilidad de que el resultado final para el valor de H_0 presentado por el HST Key Project esté afectado por la variación de las constantes, debido a que algunos de los objetos utilizados para medir H_0 se encuentran a alto redshift, donde las constantes pudieron tener un valor diferente del actual.

Se presentan cotas actualizadas con los datos de fondo cósmico de radiación incluyendo los datos de WMAP5 y el espectro de potencias del 2dFGRS, para la variación de α , la variación de m_e y la variación conjunta. Además, se estimó una relación fenomenológica entre la variación de las constantes, que fue encontrada a posteriori, en el análisis donde se variaron ambas constantes de manera independiente. Comparamos nuestros análisis con los realizados en Ichikawa et al. (2006), donde se propone que las variaciones están relacionadas a partir de una ley de potencias, motivada en el contexto de una teoría de cuerdas heteróticas, y realizan el ajuste presuponiendo dicha relación. Dado que los valores del exponente de la ley de potencias utilizada por estos autores son positivos y que del ajuste independiente que realizamos en esta tesis estimamos una correlación negativa entre las variaciones de α y m_e , concluimos que la propuesta de Ichikawa et al. (2006) debería ser descartada. Los resultados están publicados en Landau et al. (2008).

Se presenta la única cota existente para la variación de m_e entre el desacople de la materia y la radiación y la época actual, y ésta fue obtenida a partir de los datos más actualizados del fondo cósmico de radiación junto con el espectro de potencias del catálogo 2dFGRS. La cota encontrada con los datos de WMAP3 y el espectro del 2dFGRS fue publicada en Scóccola et al. (2008b), antes de que salieran publicados los datos de WMAP5.

Los datos actuales comprenden mediciones muy precisas de las anisotropías del fondo cósmico de radiación. Sin embargo, no se ha podido medir con precisión la polarización. En los próximos años, una gran cantidad de experimentos (algunos en marcha, otros previstos) permitirán obtener mediciones precisas de la polarización del fondo cósmico de radiación. Algunos de ellos son CMBPol (Fraisse et al. 2008), QUIET (Samtleben 2008), Clover (North et al. 2008), BICEP (Takahashi et al. 2008), y Planck (Dupac 2007).

Pero a pesar de que las misiones futuras tendrán mayor precisión, aún así no permitirán ajustar la variación de las constantes fundamentales con una precisión mejor que 10^{-3} .

La cotas obtenidas observacionalmente para la variación de las constantes fundamentales constituyen una de las pocas herramientas con las cuales testear teorías que intentan unificar las cuatro interacciones de la naturaleza, como hemos mencionado en la Introducción. En esta tesis, analizamos el modelo fenomenológico de Barrow-Magueijo, que propone una variación de la masa del electrón inducida por cambios de un campo escalar en el espacio-tiempo. Mejoramos las soluciones originalmente presentadas por dichos autores, teniendo en cuenta de manera más detallada la evolución del factor de expansión del Universo, y haciendo menos aproximaciones que en el trabajo original. Estimamos los parámetros del modelo usando las cotas para la variación de la masa del electrón que se obtienen en esta tesis a partir de los datos del fondo cósmico de radiación, y otros datos astronómicos y de laboratorio correspondientes a distintos tiempos cosmológicos. Por otra parte, utilizando cotas observacionales obtenidas en experimentos de Eötvös que testean la validez del Principio de Equivalencia Débil, encontramos un límite inferior para el parámetro que aparece en el Lagrangiano propuesto en este modelo, que viene de la variación en la masa del electrón inducida por cambios espaciales del campo escalar. Comparando esta última con la cota obtenida con los datos a distintos tiempos, cuando estudiamos evolución temporal del campo, se llega a la conclusión de que el modelo es inconsistente y debe ser descartado. Estos resultados fueron publicados en Scóccola et al. (2008b).

Por último, estudiamos la variación de las constantes fundamentales entre la actualidad y la época de formación de los planetas del Sistema Solar. A partir de consideración muy generales, analizamos cómo se modificaría el radio de un planeta por variación de las constantes α y m_e . Explicamos por qué la variación de la masa del electrón no induce cambios en el radio que sean factibles de ser observados. Obtenemos una cota para la variación de la constante de estructura fina a partir de límites sobre la variación del radio de la Tierra, la Luna y Mercurio, desde la época de los últimos cambios estructurales mayores en la superficie de los mismos. Si bien es una cota débil, es importante notar que se trata de un resultado local, e independiente de otras medidas. Además, fue obtenido a partir de consideraciones muy generales.

Apéndice A

Modelo *PREM*

Radio (km)	Prof. (km)	Densidad (g/cm ³)	V _p (km/s)	V _s (km/s)	Q_μ	K_{adiab} (kbar)	μ (kbar)	Presión (kbar)	Gravedad (cm/s ²)
0	6371	13.08	11.26	3.66	85	14253	1761	3638.5	0
200	6171	13.07	11.25	3.66	85	14231	1755	3628.9	73.1
400	5971	13.05	11.23	3.65	85	14164	1739	3600.3	146
600	5771	13.01	11.2	3.62	85	14053	1713	3552.7	218.6
800	5571	12.94	11.16	3.59	85	13898	1676	3486.6	290.6
1000	5371	12.87	11.1	3.55	85	13701	1630	3402.3	362
1200	5171	12.77	11.03	3.51	85	13462	1574	3300.4	432.5
1221.5	5149.5	12.76	11.02	3.5	85	13434	1567	3288.5	440
1221.5	5149.5	12.16	10.35	0	0	13047	0	3288.5	440
1400	4971	12.06	10.24	0	0	12679	0	3187.4	494.1
1600	4771	11.94	10.12	0	0	12242	0	3061.4	555.4
1800	4571	11.8	9.98	0	0	11775	0	2922.2	616.6
2000	4371	11.65	9.83	0	0	11273	0	2770.4	677.1
2200	4171	11.48	9.66	0	0	10735	0	2606.8	736.4
2400	3971	11.29	9.48	0	0	10158	0	2432.4	794.2
2600	3771	11.08	9.27	0	0	9542	0	2248.4	850.2
2800	3571	10.85	9.05	0	0	8889	0	2055.9	904.1
3000	3371	10.6	8.79	0	0	8202	0	1856.4	955.7
3200	3171	10.32	8.51	0	0	7484	0	1651.2	1004.6

Tabla A.1: Parámetros del modelo PREM

Radio (km)	Prof. (km)	Densidad (g/cm ³)	Vp (km/s)	Vs (km/s)	Q_μ	K_{adiab} (kbar)	μ (kbar)	Presión (kbar)	Gravedad (cm/s ²)
3400	2971	10.02	8.19	0	0	6743	0	1441.9	1050.6
3480	2891	9.9	8.06	0	0	6441	0	1357.5	1068.2
3480	2891	5.56	13.71	7.26	312	6556	2938	1357.5	1068.2
3600	2771	5.5	13.68	7.26	312	6440	2907	1287	1052
3800	2571	5.4	13.47	7.18	312	6095	2794	1173.4	1030.9
4000	2371	5.3	13.24	7.09	312	5744	2675	1063.8	1015.8
4200	2171	5.2	13.01	7.01	312	5409	2559	957.6	1005.3
4400	1971	5.1	12.78	6.91	312	5085	2445	854.3	998.5
4600	1771	5	12.54	6.82	312	4766	2331	753.5	994.7
4800	1571	4.89	12.29	6.72	312	4448	2215	655.2	993.1
5000	1371	4.78	12.02	6.61	312	4128	2098	558.9	993.2
5200	1171	4.67	11.73	6.5	312	3803	1979	464.8	994.6
5400	971	4.56	11.41	6.37	312	3471	1856	372.8	996.9
5600	771	4.44	11.06	6.24	312	3133	1730	282.9	998.8
5650	721	4.41	10.91	6.09	312	3067	1639	260.7	1000.6
5701	670	4.38	10.75	5.94	312	2999	1548	238.3	1001.4
5701	670	3.99	10.26	5.57	143	2556	1239	238.3	1001.4
5771	600	3.97	10.15	5.51	143	2489	1210	210.4	1000.3
5871	500	3.84	9.64	5.22	143	2181	1051	171.3	998.8
5921	450	3.78	9.38	5.07	143	2037	977	152.2	997.9
5971	400	3.72	9.13	4.93	143	1899	906	133.5	996.8
5971	400	3.54	8.9	4.76	143	1735	8.6	133.5	996.8
6061	310	3.48	8.73	4.7	143	1630	773	102	993.6

Tabla A.2: Parámetros del modelo PREM (cont.)

Radio (km)	Prof. (km)	Densidad (g/cm ³)	V _p (km/s)	V _s (km/s)	Q_μ	K_{adiab} (kbar)	μ (kbar)	Presión (kbar)	Gravedad (cm/s ²)
6106	265	3.46	8.64	4.67	143	1579	757	86.4	992
6151	220	3.43	8.55	4.64	143	1529	741	71.1	990.4
6151	220	3.35	7.98	4.41	80	1270	656	71.1	990.4
6186	185	3.36	8.01	4.43	80	1278	660	59.4	989.1
6221	150	3.36	8.03	4.44	80	1287	665	47.8	987.8
6256	115	3.37	8.05	4.45	80	1295	669	36.1	986.6
6291	80	3.37	8.07	4.46	80	1303	674	24.5	985.5
6291	80	3.37	8.07	4.46	600	1303	674	24.5	985.5
6311	60	3.37	8.08	4.47	600	1307	677	17.8	984.9
6331	40	3.37	8.1	4.48	600	1311	680	11.2	984.3
6346.6	24.4	3.38	8.11	4.49	600	1315	682	6	983.9
6346.6	24.4	2.9	6.8	3.9	600	753	441	6	983.9
6356	15	2.9	6.8	3.9	600	753	441	3.3	983.3
6356	15	2.6	5.8	3.2	600	520	266	3.3	983.3
6368	3	2.6	5.8	3.2	600	520	266	0.3	982.2
6368	3	1.02	1.45	0	0	21	0	0.2	982.2
6371	0	1.02	1.45	0	0	21	0	0	981.5

Tabla A.3: Parámetros del modelo PREM (cont.)

Apéndice B

Integrales I

Tenemos que resolver esta ecuación diferencial:

$$d\phi = - \frac{M \Omega_{\Lambda_0}}{H_0^2 \Omega_{M_0}} \frac{\left(\tau - \frac{H_0 A}{M}\right)}{\sinh^2 \left[\frac{3}{2} \sqrt{\Omega_{\Lambda_0}} \tau + C'\right]} d\tau \quad (\text{B.1})$$

es decir, algo de la forma:

$$\int \frac{a+x}{\sinh^2(c+bx)} dx = \underbrace{a \int \frac{dx}{\sinh^2(c+bx)}}_I + \underbrace{\int \frac{x dx}{\sinh^2(c+bx)}}_{II} \quad (\text{B.2})$$

Sea

$$y = c + bx \quad \Rightarrow \quad dy = b dx \quad \Rightarrow \quad dx = \frac{1}{b} dy$$

$$I = a \int \frac{dx}{\sinh^2(c+bx)} = \frac{a}{b} \int \frac{dy}{\sinh^2 y} = -\frac{a}{b} \coth y = -\frac{a}{b} \coth(c+bx) \quad (\text{B.3})$$

ya que

$$\frac{d(-\coth y)}{dy} = \frac{d}{dy} \left(-\frac{\cosh y}{\sinh y} \right) = -\frac{\sinh^2 y - \cosh^2 y}{\sinh^2 y} = \frac{1}{\sinh^2 y} \quad (\text{B.4})$$

Por otra parte,

$$\begin{aligned}
II &= \int \frac{x \, dx}{\sinh^2(c + bx)} = \frac{1}{b^2} \int \frac{(y - c) \, dy}{\sinh^2 y} = \frac{1}{b^2} \left[\int \frac{y \, dy}{\sinh^2 y} - c \underbrace{\int \frac{dy}{\sinh^2 y}}_{-\coth y} \right] \\
&= \frac{1}{b^2} \int \frac{y \, dy}{\sinh^2 y} + \frac{c}{b^2} \coth y \quad (B.5)
\end{aligned}$$

Calculamos ahora

$$\int \frac{y \, dy}{\sinh^2 y} = -y \coth y + \int \coth y \, dy \quad (B.6)$$

donde hemos integrado por partes. Además:

$$\int \coth y \, dy = \int \frac{\cosh y \, dy}{\sinh y} = \ln(\sinh y) \quad (B.7)$$

Entonces,

$$\int \frac{y \, dy}{\sinh^2 y} = -y \coth y + \ln(\sinh y) \quad (B.8)$$

Por lo tanto:

$$\begin{aligned}
II &= \frac{1}{b^2} (-y \coth y + \ln(\sinh y)) + \frac{c}{b^2} \coth y \\
&= -\frac{(c + bx)}{b^2} \coth(c + bx) + \frac{1}{b^2} \ln(\sinh(c + bx)) + \frac{c}{b^2} \coth(c + bx) \quad (B.9)
\end{aligned}$$

En definitiva:

$$\int \frac{a + x}{\sinh^2(c + bx)} \, dx = -\frac{(x + a)}{b} \coth(c + bx) + \frac{1}{b^2} \ln(\sinh(c + bx)) \quad (B.10)$$

Reemplazando las cantidades originales, llegamos a esta expresión:

$$\begin{aligned}
\phi^\Lambda - \phi_0 &= \frac{M \Omega_{\Lambda_0}}{H_0^2 \Omega_{M_0}} \times \\
&\times \left[\frac{2 \left(\tau - \frac{H_0 A}{M} \right)}{3\sqrt{\Omega_{\Lambda_0}}} \coth \left(C' + \frac{3}{2} \sqrt{\Omega_{\Lambda_0}} \tau \right) - \frac{4}{9\Omega_{\Lambda_0}} \ln \left(\sinh \left(C' + \frac{3}{2} \sqrt{\Omega_{\Lambda_0}} \tau \right) \right) - \right. \\
&\left. - \frac{2 \left(\tau_0 - \frac{H_0 A}{M} \right)}{3\sqrt{\Omega_{\Lambda_0}}} \coth \left(C' + \frac{3}{2} \sqrt{\Omega_{\Lambda_0}} \tau_0 \right) + \frac{4}{9\Omega_{\Lambda_0}} \ln \left(\sinh \left(C' + \frac{3}{2} \sqrt{\Omega_{\Lambda_0}} \tau_0 \right) \right) \right]
\end{aligned} \tag{B.11}$$

Reemplazando el valor de τ_0 , reordenando términos y llamando $\gamma = \sqrt{\Omega_{\Lambda_0}/\Omega_{M_0}}$, la solución para la época de dominio de materia más constante cosmológica es:

$$\begin{aligned}
\phi^\Lambda(\tau) &= \phi_0 + \frac{M}{H_0^2} \frac{2}{3\Omega_{M_0}} \left[\sqrt{\Omega_{\Lambda_0}} \tau \coth \left(C' + \frac{3}{2} \sqrt{\Omega_{\Lambda_0}} \tau \right) \right. \\
&\left. - \frac{2}{3} \ln \left(\sinh \left(C' + \frac{3}{2} \sqrt{\Omega_{\Lambda_0}} \tau \right) \right) + \frac{2}{3} \left(\ln \gamma - \frac{\sqrt{1+\gamma^2}}{\gamma} \left[C' + \ln \left(\gamma + \sqrt{1+\gamma^2} \right) \right] \right) \right] + \\
&\quad + \frac{A}{H_0} \frac{2\sqrt{\Omega_{\Lambda_0}}}{3\Omega_{M_0}} \left[-\coth \left(C' + \frac{3}{2} \sqrt{\Omega_{\Lambda_0}} \tau \right) + \frac{\sqrt{1+\gamma^2}}{\gamma} \right]
\end{aligned}$$

Esta solución vale desde el momento de ajuste, τ_A (donde los dos regímenes se superponen), hasta hoy, τ_0 . Evaluamos la Ec. (B.11) en τ_A :

$$\begin{aligned}
\phi_A &= \phi_0 + \frac{M \Omega_{\Lambda_0}}{H_0^2 \Omega_{M_0}} \left[\frac{2}{3\sqrt{\Omega_{\Lambda_0}}} \left(\tau_A - \frac{H_0 A}{M} \right) \sqrt{\xi + 1} - \frac{4}{9\Omega_{\Lambda_0}} \ln(\xi^{-1/2}) - \right. \\
&\quad \left. - \frac{2}{3\sqrt{\Omega_{\Lambda_0}}} \left(\tau_0 - \frac{H_0 A}{M} \right) \frac{\sqrt{1+\gamma^2}}{\gamma} + \frac{4}{9\Omega_{\Lambda_0}} \ln \gamma \right]
\end{aligned} \tag{B.12}$$

Apéndice C

Integrales II

La ecuación a integrar es:

$$\int_{\phi_A}^{\phi} d\phi' = \int_{\eta_A}^{\eta} \frac{-\frac{M}{2H_0}\eta'^2 \left(\frac{\Omega_{M_0}}{6}\eta' + \sqrt{\Omega_{R_0}}\right) + A}{H_0\eta'^2 \left(\frac{\Omega_{M_0}}{4}\eta' + \sqrt{\Omega_{R_0}}\right)^2} d\eta' \quad (\text{C.1})$$

Por lo tanto, integramos la siguiente integral indefinida:

$$\begin{aligned} I &= \int \frac{-\frac{M}{2H_0}\eta^2 \left(\frac{\Omega_{M_0}}{6}\eta + \sqrt{\Omega_{R_0}}\right) + A}{H_0\eta^2 \left(\frac{\Omega_{M_0}}{4}\eta + \sqrt{\Omega_{R_0}}\right)^2} d\eta \\ &= -\frac{M}{2H_0^2\sqrt{\Omega_{R_0}}} \int \frac{\left(\frac{\Omega_{M_0}}{6\sqrt{\Omega_{R_0}}}\eta + 1\right)}{\left(\frac{\Omega_{M_0}}{4\sqrt{\Omega_{R_0}}}\eta + 1\right)^2} d\eta \\ &\quad + \frac{A}{H_0\Omega_{R_0}} \int \frac{1}{\eta^2 \left(\frac{\Omega_{M_0}}{4\sqrt{\Omega_{R_0}}}\eta + 1\right)^2} d\eta \end{aligned} \quad (\text{C.2})$$

Sea $\beta = \Omega_{M_0}/\sqrt{\Omega_{R_0}}$, $a = \beta/6$ y $b = \beta/4$ ($a = 2b/3$),

$$I = -\frac{M}{2H_0^2\sqrt{\Omega_{R_0}}} \int \frac{a\eta + 1}{(b\eta + 1)^2} d\eta + \frac{A}{H_0\Omega_{R_0}} \int \frac{d\eta}{\eta^2 (b\eta + 1)^2} \quad (\text{C.3})$$

Primero resolvemos:

$$\begin{aligned}
\int \frac{a\eta + 1}{(b\eta + 1)^2} d\eta &= \frac{a}{b} \int \frac{b\eta + b/a + 1 - 1}{(b\eta + 1)^2} d\eta \\
&= \frac{a}{b} \left[\int \frac{d\eta}{(b\eta + 1)} + \left(\frac{b}{a} - 1 \right) \int \frac{d\eta}{(b\eta + 1)^2} \right] \\
&= \frac{a}{b^2} \ln(b\eta + 1) + \frac{a - b}{b^2} \frac{1}{(b\eta + 1)} \\
&= \frac{2}{3b} \ln(b\eta + 1) - \frac{1}{3b} \frac{1}{(b\eta + 1)} \\
&= \frac{4}{3\beta} \left[2 \ln \left(\frac{1}{4} \beta \eta + 1 \right) - \frac{1}{\left(\frac{1}{4} \beta \eta + 1 \right)} \right] \tag{C.4}
\end{aligned}$$

La otra integral que se debe resolver es:

$$\begin{aligned}
\int \frac{d\eta}{\eta^2 (b\eta + 1)^2} &= -2b \int \frac{d\eta}{\eta} + \int \frac{d\eta}{\eta^2} + 2b^2 \int \frac{d\eta}{(b\eta + 1)} + b^2 \int \frac{d\eta}{(b\eta + 1)^2} \\
&= -2b \ln \eta - \frac{1}{\eta} + 2b \ln(b\eta + 1) - b \frac{1}{(b\eta + 1)} \tag{C.5}
\end{aligned}$$

Por lo tanto,

$$\begin{aligned}
I &= -\frac{M}{6 b H_0^2 \sqrt{\Omega_{R_0}}} \left[2 \ln(b\eta + 1) - \frac{1}{(b\eta + 1)} \right] + \\
&+ \frac{A b}{H_0 \Omega_{R_0}} \left[-2 \ln \eta - \frac{1}{b\eta} + 2 \ln(b\eta + 1) - \frac{1}{(b\eta + 1)} \right] \tag{C.6}
\end{aligned}$$

Reemplazando las cantidades originales, la solución es:

$$\begin{aligned}
\phi^R - \phi_A &= -\frac{2}{3} \frac{M}{H_0^2 \Omega_{M_0}} \left(2 \ln(b\eta + 1) - \frac{1}{(b\eta + 1)} \right) + \\
&+ \frac{A \Omega_{M_0}}{4 H_0 \Omega_{R_0}^{3/2}} \left[-2 \ln \eta - \frac{1}{b\eta} + 2 \ln(b\eta + 1) - \frac{1}{(b\eta + 1)} \right] + \\
&+ \frac{2}{3} \frac{M}{H_0^2 \Omega_{M_0}} \left(2 \ln(b\eta_A + 1) - \frac{1}{(b\eta_A + 1)} \right) - \\
&- \frac{A \Omega_{M_0}}{4 H_0 \Omega_{R_0}^{3/2}} \left[-2 \ln \eta_A - \frac{1}{b\eta_A} + 2 \ln(b\eta_A + 1) - \frac{1}{(b\eta_A + 1)} \right]
\end{aligned} \tag{C.7}$$

con

$$b\eta_A = \frac{1}{2} \left(\sqrt{1 + \xi} - 1 \right), \quad b = \frac{1}{4} \frac{\Omega_{M_0}}{\sqrt{\Omega_{R_0}}} \Rightarrow \quad \eta_A = 2 \frac{\sqrt{\Omega_{R_0}}}{\Omega_{M_0}} \left[\sqrt{1 + \xi} - 1 \right]$$

Considerando que ϕ es continuo, y reemplazando ϕ_A (de la Ec. (B.12)) en la ec. (C.7), el campo ϕ para la época dominada por materia y radiación es:

$$\begin{aligned}
\phi^R &= -\frac{2}{3} \frac{M}{H_0^2 \Omega_{M_0}} \left(2 \ln(b\eta + 1) - \frac{1}{(b\eta + 1)} \right) + \\
&+ \frac{1}{4} \frac{A \Omega_{M_0}}{H_0 \Omega_{R_0}^{3/2}} \left[-2 \ln \eta - \frac{1}{b\eta} + 2 \ln(b\eta + 1) - \frac{1}{(b\eta + 1)} \right] + \\
&+ \frac{2}{3} \frac{M}{H_0^2 \Omega_{M_0}} \left[2 \ln(b\eta_A + 1) - \frac{1}{(b\eta_A + 1)} + \frac{2}{3} f(\xi) \sqrt{\xi + 1} - \frac{2}{3} \ln(\xi^{-1/2}) - \right. \\
&\quad \left. - \frac{2}{3} \left(\sinh^{-1}(\gamma) - \sinh^{-1}(\xi^{-1/2}) + f(\xi) \frac{\sqrt{1 + \gamma^2}}{\gamma} + \frac{2}{3} \ln(\gamma) \right) \right] - \\
&- \frac{A \Omega_{M_0}}{H_0 \Omega_{R_0}^{3/2}} \left[-\frac{1}{2} \ln \eta_A - \frac{1}{4b\eta_A} + \frac{1}{2} \ln(b\eta_A + 1) - \frac{1}{4(b\eta_A + 1)} + \frac{2}{3} \frac{\sqrt{\xi + 1} - \frac{\sqrt{\gamma^2 + 1}}{\gamma}}{\xi^2} \right]
\end{aligned} \tag{C.8}$$

donde γ se definió en el Apéndice B y

$$\xi = \Omega_{M_0} \Omega_{R_0}^{-3/4} \Omega_{\Lambda_0}^{-1/4} \quad f(\xi) = \frac{2 + (\xi - 2) \sqrt{1 + \xi}}{\xi^2} \tag{C.9}$$

Además:

$$\sinh^{-1} x = \ln \left(x + \sqrt{x^2 + 1} \right) \quad (\text{C.10})$$

A es la constante de integración, y

$$M = \frac{\rho_{e0}}{\omega} c^4 \quad (\text{C.11})$$

Bibliografía

- Albrecht, A. & Magueijo, J. . 1999, PRD, 59, 043516
- Avelino, P. P., Esposito, S., Mangano, G., et al. 2001, PRD, 64, 103505
- Avelino, P. P., Martins, C. J. A. P., Rocha, G., & Viana, P. 2000, PRD, 62, 123508
- Bahcall, J., Steinhardt, C. L., & Schlegel, D. 2004, Astrophys.J., 600, 520
- Barr, S. M. & Mohapatra, P. K. 1988, PRD, 38, 3011
- Barrow, J. D. & Magueijo, J. 2005, PRD, 72, 043521
- Battye, R. A., Crittenden, R., & Weller, J. 2001, PRD, 63, 043505
- Bekenstein, J. D. 1982, PRD, 25, 1527
- Benoît, A. 2004, Advances in Space Research, 34, 479
- Bize et al. 2003, Physical Review Letters, 90, 150802
- Braginskii, V. B. & Panov, V. I. 1972, Sov. Phys. JETP, 34, 463
- Brax, P. & Davis, A. C. 2001, Journal of High Energy Physics, 5, 7
- Brax, P., van de Bruck, C., Davis, A.-C., & Rhodes, C. S. 2003, Astrophysics and Space Science, 283, 627
- Breit, G. & Teller, E. 1940, ApJ, 91, 215
- Burigana, C., Finelli, F., Salvaterra, R., et al. 2004, Memorie della Societa Astronomica Italiana Supplement, 5, 415

- Caldwell, R. R. 2002, *Physics Letters B*, 545, 23
- Clayton, M. A. & Moffat, J. W. 1999, *Physics Letters B*, 460, 263
- Clayton, M. A. & Moffat, J. W. 2000, *Physics Letters B*, 477, 269
- Clayton, M. A. & Moffat, J. W. 2001, *Physics Letters B*, 506, 177
- Cole, S. et al. 2005, *Mon. Not. Roy. Astron. Soc.*, 362, 505
- Cramér, H. 1972, *Teoría de Probabilidades* (Aguilar ediciones)
- Damour, T. & Dyson, F. 1996, *Nuclear Physics B*, 480, 37
- Damour, T., Piazza, F., & Veneziano, G. 2002a, *PRL*, 89, 081601
- Damour, T., Piazza, F., & Veneziano, G. 2002b, *PRD*, 66, 046007
- Damour, T. & Polyakov, A. M. 1994, *Nuclear Physics B*, 95, 10347
- Dixit, V. V. & Sher, M. 1988, *PRD*, 37, 1097
- Drake, G. W. F. & Morton, D. C. 2007, *Astrophys.J.Suppl.Ser.*, 170, 251
- Drake, G. W. F., Victor, G. A., & Dalgarno, A. 1969, *Physical Review*, 180, 25
- Dunkley, J., Komatsu, E., Nolte, M. R., et al. 2009, *ApJS*, 180, 306
- Dupac, X. 2007, *ArXiv Astrophysics e-prints*
- Fischer et al. 2004, *Physical Review Letters*, 92, 230802
- Fixsen, D. J., Cheng, E. S., Gales, J. M., et al. 1996, *ApJ*, 473, 576
- Flambaum, V. V. & Kozlov, M. G. 2007, *PRD*, 98, 240801
- Fraisse, A. A., Brown, J. . C., Dobler, G., et al. 2008, *ArXiv e-prints*
- Freedman, W. L., Madore, B. F., Gibson, B. K., et al. 2001, *Astrophys.J.*, 553, 47
- Fujii, Y., Iwamoto, A., Fukahori, T., et al. 2000, *Nuclear Physics B*, 573, 377

- Gelman, A. 1996, in *Markov Chain Monte Carlo in Practice*, ed. W. Gilks, S. Richardson, & D. J. Spiegelhalter (Chapman and Hall), 131
- Gilks, W., Richardson, S., & Spiegelhalter, D. J. 1996, in *Markov Chain Monte Carlo in Practice*, ed. W. Gilks, S. Richardson, & D. J. Spiegelhalter (Chapman and Hall), 1
- Gleiser, M. & Taylor, J. G. 1985, *PRD*, 31, 1904
- Goldman, S. P. 1989, *PRA*, 40, 1185
- Grainge, K., Carreira, P., Cleary, K., et al. 2003, *MNRAS*, 341, L23
- Halverson, N. W., Leitch, E. M., Pryke, C., et al. 2002, *ApJ*, 568, 38
- Hannestad, S. 1999, *PRD*, 60, 023515
- Harder, H. & Schubert, G. 2001, *Icarus*, 151, 118
- Hinshaw, G., Spergel, D., Verde, L., et al. 2003, *ApJS*, 148, 135
- Hirata, C. M. & Switzer, E. R. 2008, *PRD*, 77, 083007
- Hummer, D. G. 1994, *MNRAS*, 268, 109
- Hummer, D. G. & Storey, P. J. 1998, *MNRAS*, 297, 1073
- Ichikawa, K., Kanzaki, T., & Kawasaki, M. 2006, *PRD*, 74, 023515
- Ivanchik et al. 2003, *Astrophysics and Space Science*, 283, 583
- Ivanchik et al. 2005, *A&A*, 440, 45
- Jones, W. C. et al. 2006, *ApJ*, 647, 823
- Kaluza, T. 1921, *Sitzungber. Preuss. Akad. Wiss.K*, 1, 966
- Kaplinghat, M., Scherrer, R., & Turner, M. 1999, *PRD*, 60, 023516
- Kehagias, A. A. & Kiritsis, E. 1999, *Journal of High Energy Physics*, 11, 22
- Keiser, G. M. & Faller, J. E. 1982, in *Proceedings of the Second Marcel Grossman Meeting on General Relativity*, ed. R. Ruffin, "969–976"

- Kholupenko, E. E., Ivanchik, A. V., & Varshalovich, D. A. 2007, MNRAS, 378, L39
- King, J. A., Webb, J. K., Murphy, M. T., & Carswell, R. F. 2008, Physical Review Letters, 101, 251304
- Klein, O. 1926, Z. Phys., 37, 895
- Kujat, J. & Scherrer, R. J. 2000, PRD, 62, 023510
- Kuo, C.-L., Ade, P., Bock, J. J., et al. 2002, in Bulletin of the American Astronomical Society, Vol. 34, Bulletin of the American Astronomical Society, 1324–+
- Kuo, C.-l. et al. 2004, Astrophys. J., 600, 32
- Kuskov, O. L. & Kronrod, V. A. 1998, Physics of the Earth and Planetary Interiors, 107, 285
- Landau, S. J., Mosquera, M. E., Scóccola, C. G., & Vucetich, H. 2008, PRD, 78, 083527
- Lay, T. and Wallace, T. 1995, Modern Global Seismology., Vol. 58 (International Geophysics series. Academic Press)
- Lee, A. T., Ade, P., Balbi, A., et al. 1999, in American Institute of Physics Conference Series, Vol. 476, 3K cosmology, ed. L. Maiani, F. Melchiorri, & N. Vittorio, 224–+
- Levshakov et al. 2002, Mon.Not.R.Astron.Soc., 333, 373
- Lewis, A. & Bridle, S. 2002, PRD, 66, 103511
- Lewis, A., Challinor, A., & Lasenby, A. 2000, ApJ, 538, 473
- Maeda, K. 1988, Modern Physics. Letters A, 31, 243
- Marion, H., Pereira Dos Santos, F., Abgrall, M., et al. 2003, PRL, 90, 150801
- Martínez Fiorenzano, A. F., Vladilo, G., & Bonifacio, P. 2003, Societa Astronomica Italiana Memorie Supplement, 3, 252

- Martins, C. J. A. P., Melchiorri, A., Trotta, R., et al. 2002, *Phys.Rev.D*, 66, 023505
- Mason, B. S., Pearson, T. J., Readhead, A. C. S., et al. 2001, in *American Institute of Physics Conference Series*, Vol. 586, 20th Texas Symposium on relativistic astrophysics, ed. J. C. Wheeler & H. Martel, 178–+
- Mather, J. C., Cheng, E. S., Cottingham, D. A., et al. 1994, *ApJ*, 420, 439
- McElhinny, M. W., Taylor, S. R., & Stevenson, D. J. 1978, *Nature*, 271, 316
- Meléndez, J. & Ramírez, I. 2004, *Astrophys.J.Lett.*, 615, L33
- Mosquera, M. E., Scóccola, C. G., Landau, S. J., & Vucetich, H. 2008, *Astronomy and Astrophysics*, 478, 675
- Murphy, M. T., Flambaum, V. V., Muller, S., & Henkel, C. 2008, *Science*, 320, 1611
- Murphy, M. T., Webb, J. K., & Flambaum, V. V. 2003, *Mon.Not.R.Astron.Soc.*, 345, 609
- Murphy, M. T., Webb, J. K., Flambaum, V. V., et al. 2001a, *Mon.Not.R.Astron.Soc.*, 327, 1208
- Murphy, M. T., Webb, J. K., Flambaum, V. V., Prochaska, J. X., & Wolfe, A. M. 2001b, *Mon.Not.R.Astron.Soc.*, 327, 1237
- Nakashima, M., Nagata, R., & Yokoyama, J. 2008, *Progress of Theoretical Physics*, 120, 1207
- Netterfield, C. B., Ade, P. A. R., Bock, J. J., et al. 2002, *ApJ*, 571, 604
- North, C. E., Johnson, B. R., Ade, P. A. R., et al. 2008, *ArXiv e-prints*
- Olive et al. 2004, *PRD*, 69, 027701
- Overduin, J. M. & Wesson, P. S. 1997, *Phys.Rep.*, 283, 303
- Palma, G. A., Brax, P., Davis, A. C., & van de Bruck, C. 2003, *PRD*, 68, 123519
- Peebles, P. J. E. 1968, *ApJ*, 153, 1

- Peik et al. 2004, Physical Review Letters, 93, 170801
- Pequignot, D., Petitjean, P., & Boisson, C. 1991, A&A, 251, 680
- Piacentini, F. et al. 2006, ApJ, 647, 833
- Potekhin et al. 1998, Astrophys.J., 505, 523
- Prestage, J. D., Tjoelker, R. L., & Maleki, L. 1995, PRL, 74, 3511
- Prodanović, T. & Fields, B. D. 2007, PRD, 76, 083003
- Quast, R., Reimers, D., & Levshakov, S. A. 2004, A&A, 415, L7
- Raftery, A. E. & Lewis, S. M. 1992, in Bayesian Statistics, ed. J. M. Bernardo (OUP), 765
- Readhead, A. C. S. et al. 2004, Astrophys. J., 609, 498
- Richard, O., Michaud, G., & Richer, J. 2005, Astrophys.J., 619, 538
- Rocha, G., Trotta, R., Martins, C. J. A. P., et al. 2003, New Astronomy Review, 47, 863
- Roll, P. G., Krotkov, R., & Dicke, R. H. 1964, Ann. Phys., 26, 442
- Sakurai, J. J. 1967, Advanced Quantum Mechanics (Addison-Wesley Publishing Company)
- Samtleben, D. e. a. 2008, ArXiv e-prints
- Schramm, D. N. & Turner, M. S. 1998, Rev. Mod. Phys., 70, 303
- Scóccola, C. G., Landau, S. J., & Vucetich, H. 2008a, Physics Letters B, 669, 212
- Scóccola, C. G., Mosquera, M. E., Landau, S. J., & Vucetich, H. 2008b, Astrophysical Journal, 681, 737
- Seager, S., Sasselov, D. D., & Scott, D. 1999a, ApJL, 523, L1
- Seager, S., Sasselov, D. D., & Scott, D. 1999b, Astrophys.J.Lett., 523, L1
- Seager, S., Sasselov, D. D., & Scott, D. 2000, ApJS, 128, 407

- Seaton, M. J. 1959, *Mon. Not. Roy. Astron. Soc.*, 119, 81
- Sisterna, P. & Vucetich, H. 1990, *Phys.Rev.D*, 41, 1034
- Smoot, G. F. 1993, in *Astronomical Society of the Pacific Conference Series*, Vol. 51, *Observational Cosmology*, ed. G. L. Chincarini, A. Iovino, T. Maccacaro, & D. Maccagni, 477–+
- Sortais, Y., Bize, S., Abgrall, M., et al. 2000, *Physica Scripta*, T95, 50
- Spergel, D., Bean, R., Doré, O., et al. 2007, *Astrophys.J.Suppl.Ser.*, 170, 377
- Spitzer, L. J. & Greenstein, J. L. 1951, *ApJ*, 114, 407
- Spohn, T., Sohl, F., Wiczerkowski, K., & Conzelmann, V. 2001, *Planetary and Space Science*, 49, 1561
- Srianand, R., Chand, H., Petitjean, P., & Aracil, B. 2004, *PRL*, 92, 121302
- Stefanescu, P. 2007, *New Astronomy*, 12, 635
- Su, Y. et al. 1994, *Phys. Rev.*, D50, 3614
- Switzer, E. R. & Hirata, C. M. 2008a, *PRD*, 77, 083006
- Switzer, E. R. & Hirata, C. M. 2008b, *PRD*, 77, 083008
- Takahashi, Y. D., Barkats, D., Battle, J. O., et al. 2008, in *Society of Photo-Optical Instrumentation Engineers (SPIE) Conference Series*, Vol. 7020, *Society of Photo-Optical Instrumentation Engineers (SPIE) Conference Series*
- Tzanavaris et al. 2007, *MNRAS*, 374, 634
- Varshalovich, D. A. & Levshakov, S. A. 1993, *Soviet Journal of Experimental and Theoretical Physics Letters*, 58, 237
- Verner, D. A. & Ferland, G. J. 1996, *ApJS*, 103, 467
- Villa, F., Mandolesi, N., & Butler, R. C. 2003, *Memorie della Societa Astronomica Italiana*, 74, 223
- Webb, J. K., Flambaum, V. V., Churchill, C. W., Drinkwater, M. J., & Barrow, J. D. 1999, *PRL*, 82, 884

- Webb, J. K., Murphy, M. T., Flambaum, V. V., et al. 2001, PRL, 87, 091301
- Weinberg, S. 1983, Physics Letters B, 125, 265
- White, M. 2006, New Astronomy Review, 50, 938
- Wieczorek, M. A., L., J. B., Khan, A., et al. 2006, Reviews in Mineralogy and Geochemistry, 60, 221
- Will, C. M. 1981, Theory and Experiment in Gravitational Physics. (Cambridge U. Press)
- Wilson, R. W. & Penzias, A. A. 1967, Science, 156, 1100
- Wong, W. Y., Moss, A., & Scott, D. 2008, MNRAS, 386, 1023
- Wu, Y. & Wang, Z. 1986, PRL, 57, 1978
- Yoo, J. J. & Scherrer, R. J. 2003, Phys.Rev.D, 67, 043517
- Youm, D. 2001a, PRD, 63, 125011
- Youm, D. 2001b, PRD, 64, 085011
- Zeldovich, Y. B., Kurt, V. G., & Syunyaev, R. A. 1968, Zhurnal Eksperimental noi i Teoreticheskoi Fiziki, 55, 278